



Pós-Graduação
ZOOLOGIA
MPEG/UFPA



UNIVERSIDADE FEDERAL DO PARÁ
MUSEU PARAENSE EMÍLIO GOELDI
PROGRAMA DE PÓS-GRADUAÇÃO EM ZOOLOGIA
MESTRADO EM ZOOLOGIA
ÁREA: SISTEMÁTICA E EVOLUÇÃO

**REVISÃO DE *Aceratodes* Amyot & Serville, 1843 (HETEROPTERA,
PENTATOMIDAE, EDESSINAE)**

EMELY LAIARA SILVA DE SIQUEIRA

Dissertação apresentada ao Programa de Pós-graduação em Zoologia, Curso de Mestrado, da Universidade Federal do Pará e Museu Paraense Emílio Goeldi como requisito para obtenção do grau de mestre em Zoologia

Orientador: Prof. Dr. José Antônio Marin Fernandes

BELÉM – PA

2013

EMELY LAIARA SILVA DE SIQUEIRA

**REVISÃO DE *Aceratodes* Amyot & Serville, 1843 (HETEROPTERA,
PENTATOMIDAE, EDESSINAE)**

Dissertação apresentada ao
Programa de Pós-graduação em
Zoologia, Curso de Mestrado, da
Universidade Federal do Pará e
Museu Paraense Emílio Goeldi
como requisito para obtenção do
grau de mestre em Zoologia

Orientador: Prof. Dr. José Antônio
Marin Fernandes

BELÉM – PA

2013

“A mente que se abre a uma nova ideia
jamais voltará ao seu tamanho original”
(Albert Einstein).

À mamãe.

AGREDECIMENTOS

Agradeço a Deus por me guiar e ajudar a concluir este.

Ao Prof. Dr José Antônio, pela orientação, paciência e por todo aprendizado proporcionado em tão pouco tempo.

Ao Programa de Pós-graduação em Zoologia da Universidade Federal do Pará e Museu Paraense Emilio Goeldi, e aos professores deste programa pela formação.

A CAPES pela concessão da bolsa de Mestrado.

A minha mãe por tudo! Por todo apoio, dedicação e paciência.

Aos colegas do laboratório de Invertebrados da UFPa e do MPEG, pela companhia, trocas de conhecimento e pelos momentos de distração. A Bia e o Lourival pelas dicas no início do trabalho.

Ao Benedito pelos desenhos, ao André pelas fotos e ao Erlane pela força com os mapas.

As xuxu's (Gaby, Sherlem, Dine e Suelem) e o Alexandro, que me acompanharam em todas as fases do mestrado. Muito "valeu" por tudo GALERA! Pelos finais de semana no laboratório, pelas conversas, pelas dúvidas tiradas, pelas gargalhadas compartilhadas e por toda amizade. Vocês são muito sensacionais!

A todas as pessoas que de alguma forma contribuíram para a conclusão desse trabalho e desta etapa!

SUMÁRIO

LISTA DE FIGURAS	VII
RESUMO	X
ABSTRACT	XI
1. INTRODUÇÃO	1
1.1 HISTÓRICO TAXÔNOMICO DAS ESPÉCIES	3
2. OBJETIVO	5
2.1 OBJETIVO GERAL	5
2.2 OBJETIVOS ESPECÍFICOS	5
3. MATERIAL E MÉTODOS	6
4. RESULTADOS	9
4.1. O GÊNERO <i>ACERATODES</i> AMYOT & SERVILLE, 1843	9
4.1.1. Chave de identificação para as espécies de <i>Aceratodes</i>	12
<i>Aceratodes luteovenulatus</i> (Silva, Fernandes e Grazia, 2006)	16
<i>Aceratodes aulacosternus</i> (Stål, 1872)	18
<i>Aceratodes ovalis</i> (Stål, 1872)	21
<i>Aceratodes cerradensis</i> (Silva, Fernandes e Grazia, 2006)	23
<i>Aceratodes chapadensis</i> Silva, Fernandes e Grazia, 2006.	26
<i>Aceratodes meditabundus</i> (Fabricius, 1794)	28
<i>Aceratodes sternalis</i> (Breddin, 1903)	31
<i>Aceratodes mexicanus</i> (Stål, 1872)	34
<i>Aceratodes</i> sp nova 1	36
<i>Aceratodes piperitius</i> (Westwood, 1837)	39
<i>Aceratodes fulvicornis</i> (Fabricius, 1803)	41
<i>Aceratodes rufomarginatus</i> (De Geer, 1773)	44
<i>Aceratodes brasiliensis</i> (Silva, Fernandes e Grazia, 2006)	49
<i>Aceratodes carnosus</i> (Westwood, 1837)	51
<i>Aceratodes albomarginatus</i> Stål, 1855	54
<i>Aceratodes castaneolineatus</i> (Silva, Fernandes e Grazia, 2006)	57
<i>Aceratodes marginalis</i> Dallas, 1851	59
<i>Aceratodes rufodorsatus</i> (Silva, Fernandes e Grazia, 2006)	61
<i>Aceratodes abdominalis</i> (Erichson, 1848)	63
5. REFERÊNCIAS BIBLIOGRÁFICAS	66

LISTA DE FIGURAS

- Figura 1:** Esquema de medidas utilizadas para as espécies. Superfície dorsal de *Edessa ovalis*. **A:** comprimento total; **B:** largura do abdome; **C:** comprimento do pronoto; **D:** largura do pronoto; **E:** comprimento da cabeça; **F:** largura da cabeça; **G:** comprimento dos antenômeros; **H:** comprimento do escutelo; **I:** largura do escutelo.....8
- Figura 2:** Superfície dorsal das espécies de *Aceratodes*. **A:** *A. luteovenulatus*. **B:** *A. aulacosternus*. **C:** *A. ovalis*. **D:** *A. cerradensis*. **E:** *A. chapadensis*. **F:** *A. meditabundus*. **G:** *A. sternalis*. **H:** *A. mexicanus*. **I:** *Aceratodes* sp nova 1.....72
- Figura 3:** Superfície dorsal das espécies de *Aceratodes*. **A:** *A. piperitius*. **B:** *A. fulvicornis*. **C:** *A. brasiliensis*. **D:** *A. carnosus*. **E:** *A. albomarginatus*. **F:** *A. castaneolineatus*. **G:** *A. marginalis*. **H:** *A. rufodorsatus*. **I:** *A. abdominalis*.....73
- Figura 4:** Superfície dorsal das formas de *A. rufomarginatus*. **A:** forma I. **B:** forma II. **C:** forma III. **D:** forma IV. **E:** forma V. **F:** forma VI. **G:** forma VII.....74
- Figura 5:** *A. luteovenulatus*. **A:** Pigóforo em vista dorsal; **B:** Pigóforo em vista ventral; **C:** Pigóforo em vista posterior; bd: bordo dorsal; bv: bordo ventral; pt: processo da taça genital; pa: parâmero; X: segmento X; fpx: face posterior do segmento X. **D:** Genitália feminina em vista ventral; gc8: gonocoxitos 8; gn8: gonapófises 8; gc9: gonocoxitos 9; la8: laterotergitos 8; la9: laterolergitos 9; X: segmento X. **E:** Processo metasternal (pm); epm: escavação do processo metasternal; bpm: braços da bifurcação do processo metasternal. Escala = 1mm.....75
- Figura 6:** *A. aulacosternus*. **A:** Pigóforo em vista dorsal; **B:** Pigóforo em vista ventral; **C:** Pigóforo em vista posterior. **D:** Genitália feminina em vista ventral. **E:** Processo metasternal. Escala 1mm.....76
- Figura 7:** *A. ovalis*. **A:** Pigóforo em vista dorsal; **B:** Pigóforo em vista ventral; **C:** Pigóforo em vista posterior. **D:** Genitália feminina em vista ventral. **E:** Processo metasternal. Escala = 1mm.....77
- Figura 8:** *A. cerradensis*. **A:** Pigóforo em vista dorsal; **B:** Pigóforo em vista ventral; **C:** Pigóforo em vista posterior. **D:** Genitália feminina em vista ventral. **E:** Processo metasternal Escala = 1mm.....78

- Figura 9:** *A. chapadensis*. **A:** Pigóforo em vista dorsal; **B:** Pigóforo em vista ventral; **C:** Pigóforo em vista posterior. **D:** Genitália feminina em vista ventral. **E:** Processo metasternal. Escala = 1mm.....79
- Figura 10:** *A. meditabundus*. **A:** Pigóforo em vista dorsal; **B:** Pigóforo em vista ventral; **C:** Pigóforo em vista posterior. **D:** Genitália feminina em vista ventral. **E:** Processo metasternal. Escala = 1mm.....80
- Figura 11:** *A. sternalis*. **A:** Pigóforo em vista dorsal; **B:** Pigóforo em vista ventral; **C:** Pigóforo em vista posterior. **D:** Genitália feminina em vista ventral. **E:** Processo metasternal. Escala = 1mm.....81
- Figura 12:** *A. mexicanus*. **A:** Pigóforo em vista dorsal; **B:** Pigóforo em vista ventral; **C:** Pigóforo em vista posterior. **D:** Genitália feminina em vista ventral. **E:** Processo metasternal. Escala = 1mm.....82
- Figura 13:** *Aceratodes* sp nova . **A:** Pigóforo em vista dorsal; **B:** Pigóforo em vista ventral; **C:** Pigóforo em vista posterior. **D:** Genitália feminina em vista ventral. **E:** Processo metasternal. Escala = 1mm.....83
- Figura 14:** *A. piperitius*. **A:** Pigóforo em vista dorsal; **B:** Pigóforo em vista ventral; **C:** Pigóforo em vista posterior. **D:** Genitália feminina em vista ventral. **E:** Processo metasternal. Escalas = 1mm.....84
- Figura 15:** *A. fulvicornis*. **A:** Pigóforo em vista dorsal; **B:** Pigóforo em vista ventral; **C:** Pigóforo em vista posterior. **D:** Genitália feminina em vista ventral. **E:** Processo metasternal. Escala = 1mm.....85
- Figura 16:** *A. rufomarginatus*. **A:** Pigóforo em vista dorsal; **B:** Pigóforo em vista ventral; **C:** Pigóforo em vista posterior. **D:** Genitália feminina em vista ventral. **E:** Processo metasternal. Escala = 1mm.....86
- Figura 17:** *A. brasiliensis*. **A:** Pigóforo em vista dorsal; **B:** Pigóforo em vista ventral; **C:** Pigóforo em vista posterior. **D:** Genitália feminina em vista ventral. **E:** Processo metasternal. Escala= 1mm.....87

- Figura 18:** *A. carnosus*. **A:** Pigóforo em vista dorsal; **B:** Pigóforo em vista ventral; **C:** Pigóforo em vista posterior. **D:** Genitália feminina em vista ventral. **E:** Processo metasternal. Escala posterior.....88
- Figura 19:** *A. albomarginatus*. **A:** Pigóforo em vista dorsal; **B:** Pigóforo em vista ventral; **C:** Pigóforo em vista posterior. **D:** Genitália feminina em vista ventral. **E:** Processo metasternal. Escala = 1mm.....89
- Figura 20:** *A. castaneolineatus*. **A:** Pigóforo em vista dorsal; **B:** Pigóforo em vista ventral; **C:** Pigóforo em vista posterior. **D:** Genitália feminina em vista ventral. **E:** Processo metasternal. Escala = 1mm.....90
- Figura 21:** *A. marginalis*. **A:** Pigóforo em vista dorsal; **B:** Pigóforo em vista ventral; **C:** Pigóforo em vista posterior. **D:** Genitália feminina em vista ventral. **E:** Processo metasternal. Escala = 1mm.....91
- Figura 22:** *A. rufodorsatus*. **A:** Pigóforo em vista dorsal; **B:** Pigóforo em vista ventral; **C:** Pigóforo em vista posterior. **D:** Genitália feminina em vista ventral. **E:** Processo metasternal. Escala = 1mm.....92
- Figura 23:** *A. abdominalis*. **A:** Pigóforo em vista dorsal; **B:** Pigóforo em vista ventral; **C:** Pigóforo em vista posterior. **D:** Genitália feminina em vista ventral. **E:** Processo metasternal. Escala = 1mm.....93
- Figura 24:** Distribuição geográfica das espécies *A. aulacosternus*, *A. cerradensis*, *A. chapadensis* e *A. ovalis*.....94
- Figura 25:** Distribuição geográfica das espécies *A. fulvicornis*, *A. luteovenulatus*, *A. mexicanus*, *A. sternalis* e *Aceratodes* sp nova 1.....95
- Figura 26:** Distribuição geográfica das espécies *A. brasiliensis*, *A. carnosus*, *A. castaneolineatus*, e *A. piperitius*.....96
- Figura 27:** Distribuição geográfica das espécies *A. abdominalis*, *A. albomarginatus*, *A. marginalis* e *A. rufodorsatus*.....97

RESUMO

Edessinae é uma das maiores e mais diversas subfamílias de Pentatomidae, sendo encontrada apenas na região Neotropical e sul dos Estados Unidos. Este fato se deve ao grande número de espécies descritas (cerca de 260) e ainda não descritas (cerca de 300). Compreende atualmente seis gêneros: *Edessa*, *Brachystethus*, *Peromatus*, *Olbia*, *Pantochlora* e *Doesburgedessa*. Ao longo do tempo, as espécies que não se encaixavam em nenhum dos outros gêneros foram sendo alocadas em *Edessa*, levando a uma confusão entre os limites do gênero e da subfamília. O grande número de espécies levou a uma concentração dos problemas taxonômicos e nomenclaturais de Edessinae em *Edessa*. Portanto, são necessários estudos taxonômicos que visem solucionar estes problemas, revisando os gêneros conhecidos, reavaliando os subgêneros de *Edessa*, redescrivendo espécies existentes e realizando novos arranjos nomenclaturais. O presente trabalho objetivou reavaliar o status taxonômico de *Aceratodes*, bem como resolver problemas nomenclaturais. Foram estudados 283 exemplares obtidos por empréstimos de 22 instituições, nacionais e estrangeiras. Para cada espécie, são apresentadas descrições, medidas, fotografias, desenhos de estruturas com importância sistemática (processo metasternal e genitália de ambos os sexos), chave dicotômica e mapa de distribuição. *Aceratodes* é elevado a gênero com base em caracteres morfológicos comuns as espécies, tais como: ângulo umeral não desenvolvido e arredondado; placas genitais da fêmea não, ou pouco projetadas posteriormente; segmento abdominal VI não projetado posteriormente; hemiélitro com embólio apresentando textura, coloração e padrão de pontuação distintos do restante do cório; braços do processo metasternal achatados lateralmente e não atingindo o terço anterior do mesosterno. *Aceratodes* passou a ser formado por 19 espécies. Uma espécie nova da Mata Atlântica; duas originalmente descritas neste gênero: *A. albomarginatus* e *A. marginalis*; e 16 transferidas de *Edessa*: *E. abdominalis*, *E. aulacosterna*, *E. brasiliensis*, *E. carnosus*, *E. castaneolineta*, *E. cerradensis*, *E. chapadensis*, *E. fulvicornis*, *E. luteovenulata*, *E. meditabunda*, *E. mexicana*, *E. ovalis*, *E. piperitia*, *E. rufodorsata* e *E. rufomarginata*, *E. sternalis*. A fêmea de *A. meditabundus* é descrita pela primeira vez. O lectótipo de *Edessa mexicana* foi aqui designado. As espécies *Edessa corallipes*, *Edessa cogitabunda* e *Edessa virididorsata* foram sinonimizadas a *A. carnosus*, *A. meditabundus* e *A. fulvicornis*, respectivamente.

Palavras-chaves: *Edessa*, Região Neotropical, Taxonomia, status novo, espécie nova.

ABSTRACT

Edessinae is one of the largest and more diverse subfamily of Pentatomidae. This is due to the large number of described (about 260) and undescribed species (about 300). Edessinae comprises today six genera: *Edessa*, *Brachystethus*, *Peromatus*, *Olbia*, *Pantochlora* and *Doesburgedessa*. Along the time, species not fitting in one of the genera remaining were automatically placed in *Edessa*, leading to confusion between the limits of the genus and subfamily. The large number of species resulted in concentration of the taxonomical and nomenclatural problems of the Edessinae in *Edessa*. Therefore, new taxonomical studies are needed to solve these problems involving Edessinae and *Edessa*: revising the genera of Edessinae, reviewing the status of the subgenera of *Edessa*, redescribing species and proposing nomenclatural changes. The main objective of this study was to review the status of *Aceratodes* as well as to propose some nomenclatural changes detected. Were analyzed 283 specimens belonging to 22 institutions from Brazil and other countries. For each species were provided descriptions, measures, photographs, drawings of the taxonomically significant structures (metasternal process and genitalia of both sexes), identification key and distributional maps. *Aceratodes* was raised to genus level based on morphological characteristics common to all species, such as: humeral angle not developed and rounded; female genital plates of female not produced posteriorly; hemelitrion with embolium showing texture, color and punctures pattern different from the remaining corium; arms of the metasternal process laterally flat and not reaching anterior third of mesosternum. *Aceratodes* now is composed by 19 species. A new species from Atlantic Forest; two originally described in this genus: *A. albomarginatus* and *A. marginalis*; and 16 transferred from *Edessa*: *E. abdominalis*, *E. aulacosterna*, *E. brasiliensis*, *E. carnosus*, *E. castaneolineta*, *E. cerradensis*, *E. chapadensis*, *E. fulvicornis*, *E. luteovenulata*, *E. meditabunda*, *E. mexicana*, *E. ovalis*, *E. piperitia*, *E. rufodorsata* and *E. rufomarginata* and *E. sternalis*. The female of *A. meditabundus* is here described for the first time. The lectotype of *Edessa mexicana* is here designated. The species *Edessa corallipes*, *E. cogitabunda* and *E. virididorsata* were considered junior synonyms of *A. carnosus*, *A. meditabundus* and *A. fulvicornis* respectively.

Key-words: *Edessa*, Neotropical Region, taxonomy, new status, new species.

1. INTRODUÇÃO

Pentatomidae é a quarta família mais numerosa e diversa da subordem Heteroptera, amplamente distribuída em todas as regiões zoogeográficas. Esta família compreende aproximadamente 4.100 espécies e 760 gêneros em oito subfamílias: Asopinae, Cyrtocorinae, Discocephalinae, Edessinae, Pentatominae, Phyllocephalinae, Podopinae e Serbaninae, das quais Cyrtocorinae, Discocephalinae e Edessinae ocorrem exclusivamente na Região Neotropical (Schuh & Slater, 1995; Grazia et al. 2012). O monofiletismo da família é suportado pela perda das gonapófises 8, redução e fusão das gonapófises 9 aos gonocoxitos 9, gonângulos ausentes, dilatação e invaginação dos ductos dos receptáculos seminais (Grazia et al. 2008).

Edessinae é uma subfamília muito diversa e numerosa, reunindo atualmente seis gêneros: *Brachystethus* Laporte, 1832 (dez espécies), *Doesburgedessa* Fernandes, 2010 (cinco espécies), *Edessa* Fabricius, 1803 (cerca de 260 espécies), *Olbia* Stål, 1862 (três espécies), *Pantochlora* Stål, 1870 (uma espécie) e *Peromatus* Amyot & Serville, 1843 (sete espécies). Estes são agrupados por compartilharem a carena mesosternal não contínua à carena metasternal, falo com vesícula reduzida, presença de uma projeção em forma de bico sobre a íntima vaginal (Barcellos & Grazia, 2003) e a presença de um processo no metasterno, que se projeta sobre o mesosterno, com o ápice bifurcado ou não.

Dentre os gêneros da subfamília Edessinae, *Brachystethus* compreende as espécies que possuem o processo metasternal com o ápice truncado e parcialmente bifurcado. *Doesburgedessa* abriga espécies que compartilham o processo metasternal com projeção anterior única, cônica e destacada do esterno. *Olbia* reúne espécies que compartilham a presença de um par de dentes na região posterior do pronoto, projetados lateralmente a margem anterior do escutelo. *Pantochlora* é reconhecida por apresentar o processo metasternal não bifurcado, unido ao esterno e projetado entre as procoxas. *Peromatus* abriga as espécies com apenas quatro antenômeros. Ao longo do tempo, as espécies que não se encaixavam em nenhum destes gêneros foram sendo alocadas no gênero *Edessa*, tornando-o um “deposito de espécies”, o que resultou na concentração em *Edessa* de praticamente todos os problemas taxonômicos e nomenclaturais de Edessinae.

Amyot & Serville (1843) foram os primeiros a reconhecer e tentar organizar um grupo de gêneros que apresentavam uma cabeça pequena e curta com o primeiro

antênômero igualando ou ultrapassando o ápice da cabeça. Esse grupo, “Édessides”, foi dividido, por sua vez, em dois outros grupos, sendo um formado por gêneros sem processo desenvolvido sobre o meta e mesosterno (distribuídos atualmente em Tessaratomidae e Dinidoridae) e outro com processo presente (Edessinae propriamente ditos). Estes autores descreveram os gêneros *Aceratodes*, *Dorypleura*, *Hypoxys*, *Pygoda* e *Peromatus*, para os quais transferiram espécies de outros gêneros. *Aceratodes* foi descrito para alocar *Cimex cruentus* Fabricius, 1775, posteriormente sinonimizado a *Edessa rufomarginata* (De Geer, 1773).

Dallas (1851) sinonimizou três gêneros de Amyot & Serville (*Dorypleura*, *Hypoxys* e *Pygoda*) a *Edessa*, considerando *Aceratodes* e *Peromatus* como gêneros válidos, enquanto Stål (1872) considerou *Dorypleura*, *Hypoxys*, *Pygoda*, *Aceratodes* e o subgênero *Ascra* (Say, 1832) como sendo grupos de espécies dentro de *Edessa*. O catálogo de Lethierry & Severin (1893) apresentou os “grupos de espécies” de Stål (1872) como sinônimos de *Edessa*, e Kirkaldy (1909) os considerou como subgêneros de *Edessa*, porém sem designar quais espécies seriam incluídas em seus respectivos subgêneros.

O estudo de Edessinae ficou estagnado por quase um século. Somente no início do século XXI que *Edessa* voltou a ser alvo de publicações com a proposição de sete grupos de espécies (*E. dolichocera* (Fernandes & Doesburg, 2000a), *E. beckeri* (Fernandes & Doesburg, 2000b), *E. cervus* (Fernandes & Doesburg, 2000c), *E. collaris* (Fernandes et al. 2001), *E. rufomarginata* (Silva et al. 2006), *E. metallica* (Fernandes & Campos, 2011), *E. caldaria* (Silva & Fernandes, 2012)) e do gênero *Doesburgedessa* (Fernandes, 2010), e ainda o estudo morfológico de *E. rufomarginata* (Silva et al. 2004) e a descrição de espécies novas para a República Dominicana (Perez-Gelabert & Thomas, 2005).

Dentre as espécies do gênero *Edessa*, *E. rufomarginata* (De Geer, 1773) e *E. meditabunda* (Fabricius, 1794) são as mais estudadas, devido a sua abundância, ampla distribuição geográfica na Região Neotropical (Silva et al., 2004), e por serem pragas agrícolas, principalmente de plantas da família Solanaceae (Panizzi et al., 2000, Rizzo 1971, Rizzo & Saini, 1987, Silva et al., 1968).

1.1 HISTÓRICO TAXONÔMICO DAS ESPÉCIES

De Geer (1773) descreveu *Cimex rufomarginatus* proveniente da “América”. Fabricius descreveu *Cimex cruentus* proveniente do Suriname (De Geer, 1775), *Cimex meditabundus* da “América meridional” (De Geer, 1794) e *Cimex glaucescens* da República Dominicana (De Geer, 1798).

Fabricius (1803) estabeleceu o gênero *Edessa*, transferiu para este a espécie *C. cruentus* e descreveu *E. fulvicornis*.

Palisot de Beauvois (1805) descreveu *Pentatoma furcata* como sendo originária da localidade de “d’ Oware” no Benin, África. Este engano, provavelmente, ocorreu devido à mistura de exemplares de espécies coletadas na República Dominicana (América Central), com as coletadas no Benin, uma vez que a subfamília Edessinae é composta por espécies americanas.

As espécies *Edessa carnososa* e *E. piperitia* foram descritas por Westwood (1837), com base em espécimes provenientes do Brasil. *Edessa abdominalis* e *E. corallipes* oriundas da Guiana Inglesa, foram descritas por Erichson (1848).

Amyot & Serville (1843) descreveram o gênero *Aceratodes* para alocar *Cimex cruentus*.

Herrich - Schäffer (1844) transferiu *Cimex meditabundus* para o gênero *Edessa*.

Dallas (1851) transferiu *Edessa albirenis* Herrich - Schäffer, 1844, *E. carnososa*, *E. fulvicornis* Fabricius, 1803 e *E. piperitia* para o gênero *Aceratodes* e descreveu ainda *A. marginalis* da “América do Sul”, *A. discolor* da Guiana Inglesa e a fêmea de *A. fulvipes*.

Stål (1855) descreveu *Aceratodes flavovirens*, *A. albomarginatus* e *A. flavomarginatus*. O mesmo autor, em quatro trabalhos subsequentes descreveu *A. costalis* (Stål, 1859), transferiu *Edessa meditabunda* para *Aceratodes* (Stål, 1860), transferiu *A. cruentus* para *Edessa* (Stål, 1862), sinonimizou *Cimex glaucescens* a *E. meditabunda* e transferiu *E. fulvicornis* para *Edessa* (Stål, 1868).

Walker (1868) descreveu em *Edessa* o macho e a fêmea de *E. consentanea* e sinonimizou *Pentatoma furcata* a *A. cruentus*. Transferiu para *Aceratodes* uma espécie de *Cimex* (*Cimex ictericus* Linnaeus, 1763), uma de *Empicoris* (*E. corrosa* Herrich - Schäffer, 1838) e três de *Edessa* (*E. inconspicua* Dallas, 1851, *E. obsoleta* Herrich -

Schäffer, 1838; *E. cordigera* Erichson, 1848); descreveu *A. sigillatus*, *A. cordifer* e *A. privatus*, e sinonimizou *A. flavovirens* a *A. discolor*.

Em 1872, Stål propôs cinco grupos de espécies dentro de *Edessa*, em *Aceratodes* considerou como espécies deste grupo *E. fulvipes*, *E. fulvicornis*, *E. meditabunda*, *E. rufomarginata* e *E. ovalis* (descrita neste trabalho). Descreveu *E. mexicana*, no grupo *Ascra*; *E. aulacosterna* no grupo *Hypoxys*; e não incluiu as espécies *E. abdominalis*, *E. carnos*a, *E. corallipes* nos grupos propostos. No mesmo trabalho o autor propôs *A. cruentus* e *A. discolor* como sinônimos júniores de *E. rufomarginata*; e ainda reconheceu três variedades de *E. rufomarginata*: variedade 1, ilustrada por Stoll (1788); variedade 2, representada pelos exemplares anteriormente descritos como *A. marginalis*, *A. albomarginatus* e *A. flavomarginatus* e variedade 3, representada pelo exemplar anteriormente descrito como *A. flavovirens*.

Distant (1881), Lethierry & Severin (1893) e Kirkaldy (1909) basicamente acompanharam a proposta de Stål (1872), embora na sinonímia de *E. rufomarginata* Lethierry & Severin (1893) tenham omitido a variedade 1 e Kirkaldy (1909) nomeou como sendo “ var. (b) aruakana nov.”

Berg (1884) descreveu *E. nigropunctata* para o Uruguai, baseado em uma fêmea.

Uhler (1894) descreveu *E. rugulosa* originária de Grenada. Breddin descreveu macho e fêmea de *E. sternalis* (Breddin, 1903) para o Equador, e o macho e a fêmea de *E. cogitabunda* (Breddin, 1904), e considerou *E. nigropunctata* sinônimo de *E. piperitia* (Breddin, 1907), porém os autores subsequentes continuam a considerar *E. nigropunctata* como nome válido.

Distant (1900) propôs *E. consentanea* e *E. rugolosa* como sinônimos júniores de *E. meditabunda*.

Kirkaldy (1909) considerou as espécies *E. fulvipes*, *E. costalis*, *E. senilis* como sinônimos júniores de *E. carnos*a.

Silva et al. (2004) estudando as variações morfológicas de *Edessa rufomarginata* retiraram *Aceratodes discolor*, *E. albomarginata* e *E. marginalis* da sinonímia dessa espécie, considerando *A. discolor* como sinônimo júnior de *E. abdominalis*, e revalidando o status de *E. albomarginata* e *E. marginalis*.

Silva et al. (2006) redescreveram *E. abdominalis*, *E. aulacosterna*, *E. ovalis*, *E. nigropunctata*, *E. corallipes*; descreveram *E. brasiliensis*, *E. castaneolineata*, *E. cerradensis*, *E. chapadensis*, *E. luteovenulata*, *E. rufodorsata* e *E. virididorsata*; e

propuseram o grupo de espécies *E. rufomarginata*, incluindo neste as espécies supracitadas mais *E. albomarginata*, *E. marginalis* e *E. rufomarginata*, anteriormente estudadas pelos mesmos autores.

Como dito anteriormente, Edessinae e *Edessa* possuem limites que se sobrepõem, tornando sua separação, em alguns casos, puramente hierárquica. Portanto, são necessários estudos que solucionem esses problemas de identidade dos táxons: revisão dos gêneros conhecidos, descrições de gêneros novos e reavaliação do status dos subgêneros de *Edessa*. O grande número de espécies em *Edessa*, semelhança acentuada na morfologia externa, descrições incompletas e sem ilustrações informativas, têm dificultado o estudo do gênero, levando a identificações incorretas e dificuldade em reconstruir sua história (Fernandes & Doesburg, 2000a). Portanto, também são necessários estudos sistemáticos que envolvam a redescrição de espécies existentes, descrição de espécies novas, resolução de problemas de nomenclatura e a apresentação de diagnoses e ilustrações informativas que auxiliem na identificação das espécies.

Aceratodes, atualmente subgênero de *Edessa*, foi considerado como gênero válido por diversos autores ao longo de 30 anos. Amyot & Serville (1843), Dallas, (1851), Stål (1855; 1859; 1860) e Walker (1868) descreveram um total de dez espécies e transferiram cerca de outras dez para *Aceratodes*. Quando considerado como subgênero de *Edessa* (Kirkaldy, 1909), não foram indicadas quais espécies compunham *Aceratodes*. Assim, a única proposta existente é o grupo de espécies *Aceratodes* de Stål (1872), no qual o autor incluiu cinco espécies.

2. OBJETIVO

2.1 OBJETIVO GERAL

Revisar e reavaliar o status de *Aceratodes*.

2.2 OBJETIVOS ESPECÍFICOS

Redefinir e redescrever *Aceratodes*.

Transferir para *Aceratodes* as espécies do grupo *E. rufomarginata* e outras espécies de *Edessa*.

Redescrever as espécies do grupo *E. rufomarginata*;

Redescrever *E. meditabunda* (Fabricius, 1794), *E. mexicana* Stål, 1872 e *E. sternalis* Breddin, 1903;

Descrever uma espécie nova para a ciência;

Resolver problemas nomenclaturais existentes;

Elaborar uma chave dicotômica de identificação das espécies;

Elaborar um mapa de distribuição geográfica ampliada para as espécies do grupo.

3. MATERIAL E MÉTODOS

Para a realização deste trabalho foram analisados 283 exemplares obtidos por empréstimo de 22 instituições, citadas abaixo.

BMNH - The Natural History Museum, Londres, Inglaterra.

CAS - California Academy of Science, São Francisco, Estados Unidos da América.

CMNH - Carnegie Museum of Natural History, Pittsburg, Estados Unidos da América.

DAR - Coleção particular de D. A. Rider, Department of Entomology, North Dakota State University, Fargo, Estados Unidos da América.

UNL - Nebraska University, Department of Entomology, Lincoln, Estados Unidos.

DBT - Coleção particular de D. Thomas, Weslaco, Estados Unidos da América.

DZUP - Coleção Entomológica Padre Jesus Santiago Moure, Departamento de Zoologia da Universidade Federal do Paraná, Curitiba, Brasil.

IMLA - Universidad Nacional de Tucumán, Fundación y Instituto Miguel Lillo, San Miguel de Tucumán, Argentina.

JEE - Coleção particular de J. E. Eger, Tampa, Estados Unidos da América.

MACN - Museo Argentino de Ciencias Naturales “Bernardino Rivadavia”, Buenos Aires, Argentina.

MCNZ - Museu de Ciências Naturais, Fundação Zoobotânica do Rio Grande do Sul, Porto Alegre, Brasil.

MIZA - Museo del Instituto de Zoología Agrícola, Maracay, Venezuela.

MLPA - Facultad de Ciencias Naturales y Museo, División de Entomología, Universidad Nacional de La Plata, La Plata, Argentina.

MNRJ - Museu Nacional, Universidade Federal do Rio de Janeiro, Rio de Janeiro, Brasil.

MPEG - Museu Paraense Emílio Goeldi, Belém, Brasil.

MZUSP - Museu de Zoologia da Universidade de São Paulo, São Paulo, Brasil.

NHRM - Naturhistoriska Riksmuseet, Estocolmo, Suécia.

NMCR - National Museum of Natural History, Praga, República Checa.

RMNH - Nationaal Natuurhistorische Museum, Leiden, Holanda.

UFRGS - Departamento de Zoologia, Universidade Federal do Rio Grande do Sul, Porto Alegre, Brasil.

SDEI - Senckenberg Deutsches Entomologisches Institut, Müncheberg, Alemanha.

ZMHB - Museum für Naturkunde, Berlim, Alemanha.

Para a observação dos espécimes e descrição das estruturas de importância sistemática foi utilizado estereomicroscópio Zeiss Discovery V8, em diferentes aumentos.

As descrições foram realizadas a partir da análise da morfologia externa, seguindo um modelo já estabelecido para Pentatomidae, descrevendo a cabeça, (superfície dorsal, ventral, antenas e rostrum), tórax (pronoto, escutelo, hemiélitro, mesosterno, evaporatório, processo metasternal e pernas), abdome (superfície dorsal e ventral), genitália masculina (bordo dorsal, bordo ventral, taça genital, parâmero, processo da taça genital e segmento X) e genitália feminina (gonocoxitos 8 e 9, laterotergitos 8 e 9 e segmento X).

As genitálias de ambos os sexos e o processo metasternal foram desenhadas utilizando a técnica de sombreamento a lápis com auxílio de câmara clara acoplada ao estereomicroscópio, posteriormente digitalizadas em scanner HP Scanjet 2400 em configuração de 600 dpi de resolução e 256 tons de cinza. As fotografias foram feitas por uma câmera Cannon Power Shot A640 acoplada ao estereomicroscópio.

As medidas foram feitas com auxílio de um retículo de medição acoplado ao estereomicroscópio. Foram medidos o comprimento total, largura abdominal, comprimento total da cabeça, largura da cabeça, comprimento dos antenômeros, comprimento do pronoto, largura do pronoto, comprimento do escutelo e largura do escutelo (Fig.1). Nas descrições foram fornecidos os valores mínimos e máximos das medidas em milímetros (mm).

A distribuição geográfica das espécies foi representada por meio de um mapa usando o programa ARCGIS 10.0 (ESRI, 2010).

Todos os holótipos foram analisados por J.A.M. Fernandes e para cada espécie pelo menos um exemplar comparado com o tipo. Além disso, possuímos cópias das fotografias de todos os tipos, feitas por Pieter van Doesburg. O material descrito por Silva et al. (2006) esta disponível em nossa coleção.

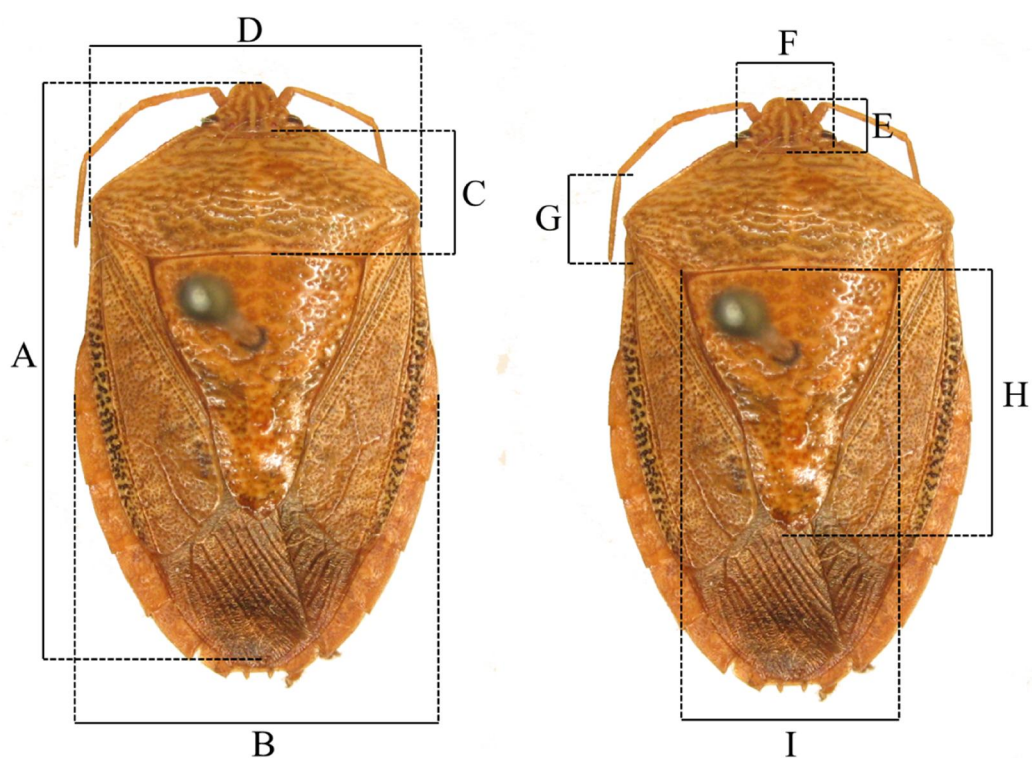


Figura 1: Esquema de medidas utilizadas para as espécies. Superfície dorsal de *Edessa ovalis*. **A:** comprimento total; **B:** largura do abdome; **C:** comprimento do pronoto; **D:** largura do pronoto; **E:** comprimento da cabeça; **F:** largura da cabeça; **G:** comprimento dos antenômeros; **H:** comprimento do escutelo; **I:** largura do escutelo.

4. RESULTADOS

O gênero *Aceratodes* é redescrito no presente trabalho com base em características morfológicas comuns para o grupo, as quais são apresentadas na diagnose abaixo.

São transferidas para *Aceratodes* as 13 espécies do grupo **rufomarginata** (Silva et al, 2006): *E. abdominalis* Erichson 1848, *E. albomarginata* (Stål, 1855), *E. aulacosterna* Stål, 1872, *E. brasiliensis* Silva, Fernandes & Grazia, 2006, *E. castaneolineata* Silva, Fernandes & Grazia, 2006, *E. cerradensis* Silva, Fernandes & Grazia, 2006, *E. chapadensis* Silva, Fernandes & Grazia, 2006, *E. luteovenulata* Silva, Fernandes & Grazia, 2006, *E. marginalis* (Dallas, 1851), *E. ovalis* Stål, 1872, *E. rufodorsata* Silva, Fernandes & Grazia, 2006 e *E. rufomarginata* (De Geer, 1773). Além destas, são incluídas neste gênero as espécies *Edessa meditabunda* (Fabricius, 1794), *Edessa mexicana* Stål, 1872, *Edessa sternalis* Breddin, 1903, e descrita uma nova espécie para o Brasil (Minas Gerais, Paraná, Rio Grande do Sul, Santa Catarina).

Edessa corallipes Erichson, 1848, *E. nigropunctata* Berg, 1884 e *E. virididorsata* consideradas como válidas por Silva et al. (2006) dentro do grupo **rufomarginata**, são aqui consideradas como sinônimos juniores de *Aceratodes carnosus*, *A. piperitius* e *A. fulvicornis*, respectivamente. *Edessa cogitabunda* Breddin, 1904 é sinonimizada a *A. meditabundus*.

4.1 O GÊNERO *Aceratodes* AMYOT & SERVILLE, 1843

Aceratodes Amyot & Serville, 1843 Status novo

(Figs. 2-27)

Aceratodes Amyot & Serville, 1843: 160; Dallas, 1851: 316; Stål, 1855: 183; 1859: 231; 1860:28;1872: 49 Walker, 1868: 451; Lethierry & Severin, 1893: Kirkaldy, 1909:153.

Diagnose: As espécies de *Aceratodes* são caracterizadas por apresentar corpo pequeno a médio (Comprimento total: 7,4 - 21,1) e ovalado. Antena com segundo e

terceiro antenômeros subiguais em comprimento. Pronoto com ângulo umeral não desenvolvido e arredondado. Hemiélitro com clavo apresentando densidade de pontuação diferente do restante; embólio com textura, coloração e padrão de pontuação diferentes do restante do cório; veias concolores ou levemente mais claras, mas nunca contrastando fortemente com o cório. Processo metasternal estreito; braços da bifurcação achatados lateralmente e com diferentes graus de redução, mas nunca atingem o terço anterior do mesosterno; escavação do processo alcançando ou ultrapassando as mesocoxas. Sétimo segmento abdominal das fêmeas com o ângulos póstero-laterais pouco desenvolvidos, não atingindo o nível do ápice dos laterotergitos 8. Placas genitais femininas não, ou pouco projetadas posteriormente. Pigóforo uniforme e densamente pontuado no terço posterior da superfície ventral.

Cabeça: Mais larga que longa. Placas mandibulares contíguas adiante do clipeo, inclinadas em vista lateral, com ápice curvado ventralmente no ápice ou não; sulcos transversais e pontuação presente na maioria das espécies. Face ventral da cabeça predominantemente amarela e não pontuada. Antenas predominantemente amarelas; pontuadas ou não; tubérculo antenífero, quando desenvolvido, forma um dente inconspícuo; segundo e terceiro antenômeros subiguais em comprimento. Búculas triangulares, evanescentes e geralmente pontuadas. Rostro alcança a bifurcação do processo metasternal; primeiro segmento do rostro tão ou mais longo que as búculas; terceiro e quarto segmentos subiguais em comprimento; ápice do quarto segmento escurecido.

Tórax: Pronoto declivente, com pontuação densa; cicatrizes concolores, não pontuadas e com um par de sulcos posteriores; ângulo umeral não desenvolvido; margem anterolateral reta, emarginada ou não, com o ângulo anterolateral formando um dente inconspícuo. Propleura com pontuação mais esparsa que a dorsal. Escutelo alcançando ou não o sexto segmento abdominal; ápice arredondado ou levemente acuminado. Cório castanho e fosco ou concolor com o escutelo e pronoto; pontuação mais fina que no resto do dorso torácico. Embólio diferente do restante do cório, podendo apresentar coloração mais clara, incluindo áreas calosas amarelas, e/ou pontuação maior e mais profunda que altera a textura da região deixando-a mais granulada. Veias geralmente de mesma coloração que o cório; membrana do hemiélitro castanha, hialina e brilhante. Mesosterno intumescido, levemente sulcado com carena mediana baixa, exceto na parte anterior onde é alta formando uma projeção entre as

procoxas. Processo metasternal (pm) mais longo que largo; pontuado ou não; bifurcação anterior normalmente divergente, com braços curtos a medianos (bpm), atingindo no máximo a metade do mesosterno; ápice evanescente. O processo metasternal apresenta um recorte anterior que atinge no máximo o limite anterior das mesocoxas e que se continua como uma escavação (epm) com extensão variável (Figs. 5-23, E). Evaporatório fosco, rugoso, de mesma coloração que a superfície ventral e predominante não pontuado. Peritrema ocupa da metade até 4/5 da distância entre a abertura da glândula e a margem do corpo. Pernas frequentemente alaranjadas e não pontuadas.

Abdome: Conexivo exposto, pontuação frequentemente concolor, fina e densa; ângulos póstero-laterais pouco desenvolvidos; nas fêmeas os ângulo póstero-laterais do segmento VII nunca alcançam o comprimento dos laterotergitos 8. Face ventral predominantemente alaranjada; pontuação geralmente presente. Espiráculos elípticos ou circulares.

Genitália do macho: Pigóforo retangular a sub-retangular em vista dorsal, com abertura dorso-posterior (Figs. 5-23, A). Bordo dorsal (bd) côncavo, geralmente com pontuações e sulcos rasos. Bordo ventral (bv) com uma escavação mediana em forma de “V” ou “U” com profundidade variável e delimitada por um par de projeções com grau de intumescimento e desenvolvimento variáveis. Face ventral pontuada até a metade posterior. Parâmero (pa) laminar ou intumescido, com a margem escura (Figs. 5-23, B). Processo da taça genital (pt) posicionado junto ao bordo dorsal ou mais centralizado na parede lateral da taça genital, escuro, intumescido ou laminar (Figs. 5-23, C). Segmento X (x) com um par de escavações laterais de dimensões variáveis que delimitam a face posterior (fpx); esta com ou sem carena mediana (Figs. 5-23, C).

Genitália da fêmea (Figs. 5-23, D): Gonocoxitos 8 (gc8) convexos, rugosos e pontuados; margem posterior em arco ou acuminada; bordo sutural com escavação distal variável, podendo ser de inconspícua a profunda. Gonapófises 8 (gn8) frequentemente visível junto ao gonocoxitos 9. Gonocoxitos 9 (gc9) trapezoidais, convexos transversalmente, com carena mediana presente ou não; com ou sem pontuação. Laterotergitos 8 (la8) pontuados ou não; margem posterior projetada posteriormente ou não, mas sempre com um pequeno dente distal, ápice ultrapassando pouco o nível dos laterotergitos 9. Laterotergitos 9 (la9) com ou sem pontuação;

anteriormente escavado; pode ou não ultrapassar a banda que une dorsalmente os laterotergitos 8. Segmento X (x) convexo transversalmente, com ou sem sulcos.

Comentários: *Aceratodes* diferem de *Edessa*, por apresentar o ângulo umeral não desenvolvido e arredondado, ângulo posterior do sétimo segmento abdominal pouco projetado posteriormente, nunca alcançando a margem distal do laterotergito 8; pigóforo com a metade distal da superfície ventral pontuada; fêmea com as placas genitais pontuadas. Características estas compartilhadas com o subgênero *Ascra*. *Aceratodes* se diferencia de *Ascra*, principalmente, por apresentar cório com textura, coloração e padrão da pontuação diferentes no clavo e embolio, processo metasternal com escavação alcançando ou ultrapassando as mesocoxas.

Distribuição (Figs. 24-27): **MÉXICO:** Mérida, Michoacan Guerrero, Oaxaca; **CUBA;** **JAMAICA:** Saint Elizabeth; **REPÚBLICA DOMINICANA:** Espailat; **PANAMÁ;** **SÃO VICENTE E GRANADINAS;** **GRENADA;** **COLÔMBIA;** **VENEZUELA:** Aragua, Trujillo, Cojedes, Guarico, Tachira, Monagas, Bolivar, Distrito Federal, El Juquito, **TRINIDAD E TOBAGO:** Saint. George; **GUIANA;** **SURINAME:** Paramaribo e Republiek; **GUIANA FRANCESA:** Oyack, Caiena; **BRASIL:** Amapá, Amazonas, Pará, Pernambuco, Mato Grosso, Goiás, Distrito Federal, Minas Gerais, Espírito Santo, São Paulo, Rio de Janeiro, Paraná, Santa Catarina, Rio Grande do Sul; **EQUADOR:** Ambato, Napo e Tungurahua; **BOLÍVIA:** Santa Cruz; **PARAGUAI:** Cordillera e San Bernardino; **ARGENTINA:** Jujuy, Salta, Tucumán, Chaco, Misiones, Santa Fé, Buenos Aires, Entre Rios; **URUGUAI:** Maldonado, Montevideo.

4.1.1 Chave de identificação para as espécies de *Aceratodes*.

1. Superfície do corpo, ou pelo menos no pronoto e parte do escutelo, com a pontuação clara cercada por pequena mancha verde intercalada por áreas calosas amareladas, dando um aspecto rugoso à superfície. Quarto antenômero no mínimo o dobro do comprimento do terceiro. Parede ventral da taça genital com um par de escavações circulares (Figs. 7A, 9A); parâmero, intumescido, geniculado, não sulcado, com o ápice afilado e não bifurcado (Figs. 5C, 9C); processo da taça genital posicionado junto ao bordo dorsal, túmido com o ápice escavado. Margem posterior dos gonocoxitos 8 acuminada (Figs. 6-9, A) , exceto em *A. luteovenulatus* (Fig. 5D).....2

- Superfície do corpo rugosa ou não. Quarto antenômero no máximo o dobro do comprimento do terceiro. Parede ventral da taça genital não escavada; parâmero túmido ou laminar, sulcado, com o ápice bifurcado; processo da taça genital posicionado junto ao bordo dorsal ou mais ventralmente, laminar ou intumescido. Margem posterior dos gonocoxitos 8 curvada (Fig. 16D), exceto em *A. carnosus* (Fig. 18D).....6
- 2. Cório com veias concolores.....3
- Cório com veias amarelas (Figs. 2A)..... *A. luteovenulatus*
- 3. Processo metasternal com escavação curta (Figs. 7-9, E), no máximo ultrapassando as mesocoxas, acomodando até parte do terceiro segmento do rostro.....4
- Processo metasternal escavado profundamente em toda sua superfície (Fig. 6E); rostro longo, alcançando o tubérculo abdominal.....*A. aulacosternus*
- 4. Processo metasternal com braços longos, acomodando o quarto segmento do rostro e parte do terceiro. Superfície ventral do pigóforo intumescida próximo ao bordo ventral devido a pequena profundidade das escavações da parede ventral da taça genital (Figs. 8-9, B). Projeção espiniforme da margem posterior dos gonocoxitos 8 alcança ou ultrapassa a margem posterior dos gonocoxitos 9 (Figs. 8-9, D).....5
- Processo metasternal com braços curtos, acomodando apenas parte do quarto segmento do rostro. Superfície ventral do pigóforo plana próximo ao bordo ventral devido a pequena profundidade das escavações da parede ventral da taça genital (Fig. 7B). Projeção espiniforme da margem posterior dos gonocoxitos 8 não alcança o bordo distal dos gonocoxitos 9 (Figs. 7D).....*A. ovalis*
- 5. Primeiro segmento do rostro tão longo quanto à búculas.....*A. cerradensis*
- Primeiro segmento do rostro mais longo que as búculas, atingindo o início do tórax.....*A. chapadensis*
- 6. Parâmero amplo, achatado em forma de leque, parte distal com superfície bem maior que a da face posterior do segmento X (Figs. 10-13, C); processo da taça genital com eixo subparalelo ao bordo dorsal (Figs. 10-13, C). Margem posterior dos gonocoxitos 8 formando um dente pequeno sobre os gonocoxitos 9 (Figs. 10-13, D).....7
- Parâmero pequeno com duas projeções distais afiladas ou truncadas, com superfície menor ou igual a da face posterior do segmento X (Figs. 14C, 23C); processo da taça genital com eixo perpendicular ao bordo dorsal (Figs. 13C, 23C). Margem posterior dos gonocoxitos 8 arredondada ou angulada, mas sem o dente sobre o gonocoxito 9 (Figs. 15D, 23D); caso ocorra um pequeno dente, corpo fortemente pontuado (Fig. 3A) 11
- 7. Evaporatório e processo metasternal não pontuados.....*A. meditabundus*

- Evaporatório e processo metasternal pontuados8
- 8.** Antenas não pontuadas e com coloração uniforme; bifurcação anterior do processo metasternal com braços curtos e achatados, alcançando apenas $\frac{1}{4}$ do mesosterno (Fig. 11E)..... *A. sternalis*
- Antenas pontuadas e bicolores; bifurcação anterior do processo metasternal com braços médios, alcançando de $\frac{3}{5}$ a metade do mesosterno (Figs. 12-13, E.).....9
- 9.** Antena com terceiro antenômero com uma única cor. Rostro pontuado. Conexivo com pontuação grosseira *A. mexicanus*
- Antena com um anel escuro no ápice do terceiro antenômero. Rostro não pontuado. Conexivo com pontuação fina.....*Aceratodes sp nova 1*
- 11.** Evaporatório e processo metasternal não pontuados12
- Evaporatório e processo metasternal pontuados*A. piperitius*
- 12.** Primeiro segmento do rostro distintamente mais longo que as búculas.....13
- Primeiro segmento do rostro tão longo quanto à búculas.....17
- 13.** Regiões intersegmentares e cicatrizes escuras, contrastando fortemente com a cor da superfície ventral.....14
- Regiões intersegmentares e cicatrizes concolores ou pouco mais escuras que a superfície ventral, não contrastando fortemente.....15
- 14.** Placas mandibulares pontuadas. Parâmero com projeções truncadas (Fig. 15C); processo da taça genital muito pequeno, apenas uma aba do tegumento encoberto pelo parâmero. Margem posterior do gonocoxito 8 sinuosa (Fig. 15D).....*A. fulvicornis*
- Placas mandibulares não pontuadas. Parâmero com projeções afiladas (Fig. 16C); processo da taça genital bífido. Margem posterior do gonocoxito 8 arqueada (Fig. 16D).....*A. rufomarginatus*
- 15.** Coloração do pronoto e escutelo verde clara, contrastando fortemente com a cor castanha do cório (Fig. 3C).....*A. brasiliensis*
- Pronoto, escutelo e cório concolores (Figs. 3D-I).....16
- 16.** Coloração geral castanha a negra (Fig. 3D-G) 17
- Coloração geral verde com conexivo fortemente contrastante. (Figs. 3H-I).....22
- 17.** Margem da cabeça, pronoto e cório (pelo menos em parte) amarelos ou alaranjados; pernas e antenas castanhas ou avermelhadas..... 18

- Margem da cabeça, pronoto e cório negros ou concolores com o corpo; antenas e pernas amarelas.....*A. carnosus*
- 18.** Coloração dorsal negra com conexivo laranja ou vermelho (Fig. 4D).....*A. rufomarginatus*
- Coloração dorsal castanha ou castanho-escura, mas nunca negra, com conexivo amarelo, castanho-claro ou concolor (Figs. 3E-H).....**19**
- 19.** Peritrema ocupando a metade da distância entre a abertura da glândula de cheiro e a margem do corpo*A. rufomarginatus*
- Peritrema ocupando 2/3 ou mais da distância entre a abertura da glândula de cheiro e a margem do corpo.....**20**
- 20.** Bifurcação do processo metasternal ocupando cerca da metade do mesosterno (Fig. 3E). Bordo dorsal do pigóforo projetado sobre os processos da taça genital (Fig. 19A); parâmero longo atingindo estas projeções (Fig. 19C).....*A. albomarginatus*
- Bifurcação do processo metasternal ocupando o terço posterior do mesosterno. Bordo dorsal do pigóforo não projetado sobre a taça genital (Figs. 20-13, A); parâmero curto (Figs. 20-23, C).....**21**
- 21.** Embólio e conexivo com uma linha longitudinal de cor castanha formada pela concentração de pontos escuros sobre o fundo caloso e amarelo (Fig. 3F).....*A. castaneolineatus*
- Margem do cório e conexivo uniformemente caloso e amarelo, sem formar linhas (Fig. 3G).....*A. marginalis*
- 22.** Coloração dorsal do abdome castanho-avermelhada*A. rufodorsatus*
- Coloração dorsal do abdome castanho-escura a negra **23**
- 23.** Conexivo amarelo (Fig. 4F-G).....*A. rufomarginatus*
- Conexivo alaranjado ou avermelhado (Figs 3I; 4A, D-E)..... **24**
- 24.** Exemplos pequenos (Comprimento total: 13,4 – 15,5; Largura abdominal: 8,0 – 10,0), região intersegmentar e cicatriz abdominal concolores com o restante da superfície ventral..... *A. abdominalis*
- Exemplos grandes (Comprimento total: 15,1 – 19,4; Largura abdominal: 9,0 – 12,8), região intersegmentar e cicatriz abdominal escuras, contrastando fortemente com a coloração do restante da superfície ventral*A. rufomarginatus*

Aceratodes luteovenulatus (Silva, Fernandes & Grazia, 2006) COMB. NOVA

(Figs. 2A, 5, 25)

Edessa luteovenulata Silva et al., 2006: 355.

Material - tipo examinado: Holótipo ♂, BRASIL. **Mato Grosso:** Chapada dos Guimarães, Maio, 2966 (CMNH). Parátipo ♀, BRASIL. **Mato Grosso:** Chapada dos Guimarães, Novembro, 2966 (CMNH).

Medidas (n= 2): Comprimento total: 13,3 - 15,0; Largura abdominal: 19,0 - 20,0; Comprimento total da cabeça: 2,1 - 2,2; Largura da cabeça: 3,0; Comprimento dos antenômeros: I: 0,6 - 0,7; II: 1,2; III: 1,3; IV: 3,0; V: 4,3; Comprimento do pronoto: 3,3; Largura do pronoto: 8,2 - 9,0; Comprimento do escutelo: 6,1 - 6,7; Largura do escutelo: 5,0 - 5,5.

Diagnose: Superfície dorsal da cabeça, pronoto e escutelo verde claro. Pronoto com pontuação distribuída em linhas intercaladas por áreas calosas amarelas. Cório castanho esverdeado com áreas calosas amarelo-pálidas; margem do cório amarela ou avermelhada; embólio caloso, amarelo claro e com pontuação castanha; veia costal negra margeada por áreas calosas amarelas e uma fileira de pontos negros, demais veias calosas e amarelas. Superfície ventral do corpo verde-amarelada apresentando o mesmo padrão de pontos entre calosidades do pronoto. Tórax ventralmente com pontuação intercalada com áreas calosas amarelas. Processo metasternal com escavação atingindo a linha anterior das mesocoxas e escavação atingindo o meio das mesocoxas. Antenas e pernas amarelas. Parede ventral do pigóforo com escavações quase inconspícuas e juntas do bordo ventral. Margem posterior dos gonocoxitos 8 arqueada e sem projeções espiniformes.

Cabeça: Placas mandíbulares com uma fileira de pontos concolores na base de sulcos transversais; ápice não curvado. Antenas não pontuadas, segundo antenômero maior que o primeiro, subigual ao terceiro, quarto mais que o dobro do terceiro e menor que o quinto. Búculas pontuadas. Rostro alcança a bifurcação do processo metasternal, o qual acomoda o quarto segmento; primeiro segmento do rostro tão longo quanto as búculas, segundo menor que o terceiro e quarto juntos.

Tórax: Pronoto com pontuação grande e castanha cercada por uma mancha verde. Margem anterolateral emarginada e reta; ângulo anterolateral formando um dente inconspícuo. Cório densamente pontuado e com pequenas manchas e áreas calosas irregulares de cor amarela. Clavo pontuado como o cório. Embólio rugoso, com pontuação mais grosseira e castanha. Membrana do hemiélitro castanha. Propleura completamente pontuada. Processo metasternal não pontuado, atingindo cerca da metade do mesosterno (Fig. 5E). Evaporatório enrugado e pontuado. Peritrema atinge pouco mais da metade da distância entre a abertura da glândula e a margem do corpo. Pernas não pontuadas.

Abdome: Conexivo com pontuação fina, concolor e densa; ângulos pósterolaterais pouco desenvolvidos, formando dentes pequenos. Face dorsal castanha. Face ventral com pontuação esparsa e intercalada com áreas calosas como no tórax, exceto na região mediana que não tem pontos. Espiráculos elípticos. Tricobótrios externos a linha dos espiráculos.

Genitália do macho: Pigóforo retangular em vista dorsal (Fig. 5A). Bordo dorsal com alguns pontos na região central. Superfície ventral com pontuação rasa e clara, e sulcos na região mediana, acompanhando o bordo ventral. Bordo ventral com uma escavação mediana ampla e rasa, delimitada por duas projeções arredondadas e levemente intumescidas, localizadas próximas e abaixo do nível dos ângulos pósterolaterais (Fig. 5B). Parâmero intumescido, geniculado, curto, direcionado para a região anterior, com o ápice acuminado e não bifurcado (Fig. 5C). Processo da taça genital posicionado anterolateralmente, junto ao bordo dorsal, retangular, espesso, achatado e com a face distal escavada (Fig. 5C). Segmento X com escavações laterais estreitas e profundas, pilosidade curta e esparsa; superfície dorsal levemente sulcada transversalmente; face posterior ogival, praticamente perpendicular ao plano frontal e sulcada (Fig. 5C).

Genitália da fêmea (Fig. 5D): Gonocoxitos 8 sulcados e pontuados, superfície irregular com áreas escavadas na lateral; margem posterior arqueada, escavação do bordo sutural ampla e profunda. Gonapófises 8 parcialmente visíveis. Gonocoxitos 9 não pontuados e sem carena. Laterotergitos 8 não pontuados; projeção posterior pouco desenvolvida, formando um dente pequeno e negro. Laterotergitos 9 com pontuação fina escassa e concolor; ultrapassa a banda que une dorsalmente os laterotergitos 8.

Comentários: *Aceratodes luteovenulatus* compartilha com *A. aulacosternus*, *A. cerradensis*, *A. chapadensis* e *A. ovalis*, características como pigóforo claro contrastando com a cor escura do processo da taça genital; um par de escavações circulares na parede ventral da taça genital; parâmero intumescido, geniculado, não sulcado, ápice não bifurcado e afilado, face externa escura; superfície do corpo, pelo menos no pronoto e parte do escutelo, com a pontuação clara cercada por pequena mancha verde intercalada por áreas calosas amareladas; superfície ventral do tórax com pontuação escura cercada por áreas calosas amareladas. Esse padrão de coloração e pontuação também é encontrado na variedade V de *A. rufomarginatus* (ver Silva 2004). *A. luteovenulatus* apresenta a escavação da parede ventral da taça genital fracamente marcada, enquanto em *A. aulacosternus*, *A. chapadensis* e *A. ovalis* esta escavação é profunda, resultando em um abaulamento na face ventral do pigóforo. *Aceratodes luteovenulatus* possui os braços da bifurcação do processo metasternal menos achatados e divergentes que *A. chapadensis*. Essa espécie compartilha com *A. aulacosternus* e *A. chapadensis* a face posterior do segmento X perpendicular ao eixo frontal, no macho. Projeção posterior dos gonogoxitos 8 é triangular, levemente arqueado, não formando uma projeção dentiforme, como em *A. aulacosternus*, *A. cerradensis*, *A. chapadensis* e *A. ovalis*.

Distribuição (Fig. 25): **BRASIL:** Mato Grosso.

Aceratodes aulacosternus (Stål, 1872) **COMB. NOVA**

(Figs. 2B, 6, 24)

Edessa aulacosterna Stål, 1872: 56; Lethierry & Severin, 1893: 188; Kirkaldy, 1909: 154; Silva et al., 2006: 348.

Material: Holótipo ♂, BRASIL (“Brasília”) (NHRM).

Material adicional: BRASIL. ♂ Sello 289 (comparado com o tipo de *Edessa aulacosterna*) (ZMHB). **Mato Grosso:** ♀ Chapada dos Guimarães, Acc, N° 2966 (CMNH); ♀ Cuiabá, I-1963, M. Alvarenga, col. (MPEG). **Goiás:** ♀ Corumbá de Goiás, 04-12-1962 J. & B. Bechyné cols. (MPEG). **Minas Gerais:** ♀ Cristalino, 06-XI-1973, Pe. Moure & Melke cols. (DZUP).

Medidas (n= 5): Comprimento total: 18,3 - 21,1; Largura abdominal: 10,6 - 12,4; Comprimento total da cabeça: 2,7 - 2,8; Largura da cabeça: 3,7 - 3,8; Comprimento dos antenômeros: I: 0,7 - 1,0; II: 1,1 - 1,8; III: 1,3 - 2,2; IV: 3,2 - 4,0; V: 3,4 - 4,0; Comprimento do pronoto: 4,5 - 5,2; Largura do pronoto: 11,4 - 12,2; Comprimento do escutelo: 8,5 - 9,4; Largura do escutelo: 6,6 - 7,7.

Diagnose: Superfície dorsal verde clara. Pronoto e metade anterior do escutelo com pontuação castanho-clara cercada por pequenas manchas verdes intercaladas por áreas calosas amareladas. Superfície ventral do corpo amarelo-esverdeada. Superfície ventral do tórax com pontuação escura cercada por áreas calosas. Antenas e pernas amarelo-pálidas a esverdeadas. Placas mandibulares e búculas não pontuadas. Rostro longo, atingindo a bifurcação posterior do processo metasternal e o tubérculo abdominal. Bifurcação anterior do processo metasternal com braços paralelos entre si; processo metasternal escavado em toda sua superfície. Pigóforo com um par de escavações arredondadas e profundas na superfície ventral da taça genital. Processo da taça genital cordiforme e amplo. Margem distal dos gonocoxitos 8 arqueada e com um pequeno dente junto aos laterotergitos 9.

Cabeça: Antenas não pontuadas, segundo antenômero maior que o primeiro, subigual ao terceiro, quarto cerca de duas vezes maior que o terceiro e subigual ao quinto. Placas mandibulares densamente sulcadas transversalmente, com o ápice não curvado e as margens amareladas. Face ventral da cabeça mais clara que a dorsal. Primeiro segmento do rostro mais longo que as búculas e passando o limite da cabeça, atingindo a região do colar; segundo de comprimento subigual ou maior que a soma do terceiro e quarto reunidos.

Tórax: Pronoto com a margem anterolateral emarginada, com o ângulo anterolateral inconspícuo. Propleura pontuada apenas na metade posterior, com pontuação da mesma coloração e tamanho da dorsal, porém mais esparsa. Cório opaco. Embólio rugoso, com pontuação grosseira e mais clara que no restante. Veias de mesma coloração que o cório; membrana do hemiélitro castanha. Processo metasternal não pontuado; atingindo a metade do mesosterno e recebendo parte do segundo, terceiro e quarto segmentos do rostro; ápice da bifurcação anterior subparalelos (Fig. 6E). Evaporatório, não pontuado, de mesma coloração que a superfície ventral. Peritrema

ocupa cerca de 4/5 da distância entre a abertura da glândula e a margem do corpo. Pernas não pontuadas.

Abdome: Conexivo com pontuação fina, concolor e densa; ângulos póstero-laterais pouco desenvolvidos, formado dentes pequenos. Face dorsal castanho claro. Face ventral amarela; pontuação fina, concolor e restrita as margens do abdome; os três primeiros segmentos abdominais visíveis apresentam uma depressão na região mediana, como se fosse o prolongamento da escavação do processo metasternal. Espiráculos elípticos, com as bordas escurecidas. Tricobótrios externos a linha dos espiráculos.

Genitália do macho: Pigóforo retangular, em vista dorsal (Fig. 6A). Bordo dorsal escuro, pontuado. Superfície ventral com pontuações e sulcos variáveis. Bordo ventral com uma escavação mediana rasa e ampla que se continua em curva em direção aos ângulos póstero-laterais, passando pela projeção intumescida (Fig. 6B). Bordo ventral com um par de escavações pouco profundas junto ao parâmero. Parâmero intumescido, geniculado, base ampla e afilado em direção ao ápice, parte distal cuneiforme (Fig. 6C). Processo da taça genital posicionado junto ao bordo dorsal, intumescido, cordiforme e côncavo medianamente. Segmento X com escavações laterais pouco profundas, e estreitas, com pilosidade esparsa e curta; superfície dorsal com ranhuras transversais; face posterior triangular e perpendicular ao eixo frontal (Fig. 6C).

Genitália da fêmea (Fig. 6D): Gonocoxitos 8 planos, com pontuação densa; margem posterior sinuosa e acuminada, formando uma projeção dentiforme que não atinge o nível da margem distal dos gonocoxitos 9; escavação do bordo sutural ampla e profunda. Gonapófises 8 visíveis. Gonocoxitos 9 quase planos, com carena mediana e não pontuados. Laterotergitos 8 com pontuação fina, esparsa e concolor; projeção posterior pouco pronunciada. Laterotergitos 9 anteriormente escavados; atingindo ou ultrapassando a banda que une dorsalmente os laterotergitos 8; não pontuados.

Comentário: *Aceratodes aulacosternus* apresenta o processo metasternal escavado em toda sua superfície, característica compartilhada apenas com a forma V de *A. rufomarginatus*; essa escavação acomoda um rostro mais longo que o das outras espécies; processo metasternal com a área da escavação sulcada, característica compartilhada com *A. ovalis*, forma III de *A. rufomarginatus* e *A. carnosus*.

Distribuição (Fig. 24): **BRASIL**: Mato Grosso, Goiás, Minas Gerais.

Aceratodes ovalis (Stål, 1872) **COMB. NOVA**

(Figs. 2C, 7, 24)

Edessa ovalis Stål, 1872: 57; Berg, 1892: 46; Lethierry & Severin, 1893: 192; Kirkaldy, 1909: 161; Silva et al. 2006: 349.

Material: BRASIL. ♂ V. Olfers col. (ZMHB) **Pará:** ♂ Bragança, 26 -V -1978 (MPEG). **Minas Gerais:** ♂♀ Uberlândia, 01-X-1961, Claudionor Elias, col. (UFRG). ARGENTINA. **Misiones:** ♀ (comparado com o tipo de *Edessa ovalis* Stål, 1872) (UFRG).

Medidas (n= 5): Comprimento total: 15,5 - 17,5; Largura abdominal: 10,3 - 11,1; Comprimento total da cabeça: 2,3 - 2,5; Largura da cabeça: 2,8 - 3,2; Comprimento dos antenômeros: I: 0,7 - 1,0; II: 1,1 - 1,3; III: 1,1 - 1,3; IV: 2,2 - 3,0; V: 3,1 - 3,2; Comprimento do pronoto: 4,0 - 4,3; Largura do pronoto: 9,2 - 10,3; Comprimento do escutelo: 6,8 - 7,7; Largura do escutelo: 6,0 - 6,3.

Diagnose: Superfície dorsal e ventral verde-amarelada. Cabeça, pronoto, e escutelo com pontuação clara, profunda e cercada por manchas verdes intercaladas por áreas calosas amarelo-pálidas. Superfície ventral com pontuação castanha intercalada por áreas calosas amarelas. Cabeça com quatro linhas longitudinais de pontuação. Embólio amarelado, caloso, com pontuação grande e negra. Antenas e pernas amarelas. Evaporatório pontuado. Processo metasternal com braços muito pequenos, base da bifurcação pouco mais larga que o rostro; escavação do processo rasa e ultrapassando as mesoxcoxas. Pigóforo com escavações subretangulares e profundas na parede ventral da taça genital. Margem posterior dos gonocoxitos 8 acuminada, terminando em uma projeção dentiforme que não atinge a margem posterior dos gonocoxitos 9.

Cabeça: Placas mandibulares sulcadas transversalmente, com ápice curvado ventralmente e duas linhas longitudinais de pontuação castanha, sendo uma mediana e outra na margem interna junto ao clipeo. Antenas não pontuadas. Primeiro antenômero mais curto que os demais, segundo e terceiro subiguais, quarto o dobro do terceiro e menor que o quinto. Búculas com pontuação concolor. Rostro alcança a bifurcação anterior do processo metasternal, o qual acomoda o ápice do quarto segmento; primeiro

segmento do rostro tão longo quanto as búculas, segundo mais curto ou tão longo quanto o terceiro e quarto reunidos.

Tórax: Pronoto com margem anterolateral emarginada, reta, levemente crenulada e com o ângulo anterolateral formando um dente muito pequeno. Propleura completamente pontuada. Cório com superfície áspera. Clavo com pontuação igual ou maior que o restante do cório. Veias de mesma coloração que o cório; membrana do hemiélitro castanha. Processo metasternal não pontuado; bifurcação anterior com braços, ocupando até 1/3 do mesosterno; área da escavação com ou sem sulcos, podendo ou não alcançar as mesocoxas (Fig. 7E). Peritrema ocupa cerca da metade da distância entre a abertura da glândula e a margem do corpo.

Abdome: Conexivo com pontuação fina, concolor e densa; ângulos pósterolaterais não desenvolvidos. Face dorsal castanho escuro. Espiráculos elípticos. Um dos tricobótrios externo e o outro alinhado aos espiráculos.

Genitália do macho: Pigóforo trapezoidal, em vista dorsal (Fig. 7A). Bordo dorsal com região central áspera. Face ventral com pontuação densa, clara, e bastante sulcada no terço posterior. Bordo ventral com uma escavação mediana profunda e ampla, delimitada por duas projeções arredondadas, levemente intumescidas, que se prolongam em direção aos ângulos pósterolaterais (Fig. 7B). Escavações da face ventral da taça genital profundas. Parâmero intumescido; geniculado, direcionado para a região ântero-dorsal, com o ápice acuminado e não bifurcado; não sulcado (Fig. 7C). Processo da taça genital pequeno, piriforme, escavado, posicionado junto ao bordo dorsal e segmento X (Fig. 7C). Segmento X com um par de escavações laterais amplas e rasas recobertas por pubescência curta e esparsa; face posterior inclinada, áspera e com carena mediana presente (Fig. 7C).

Genitália da fêmea (Fig. 7D): Gonocoxitos 8 pouco convexos, levemente côncava lateralmente; pontuação esparsa; margem posterior acuminada, projeção dentiforme se projeta sobre a base dos laterotergitos 9; escavação do bordo sutural inconspícua. Gonapófises 8 não visíveis. Gonocoxitos 9, praticamente planos e não pontuados. Laterotergitos 8 com pontuação robusta, esparsa e castanha; projeção posterior desenvolvida, com um pequeno espinho negro. Laterotergitos 9 não pontuados; base plana; ultrapassa a banda que une dorsalmente os laterotergitos 8; ápice ultrapassa o nível dos laterotergitos 8.

Comentários: Os machos de *A. ovalis* e *A. cerradensis* compartilham a presença de bordo ventral do pigóforo com escavação mediana em forma de “V”, estreita na base e se alargando em direção ao ápice, sendo o ângulo da escavação mais aberto em *A. ovalis*. Compartilha com essas espécies e *A. chapadensis* a margem posterior dos gonocoxitos 8 com margem posterior acuminada, formando uma projeção dentiforme que se projeta sobre o quarto basal dos laterotergitos 9, sendo mais curto em *A. ovalis*, não alcançando a margem distal dos gonocoxitos 9.

Distribuição (Fig. 24): **BRASIL:** Pará; Minas Gerais **PARAGUAI:** Corlillera; **ARGENTINA:** Misiones.

Aceratodes cerradensis (Silva, Fernandes & Grazia, 2006) COMB. NOVA

(Figs. 2D, 8, 24)

Edessa cerradensis Silva et al., 2006: 354.

Material-tipo examinado: Holótipo ♂, BRASIL. **Mato Grosso:** Chapada dos Guimarães, 1882-1884, 283, H. Smith col. (CMNH). Parátipos, BRASIL. **Mato Grosso:** ♀ Chapada dos Guimarães, 08- IX- 1978, J. Becker col. (RMNH); **São Paulo:** ♀ Santo Antônio da Posse, Fazenda Dona Amélia, 14- X- 1977, I. Sazima col. (UFRG).

Material adicional: **Mato Grosso:** ♂ Barracão queimado, IX1960, M. Alvarenga col.(UFRG).

Medidas (n= 4): Comprimento total: 17,0- 20,0; Largura abdominal: 10,5 -12,3; Comprimento total da cabeça: 2,6- 3,1; Largura da cabeça: 3,3- 3,6; Comprimento dos antenômeros: I: 0,6-1,0 mm; II: 1,2- 1,7; III: 1,6- 2,0 mm; IV: 3,4- 4,1; V: desconhecido; Comprimento do pronoto: 4,5 - 5,0; Largura do pronoto: 9,8 -11,4-; Comprimento do escutelo: 8,2- 9,8; Largura do escutelo: 6,1-7,2.

Diagnose: Superfície dorsal do corpo verde clara. Pontuação do corpo clara e cercada por pequenas manchas verdes intercaladas por áreas calosas amareladas, exceto no cório onde não existem as manchas verdes e a pontuação é mais escura e no conexivo que não tem áreas calosas entre os pontos. Superfície ventral amarela esverdeada. Antenas e pernas amarelas. Evaporatório pontuado. Placas mandibulares com ápice acuminado, levemente separados e não curvados ventralmente. Quarto

antenômero duas vezes maior que o terceiro. Processo metasternal com escavação atingindo no máximo o meio das mesocoxas. Parede ventral da taça genital do pigóforo com um par de escavações. Margem posterior dos gonogoxitos 8 fortemente projetada, aguda, alcançando ou passando a margem posterior dos gonocoxitos 9.

Cabeça: Placas mandibulares sulcadas transversalmente; pontuação castanha. Antenas não pontuadas, segundo antenômero maior que o primeiro e subigual ao terceiro, quarto cerca de duas vezes maior que o terceiro. Búculas pontuadas. Rostro alcança a bifurcação do processo metasternal, o qual acomoda o quarto segmento; primeiro segmento do rostro contido entre as búculas; segundo subigual ao terceiro e quarto juntos.

Tórax: Pronoto com pontuação clara; margem anterolateral emarginada, reta, levemente crenulada e com o ângulo anterolateral formando um pequeno dente. Propleura completamente pontuada. Cório com pontuação menor que no pronoto e escutelo. Clavo pontuado como o cório. Embólio rugoso e com pontuação igual ou maior que o restante do cório. Veias de mesma coloração que o cório; membrana do hemiélitro castanho. Processo metasternal não pontuado; atinge cerca da metade do mesosterno (Fig. 8E). Peritrema curto, não atingindo a metade da distância entre a abertura da glândula e a margem do corpo.

Abdome: Conexivo com pontuação fina, castanha e densa, ângulos pósterolaterais pouco desenvolvidos, formando dentes inconspícuos. Face dorsal castanho clara. Face ventral com pontuação profunda, dando um aspecto rugoso à superfície. Espiráculos elípticos. Um dos tricobótrios externo e o outro alinhado aos espiráculos.

Genitália do macho: Pigóforo trapezoidal, em vista dorsal (Fig. 8A). Bordo dorsal côncavo, não sulcado ou pontuado, escavação, ampla e profunda (Fig. 8A). Superfície ventral com pontuação grande e castanha no terço posterior; sulcado apenas na região central. Bordo ventral com uma escavação mediana não muito profunda, estreita na base, alargando-se em direção aos ângulos posterolaterais, delimitada por duas projeções levemente arredondadas e levemente intumescidas junto aos ângulos (Fig. 8B). Taça genital com um par de escavações circulares grandes e profundas na parede ventral (Fig. 8A). Parâmero intumescido, geniculado, não sulcado, direcionado anteriormente e com o ápice acuminado (Fig. 8C). Processo da taça genital posicionado junto ao bordo dorsal e à base do segmento X, intumescido, piriforme e levemente

côncavo (Fig. 8C). Segmento X com escavações laterais amplas e rasas, pilosidade esparsa e curta; face posterior com superfície irregular, inclinada e com uma carena mediana presente (Fig. 8C).

Genitália da fêmea (Fig. 8D): Gonocoxitos 8 quase planos e com pontuação esparsa e escura; margem posterior terminando em espinho que atinge o o terço basal dos laterotergitos 9; margens do bordo sutural discretamente afastadas até a base dos gonocoxitos 9 onde divergem até o espinho dos gonocoxitos 8. Gonapófises 8 não visíveis. Gonocoxitos 9 tão longos quanto largos e pouco convexos. Laterotergito 8 com pontuação densa e concolor; projeção posterior desenvolvida, terminando no mesmo nível que os laterotergitos 9; ápice com espinho pequeno. Laterotergitos 9 pontuado e afilados, ultrapassando a banda que une dorsalmente os laterotergitos 8.

Comentários: Silva et al. (2006) consideraram o quinto antenômero mais longo do que o quarto. No mesmo artigo descreveram *A. cerradensis* com o bordo ventral do pigóforo em “U” fechado e *A. chapadensis* em “V”. Neeste consideramos que o bordo ventral de *A. cerradensis* é estreito, alargando-se em direção ao ápice, formando um “V” e em *A. chapadensis* este é amplo semelhante a um “U”. *A. cerradensis* compartilha com *A. chapadensis* e *A. ovalis* a presença de pontuação no Evaporatório. Os machos de *A. cerradensis*, *A. chapadensis* e *A. ovalis* compartilham a forma retangular da face posterior do segmento X, enquanto as fêmeas destas espécies compartilham várias características que as distinguem das demais espécies de *Aceratodes*, tais como a projeção posterior dos gonogoxitos 8 triangular formando uma projeção espiniforme que alcança o nível da margem posterior dos gonocoxitos 9; laterotergitos 8 com projeção posterior formando um dente pouco mais pronunciado que nas demais espécies de *Aceratodes*; os laterotergitos 9 ultrapassando a banda que une dorsalmente os laterotergitos 8. Os machos de *A. aulacosternus*, *A. cerradensis*, *A. chapadensis* e *A. ovalis* compartilham a presença de carena mediana na face posterior do segmento X e processo da taça genital posicionado junto ao bordo dorsal. *A. cerradensis*, *A. luteovenulatus* e *A. ovalis* compartilham a superfície do corpo bastante rugosa com as áreas calosas altas e pontuação grande.

Distribuição (Fig. 24): **BRASIL:** Mato Grosso e São Paulo.

Aceratodes chapadensis (Silva, Fernandes e Grazia, 2006) COMB. NOVA

(Fig. 2E, 9, 24)

Edessa chapadensis Silva et al., 2006: 354.

Material-tipo examinado: Holótipo ♂, BRASIL. **Mato Grosso:** Chapada dos Guimarães, 09-X-1978, Becker col., 985 (MNRJ). Parátipos, BRASIL. **Mato Grosso:** ♀ Chapada dos Guimarães, Agosto, 2966 (CMNH).

Material adicional. BRASIL. **Mato Grosso:** ♂♀, Chapada dos Guimarães, IX-1963, M. Alvarenga col. (UFRG); ♂ (MNRJ); ♀ 01-II-1961, J. & B. Bechyně cols.(MPEG).

Medidas (n= 6): Comprimento total: 16,6 - 18,5; Largura abdominal: 10,6 - 12,1; Comprimento total da cabeça: 2,5 - 3,0; Largura da cabeça: 3,3 - 3,6; Comprimento dos antenômeros: I: 0,7 - 1,0; II: 1,5 - 1,7; III: 0,8 - 1,6; IV: 3,1 - 3,6; V: 3,5 - 3,8; Comprimento do pronoto: 4,0 - 5,0; Largura do pronoto: 6,4 - 11,5; Comprimento do escutelo: 7,5 - 8,6; Largura do escutelo: 6,1 - 7,0.

Diagnose: Superfície dorsal amarela esverdeada, exceto conexivo, avermelhado; superfície ventral, pernas e antenas amarelas. Pontuação da cabeça formando quatro linhas que partem da base e se estendem até perto do ápice, passando pelas placas mandibulares e margens do clipeo. Pontuação do restante do corpo densa, concolor ou escura. Pronoto e escutelo levemente enrugados. Evaporatório pontuado. Quarto antenômero cerca do dobro do terceiro. Margem anterolateral do pronoto crenulada. Processo metasternal com escavação ultrapassando as mesocoxas; braços afastados e divergentes. Parede ventral do pigóforo com escavação ovalada. Margem posterior dos gonocoxitos 8 com uma projeção espiniforme que se projeta além do limite posterior dos gonocoxitos 9.

Cabeça: Placas mandibulares sulcadas transversalmente e com o ápice não curvado. Antenas não pontuadas; segundo antenômero maior que o primeiro e que o terceiro, quarto antenômero mais que o dobro do terceiro e menor que o quinto. Búculas pontuadas. Rostro alcança a bifurcação do processo metasternal, o qual acomoda o

quarto e parcialmente o terceiro segmento; primeiro segmento do rostró mais longo que as búculas, atingindo o início do tórax, segundo subigual ao terceiro e quarto reunidos.

Tórax: Pronoto com a margem anterolateral reta, levemente emarginada, sulcada transversalmente; ângulo anterolateral formando um dente inconspícuo. Propleura completamente pontuada e sulcada. Cório com pontuação menor e mais densa que no pronoto e escutelo. Clavo pontuado igualmente ao cório. Veias de mesma coloração que o cório; membrana do hemiélitro castanha. Processo metasternal não pontuado, atingindo o terço posterior do mesosterno (Fig. 9E). Peritrema ocupa cerca da metade da distância entre a abertura da glândula e a margem do corpo. Pernas não pontuadas.

Abdome: Conexivo com pontuação fina, concolor e densa; ângulos pósterolaterais pouco desenvolvidos, formando dentes pequenos. Face dorsal castanho clara. Face ventral com pontuação fina e densa. Espiráculos elípticos. Tricobótrios externos a linha dos espiráculos.

Genitália do macho: Pigóforo sub-retangular, em vista dorsal (Fig. 9A). Bordo dorsal com pontuação esparsa, fina e concolor na região mediana; abertura ampla, deixando a taça genital completamente visível (Fig. 9A). Face ventral densamente pontuada no terço posterior. Bordo ventral com uma escavação mediana pouco profunda e ampla, delimitada por duas projeções arredondadas, bem desenvolvidas e intumescidas junto ao ângulos posterolaterais (Fig. 9B). Taça genital com um par de escavações ovaladas e profundas próximas ao bordo ventral (Fig. 9C). Parâmero intumescido, geniculado, direcionado para a região anterior, com o ápice não bifurcado e acuminado; não sulcado (Fig. 9C). Processo da taça genital posicionado junto ao bordo dorsal, intumescido, piriforme, base com uma pequena projeção lateral (Fig. 9C). Segmento X com escavações laterais amplas, rasas e com uma pilosidade curta e esparsa; face posterior levemente intumescida, inclinada, irregular, carena mediana presente (Fig. 9C).

Genitália da fêmea (Fig. 9D): Gonocoxitos 8 levemente convexos, lateralmente côncavos; sulcados; com pontuação escura e esparsa; margem posterior fortemente acuminada; escavação do bordo sutural divergente a partir da base dos gonocoxitos 9. Gonapófises 8 pouco visíveis. Gonocoxitos 9 não pontuados e convexos. Laterotergitos 8 convexos, com pontuação esparsa e concolor; projeção desenvolvida, dente distal

pequeno e concolor com a margem da placa. Laterotergitos 9 não pontuado, ultrapassando a banda que une dorsalmente os laterotergitos 8.

Comentários: *A. chapadensis* se assemelha a *A. cerradensis* (ver comentários dessa espécie). Essas duas espécies e *A. ovalis* apresentam o primeiro segmento do rostró mais longo que as búcúlas. *A. chapadensis* apresenta aescavação mediana do bordo ventral mais ampla, em forma de “U”, enquanto em *A. cerradensis* e *A. ovalis* a escavação é mais estreita na base, em forma de “V”. Essa espécie compartilha com *A. aulacosternus* a superfície do pronoto e parte do escutelo menos rugosa que nas outras espécies, pois as áreas calosas são menores e mais baixas e a pontuação menor e mais rasa.

Distribuição (Fig. 24): **BRASIL:** Mato Grosso.

Aceratodes meditabundus (Fabricius, 1794)

(Figs. 2F, 10)

Cimex meditabundus Fabricius, 1794: 113; Coquebert, 1801: 81; Fabricius, 1803: 169.

Cimex glaucescens Fabricius, 1798: 535; Fabricius, 1803: 175; Stål, 1872: 58.

Edessa meditabunda; Herrich-Schäffer, 1844: 773; Stål, 1868: 37; 1872: 58; Distant, 1887: 65; 1900: 429; Lethierry & Severin, 1893: 191; Breddin, 1904: 152; Kirkaldy, 1909: 160; Rizzo, 1971: 272; Callan et al. 1948: 119.

Aceratodes meditabundus; Stål, 1858: 28; Walker, 1868: 45.

Pentatoma (Aceratodes) meditabunda; Guérin, 1857: 337.

Edessa consentanea Walker, 1868: 450; Lethierry & Severin, 1893: 189; Kirkaldy, 1909: 160.

Edessa rugulosa Uhler 1894: 177; Kirkaldy, 1909: 160.

Edessa metatibunda Thunbg Van Duzee, 1901: 346.

Edessa cogitabunda Breddin, 1904: 153; 1908: 178; Kirkaldy, 1909: 156; Pirán, 1948: 11. **SINÔNIMO NOVO.**

Material : JAMAICA. **Saint Elizabeth:** ♀ 3min N. BLK River, 17-IV-1975, Enqliman (UNL). REPÚBLICA DOMINICANA. **Espailat:** ♂ 15 Km W Rio Sal, 28-V-1978, O'Brien, (UNL). VENEZUELA. **Cojedes:** ♀♂ Camoruco, 15-X-1961, L. A. Salas col. (MIZA). **Trujillo:** ♀♂ Monay, El Cenizo, 30-IX-1950, (MIZA). TRINIDAD E TOBAGO. **Saint. George:** ♂ Piarco, 19-III-1975, R. M. Barandwsky, F. Carrasco Z. Cuzco, Perú, D. A. Rider Collection (DAR). PERU. **Cuzco:** 2♀ convencion cusco 1577, 09-X-1969, F. Carrasco col. (UFRG). BRASIL. **Pará:** ♀ Tucuruí, UHE, 25-VII-2006, E. Wanzeler col. (UFRG). **Pernambuco:** ♀♂ Recife, Dois irmãos, algodoeiro, 22-IV-1998, L. C. M. N. Alves col. (UFRG). **Mato Grosso:** 3♀ 2♂ Campo Novo do Parecis, Fazenda São Paulo, Toceira de "capim Margoso", 03-IX- 2007 (UFRG); ♀♂ (RMNH); ♀Querência, Fazenda Tanguro, TAM-MT, Aleatório, 26-V-2006 (UFRG). **Rio de Janeiro:** ♀ Campos dos Goytacazes, em braquiária, IV-1999, Coracini col.(MNRJ). **São Paulo:** 2 ♂ MRAZ LGT- Museu Pragense (UFRG). **Rio Grande do Sul:** 3♂ Turvo, Parque Estadual do Turvo, Campestre, Estrada do Saltinho, 16-IV-1983, S. L. Bonatto col. (UFRG); ♂ Poa, XII-1983, R. Hildebrnd col. (UFRG). URUGUAI. **Maldonado:** ♀ Piriápolis, Punta Colorada, 17-II-1997, P. Araújo col. (UFRG).

Medidas (n= 36): Medidas: Comprimento total: 10 - 13,88; Largura abdominal: 6,7 - 8,7; Comprimento da cabeça: 1,4 - 2,2; Largura da cabeça: 2,3 - 2,7; Comprimento dos antenômeros: I: 0,4 - 0,6; II: 0,6-1,2; III: 1,1 - 1,7; IV: 1,3 - 2,1; V: 1,7 - 2,5; Comprimento do pronoto: 2,2 - 3,5; Largura do pronoto: 6,3 - 8,5; Comprimento do escutelo: 4,7 - 6,5; Largura do escutelo: 4,1 - 5,3.

Diagnose: Superfície dorsal verde, exceto o cório castanho e as margem das placas mandíbulares, do pronoto e embólio amarelo-pálidos. Superfície ventral do corpo amarela; tórax com pontuação castanha e algumas linhas escuras sobre fileiras de pontos; abdômen com pontuação densa e concolor, áreas intersegmentares e cicatrizes escuras. Antenas e pernas amarelas. Quarto antenômero subigual ou pouco maior que o terceiro. Evaporatório com duas manchas calosas amarelo-claras. Processo metasternal com escavação curta que atinge no máximo o meio das mesocoxas; braços da bifurcaçãodivergentes. Processo da taça genital elíptico, côncavo e com duas projeções digitiformes. Margem distal dos gonocoxitos 8 com um dente na margem do bordo sutural, este com uma escavação profunda e ampla.

Cabeça: Placas mandibulares sulcadas transversalmente, com pontuação esparsa e concolor; ápice levemente curvado ventralmente. Antenas não pontuadas. Antenômeros em ordem crescente de comprimento do primeiro ao quinto. Búculas pontuadas. Rostro alcança a bifurcação anterior do processo metasternal, o qual acomoda o quarto e parcialmente o terceiro segmento; primeiro segmento do rostro tão longo quanto as búculas, segundo subigual ao terceiro e quarto reunidos.

Tórax: Pronoto com pontuação densa, homogênea e castanha. Margem anterolateral não emarginada, reta e lisa; ângulo anterolateral formando um dente muito pequeno. Propleura com pontuação na metade posterior, uma linha junto a margem lateral e duas linhas negras quase paralelas. Escutelo com pontuação na metade anterior igual a do pronoto e mais fina e densamente distribuída no restante. Cório com pontuação densa e menor que no resto do dorso; coloração uniformemente castanha ou com manchas amarelas. Clavo pontuado como o cório; coloração mais clara que a do cório junto ao escutelo. Veias de mesma coloração que o cório; membrana do hemiélitro castanha. Processo metasternal não pontuado; bifurcação anterior do processo atingindo no máximo 3/5 do mesosterno (Fig.10E). Evaporatório não pontuado, de mesma coloração que a superfície ventral, exceto por duas áreas distais mais escuras. Peritrema ocupa cerca de 3/5 da distância entre a abertura da glândula e a margem do corpo. Pernas não pontuadas.

Abdome: Conexivo com pontuação fina, concolor e densa; ângulos pósterolaterais não desenvolvidos. Face dorsal castanha. Face ventral com pontuação densa, homogênea e concolor, exceto na área mediana que não possui pontuação. Espiráculos elípticos. Tricobótrios praticamente alinhados com os espiráculos.

Genitália do macho: Pigóforo retangular, em vista dorsal (Fig. 10A). Bordo dorsal levemente sulcado, escuro e com textura áspera. Superfície ventral densamente pontuada no terço posterior, pontuação escura ou concolor. Bordo ventral com uma escavação mediana rasa, delimitada por duas projeções grandes, acuminadas e levemente intumescidas se aproximam do nível dos ângulos pósterolaterais, em vista ventral (Fig. 10B). Processo da taça genital posicionado junto ao bordo dorsal, achatado, triangular, com a margem escura; margem ventral com uma projeção dentiforme (Fig. 10C). Parâmero triangular, amplo, sulcado, com a margem escura; projeção posterior levemente curvada lateralmente (Fig. 10C). Segmento X com

escavações laterais amplas e profundas que provocam um estreitamento da face dorsal, pubescência esparsa e curta; face posterior emarginada, escavada e com pelos esparsos (Fig. 10C).

Genitália da fêmea (Fig. 10D): Gonocoxitos 8 convexos na metade lateral; pontuação densa; margem posterior acuminada e escavação do bordo sutural ampla e profunda. Gonapófises 8 parcialmente visíveis. Gonocoxitos 9 convexos e não pontuado. Laterotergitos 8 com pontuação densa e concolor; projeção posterior desenvolvida e com um dente inconspícuo. Laterotergitos 9 não pontuados; fortemente escavados na base; acuminado, ultrapassando ou não a banda que une dorsalmente os laterotergitos 8.

Comentários: *A. meditabundus* possui padrão de coloração parecido com o de *A. brasiliensis* e *Aceratodes* sp nova 1. Compartilhada com *A. sternalis* a forma do processo da taça genital. *A. meditabundus* e *Aceratodes* sp. nova 1 apresentam o bordo sutural com escavação ampla e profunda, em mais da metade da superfície dos gonocoxitos 8, porém menor em *A. meditabundus*. Essa espécie não aparece nos mapas de distribuição, pois é amplamente distribuída nas Américas do Sul e Central. Tal fato está relacionado a capacidade desta espécie em se adaptar a áreas antropizadas. Os indivíduos se alimentam de uma ampla variedade de plantas, principalmente solanáceas, e vivem sobre várias plantas cultivadas. Junto com *Aceratodes rufomarginatus* e *Edessa loxdalii* Westwood, 1837 são as espécies mais comuns em coleções entomológicas.

Distribuição: **JAMAICA:** Saint Elizabeth. **REPÚBLICA DOMINICANA:** Espailat. **VENEZUELA:** Trujillo, Cojedes. **TRINIDAD E TOBAGO:** Saint. George. **PERU:** Cuzco. **BRASIL:** Pará, Mato Grosso, Pernambuco, Rio de Janeiro, São Paulo. Rio Grande do Sul. **URUGUAI:** Maldonado.

Aceratodes sternalis (Breddin, 1903) **COMB. NOVA**

(Figs. 2 G, 11, 25)

Edessa sternalis Breddin, 1903: 123; Kirkaldy 1909: 165; Froeschner, 1981:67.

Material-tipo: Lectótipo macho: Santa Inez Equador (SDEI). Paralectótipo ♀ mesmos dados (SDEI).

Material adicional: EQUADOR. **Napo:** ♂ Santa Cecília, 20-22 - 07 -1966, C. R. Patrick col. (JEE). **Tungurahua:** ♀ Baños, R. Haensch, From Rolle EPV, Van Duzee Collection comparado com o paralectótipo (CAS); ♂♀ San Juan Batista de Ambato, 1989, Noualhier col., comparado com o tipo (UFRG).

Medidas (n= 4): Comprimento total: 11,7 - 11,8; Largura abdominal: 7,1 - 7,7; Comprimento total da cabeça: 2,0 - 2,1; Largura da cabeça: 2,5 - 2,6; Comprimento dos antenômeros: I: 0,5 - 0,7; II: 1,0 - 1,1; III: 1,3 - 1,5; IV: 2,0; V: 2,4; Comprimento do pronoto: 2,4 - 2,8; Largura do pronoto: 6,8 - 2,8; Comprimento do escutelo: 5,0 - 5,3; Largura do escutelo: 4,3 - 4,7.

Diagnose: Superfície dorsal da cabeça e do corpo castanho-esverdeado, mais claro no conexivo e amarelo-pálido nas margens das placas mandíbulares, do pronoto e do cório. Face ventral uniformemente castanha; abdome com uma faixa larga de pontos negros que passa sobre os espiráculos; áreas intersegmentares, cicatrizes abdominais e várias linhas no tórax de cor negra. Embólio mais claro que o cório e com pontuação mais escura. Antenas e pernas amareladas. Corpo recoberto por pontuação densa e negra, inclusive sobre processo metasternal, evaporatório, antenas e pernas. Mesosterno delimitado por uma linha negra pontuada. Processo metasternal muito curto, atrofiado, escavação alcançando as mesocoxas.

Cabeça: Placas mandíbulares sulcadas transversalmente, com pontuação esparsa, e ápice reto. Antenômeros em ordem crescente de comprimento do primeiro ao quinto, com o quarto pouco maior que o terceiro antenômero. Búculas pontuadas. Rostro alcança a bifurcação do processo metasternal, o qual acomoda o quarto segmento; primeiro segmento do rostro contido entre as búculas, ultrapassando apenas um pouco seu comprimento, segundo subigual ao terceiro e quarto reunidos.

Tórax: Pronoto densamente pontuado; margem anterolateral emarginada e reta, levemente crenulada; ângulo anterolateral formando um dente inconspícuo. Propleura totalmente pontuada, e com três linhas negras pontuadas. Escutelo densamente pontuado, região posterior com pontuação menor que na anterior; sulcado transversalmente. Cório com pontuação densa e menor que no resto do dorso torácico. Clavo pontuado como o cório, pode ser ou não mais claro que o restante. Embólio rugoso, com pontuação grosseira. Veias de mesma coloração que o cório; membrana do hemiélitro castanha. Processo metasternal com pontuação densa e profunda; bifurcação

anterior muito pequena, braços achatados junto ao ápice, no máximo atingem a margem anterior das mesocoxas; base da bifurcação tão ou mais estreita que ao largura do rostro (Fig. 11E). Evaporatório pontuado, pouco mais escuro que o resto do tórax e fortemente enrugada. Peritrema ocupa cerca da metade da distância entre a abertura da glândula e a margem do corpo.

Abdome: Conexivo com pontuação fina, escura e densa; ângulos pósterolaterais não desenvolvidos. Face dorsal castanha a negra. Face ventral com pontuação fina. Espiráculos arredondados e colocados sobre calosidades amarelas. Um dos tricobótrios externo e o outro alinhado aos espiráculos.

Genitália do macho: Pigóforo subcilíndrico; retangular, em vista dorsal (Fig. 11A). Bordo dorsal escuro e áspero; levemente projetado sobre a taça genital (Fig. 11A). Ângulo pósterolateral pouco projetado (Fig. 11A). Face ventral túmida com pontuação robusta, negra, densa e sulcos no terço posterior. Bordo ventral com uma escavação mediana rasa e ampla, delimitada por duas projeções acuminadas bem desenvolvidas e pouco túmidas (Fig. 11B). Parâmero triangular, amplo, sulcado, com a projeção anterior afilada e longa, quase tocando o bordo dorsal; projeção posterior curta, fendida e levemente curvada lateralmente (Fig. 11C). Processo da taça genital posicionado junto ao bordo dorsal, triangular e escavado, possui duas projeções afiladas uma dirigida dorsalmente e outra ventralmente (Fig. 11C). Segmento X com escavações laterais profundas e amplas, provocando o surgimento de uma quilha dorsal antes da face posterior; escavação recoberta por pubescência densa e longa; face posterior triangular, emarginada, plana e parcialmente pontuada (Fig. 11C).

Genitália da fêmea (Fig. 11D): Gonocoxitos 8 levemente convexos e inclinados; pontuação densa; margem posterior arqueada e formando pequenos dentes na base dos gonocoxitos 9; escavação do bordo sutural profunda e ampla, tão larga quanto os gonocoxitos 9. Gonapófises 8 parcialmente visíveis. Gonocoxitos 9 convexos e não pontuados. Laterotergitos 8 com pontuação densa e negra; fortemente convexo junto aos laterotergitos 9; projeção posterior desenvolvida e sem um dente distal. Laterotergitos 9 não pontuados; fortemente escavados na base; não ultrapassam a banda que une dorsalmente os laterotergitos 8.

Comentários: *Acaratodes sternalis* e *A. piperitia* apresentam os braços da bifurcação do processo metasternal curtos, porém muito mais reduzido em *A. sternalis*.

Essa espécie apresenta escavação do bordo sutural dos gonocoxitos 8 ampla e profunda, como em *A. meditabundus* e *Aceratodes* sp. nova 1 porém alcançando menos da metade do bordo sutural. Compartilha com *A. piperitius*, *A. mexicanus* e *A. sp. nova 1* a presença de pontuação no processo metasternal, porém em *A. sternalis* a pontuação é mais profunda. Compartilha com *A. sp. nova 1* e *A. mexicanus* pernas pontuadas, porém mais tênues em *A. sternalis*. O processo da taça genital e forma do segmento X dos machos de *A. sternalis* e *A. meditabundus* são mais similares entre si do que com outras espécies de *Aceratodes*.

Distribuição (Fig. 25): EQUADOR: Napo, Tungurahua.

Aceratodes mexicanus (Stål, 1872) COMB. NOVA

(Figs. 2H, 12, 25)

Edessa mexicana Stål, 1872: 59; Distant, 1881: 95; Lethierry & Severin, 1903: 192; Kirkaldy 1909: 160.

Material-tipo examinado: Lectótipo ♂. MÉXICO. Oaxaca, Sallé (NHRM) Aqui designado. Paralectótipo ♀. Mesmos dados lectótipo (NHRM).

Material adicional. MÉXICO. **Guerrero:** ♂♀ Omilteme, 8000 ft (comparado com o tipo), Julho, H.H. Smith col., Distant Coll. 1911 – 383 (BMNH). **Michoacan:** ♂ Patzcuaro, 14-VIII-1982, 7700m de Patzcuaro, 71mi. W., C. W. & L. O'Brien & G. Wibmer cols. (UFRG).

Medidas (n= 3): Comprimento total: 12,7 - 13,5; Largura abdominal: 7,0 - 7,6; Comprimento total da cabeça: 1,8 - 2,3; Largura da cabeça: 2,4 - 2,6; Comprimento dos antenômeros: I: 0,5 - 0,6; II: 1,1 - 1,2; III: 1,2 - 1,4; IV: 1,6 - 1,7; V: 2,0; Comprimento do pronoto: 2,3 - 2,6; Largura do pronoto: 6,5 - 7,5 ; Comprimento do escutelo: 4,7 - 5,3; Largura do escutelo: 3,8 - 4,4.

Diagnose: Superfície dorsal da cabeça, pronoto e escutelo verde escuro, contrastando com a coloração castanha da maior parte do cório. Superfície ventral verde amarelada. Corpo densamente pontuado, inclusive sobre o processo metasternal, evaporatório, pernas, rostro e antenas; pontuação negra e grande, em alguns locais recoberta por uma mancha circular maior que o ponto. Antenas mais escuras no ápice

do último antenômero. Escavação do processo metasternal atingindo o meio das mesocoxas, braços da bifurcação divergentes. Espiráculos circulares.

Cabeça: Placas mandibulares com pontuação esparsa, sem sulcos e com o ápice curvado ventralmente. Segundo antenômero maior que o primeiro e subigual ao terceiro, quarto pouco maior que o terceiro e menor que o quinto. Búculas pontuadas. Rostro alcançando a bifurcação anterior do processo metasternal, o qual acomoda o quarto e parcialmente o terceiro segmento; primeiro segmento tão longo quanto as búculas, segundo subigual ao terceiro e quarto reunidos.

Tórax: Pronoto com margem anterolateral emarginada, reta, com o ângulo anterolateral formando um dente inconspícuo. Propleura com pontuação esparsa. Cório com pontuação mais densa que nos demais segmentos, inclusive no clavo. Embólio mais claro e com pontuação de tamanho menor e mais esparsas que no restante do cório. Veias de mesma coloração que o cório. Membrana do hemiélitro castanha. Processo metasternal atinge cerca da metade do mesosterno (Fig. 12E). Evaporatório com pontuação fina e esparsa. Peritrema curto, não atingindo a metade da distância entre a abertura da glândula e a margem do corpo. Pernas amareladas, com pontuação robusta e densa.

Abdome: Conexivo com pontuação robusta; ângulos póstero-laterais pouco desenvolvidos, formando dentes inconspícuos. Face dorsal negra. Face ventral com pontuação negra e robusta. Tricobótrios externos a linha dos espiráculos.

Genitália do macho: Pigóforo sub-retangular em vista dorsal (Fig. 12A). Bordo dorsal escuro, pontuado e densamente sulcado. Face ventral densamente pontuada no terço posterior, com pontuação negra e robusta. Bordo ventral com uma escavação mediana rasa e estreita, alargando-se em direção aos ângulos posterolaterais; projeções pouco desenvolvidas e não intumescidas (Fig. 12B). Parâmero laminar; projeção anterior subretangular e ampla; projeção posterior menor, fendida e levemente curvada lateralmente (Fig. 12C). Processo da taça genital bífido, formado por uma parte dorsal arredondada, túmida e levemente escavada no ápice, e outra ventral achatada e torcida encostando-se no parâmero (Fig. 12C). Segmento X com escavações laterais estreitas e profundas, recobertas por pubescência densa; face posterior triangular, emarginada, declivente com carena mediana presente apenas na região superior; sulcada na inferior (Fig. 12C).

Genitália da fêmea (Fig. 12D): Gonocoxitos 8 convexos, não rugosos, pontuação negra; margem posterior suavemente curvada, formando medianamente um dente grande que se projeta sobre os gonocoxitos 9; escavação do bordo sutural grande e elíptica, deixando visível parte das gonapófises 8. Gonocoxitos 9, com carena mediana presente, e fortemente pontuados. Laterotergitos 8 com pontuação densa e concolor; projeção posterior pouco desenvolvida, formando um dente pequeno. Laterotergitos 9 com pontuação densa; anteriomernte escavado; ápice arredondado, ultrapassando a banda que une dorsalmente os laterotergitos 8.

Comentários: A série original de sintipos é formada por um casal, sendo o macho designado aqui como lectótipo. Compartilha com *A. sternalis* e *A. sp. nova 1* a forma circular dos espiráculos, processo metasternal e pernas pontuados. Compartilha com *A. sp. nova 1* antenas pontuadas e bicolores em ambas as espécies, porém *A. mexicanus* possui apenas a metade do quinto antenômero escurecida, enquanto em *A. sp. nova 1* mais segmentos são escuros. Compartilha com as espécies citadas acima e com *A. meditabundus* o padrão de recorte do bordo sutural arredondado com a margem superior formando um dente que avança sobre os gonocoxitos 9.

Distribuição (Fig. 25): **MÉXICO:** Guerrero, Michoacan e Oaxaca.

Aceratodes sp nova 1

(Figs. 2I, 13, 25)

Material: BRASIL. **Minas Gerais:** ♀ Poços de Caldas, Morro de Ferro, 1265, 20- III -1965. J. Becker col. (RMNH); ♂ 569, 13- I-1983. J. Becker & O. Leonchi cols. (MNRJ). **Paraná:** ♂ Pinhão, Usina Hidroelétrica de Segredo, 22-XI-1991, R. Pinto da Rocha col.(UFRG). **Santa Catarina:** ♀ São Bento do Sul, 3449, I-1914, Coleção Adolpho Lutz (MZUSP); ♂3452, III-1914 (MZUSP); ♂ Mafra, 10-16-IV-1990, J. E. Eger collection (JEE); ♀ 1 mi. E. Ponte Serrada, 01-III-1980. D. B. Thomas (DBT). **Rio Grande do Sul:** ♀ São Francisco de Paula, Instituto Nacional Pinho, 21-XII-1959 (MCNZ); ♀ C. Volkmer col.(MCNZ); ♀ J. Petersacol. (MCNZ); ♀ 28-III-1959, Pereira, Ditadi, Petersen, Meyer, Volkmer cols. (MCNZ); ♂ São Francisco de Paula, FLONA, 17-19-VII-2005. P.R.S. Bunde(UFRG); ♀ Trilha 2, varredura, 09-IV-2006, A. Ferrari, & L. M. Weiler cols. (UFRG); trilha3, Estrada da Torre, guarda-chuva , 06-III-

2010, L. M. Weiler cols. (UFRG); ♂ T4, 18- III- 2007, L. M. Weiler cols. (UFRG); ♂ 20-21- XII- 2007. L. Moura cols. (UFRG).

Medidas (n=16): Medidas: Comprimento total: 11,0 - 13,22; Comprimento da cabeça: 1,7 - 2,1; Largura da cabeça: 2,4 - 2,7; Largura abdominal: 7,4 - 8,8; Comprimento dos antenômeros: I: 0,5 - 0,7; II: 0,8 - 1,2; III: 1,1 - 1,8; IV: 1,6 - 2,0; V: 2,2 - 2,5; Comprimento do pronoto: 2,4 - 3,1; Largura do pronoto: 5,5 - 8,3; Comprimento do escutelo: 4,5 - 5,7; largura do escutelo: 4,3 - 5,0.

Diagnose: Superfície dorsal verde clara; cório castanho; margens das placas mandibulares, do pronoto e embólio amarelo pálido. Face ventral do corpo amarelo-esverdeada; regiões intersegmentares, cicatrizes abdominais, uma linha escura na propleura e outra sobre o evaporatório. Antenas amarelas, ápice do terceiro antenômero, 2/3 do quarto e 2/3 do quinto antenômeros escuros; pontuação até o início do quarto antenômero. Superfície ventral e dorsal do corpo com pontuação escura. Pernas concolores com o corpo e fracamente pontuadas. Embólio com pontuação grosseira e profunda. Evaporatório e processo metasternal pontuados. Processo metasternal com braços curtos e atingindo as mesocoxas. Gonocoxitos 8 com a escavação do bordo sutural profunda e quase tão larga quanto os gonocoxitos 9, quase atingindo a base dos gonocoxitos 8.

Cabeça: Placas mandibulares com pontuação esparsa, sulcadas transversalmente e levemente curvadas no ápice. Antenômeros em ordem crescente de comprimento do primeiro ao quinto, quarto pouco maior que o terceiro. Rostro alcança a bifurcação do processo metasternal, o qual acomoda o quarto e parcialmente o terceiro segmento; primeiro segmento do rostro tão longo quanto à búculas, segundo subigual ao terceiro e quarto reunidos.

Tórax: Pronoto com pontuação esparsa; margem anterolateral levemente emarginada e subretilínea, ângulo anterolateral formando um dente muito pequeno. Propleura completamente pontuada e com uma faixa escura próxima da margem. Mesosterno delimitado por faixas escuras. Escutelo com pontuação maior e mais esparsa na metade anterior. Clavo com pontuação menor ou igual que no restante do cório. Veias de mesma coloração que o cório. Membrana do hemiélitro castanha. Processo metasternal com bifurcação anterior do processo com braços levemente

divergentes, alcançando 3/5 do mesosterno (Fig. 13E). Peritrema ocupa da metade até cerca de 3/5 da distância entre a abertura da glândula e a margem do corpo.

Abdome: Conexivo com pontuação fina, concolor e densa; no meio de cada segmento ocorre uma mancha calosa amarela; ângulos póstero-laterais pouco desenvolvidos, formando um pequeno dente escuro no sétimo segmento. Face dorsal negra. Face ventral com pontuação robusta e densa. Espiráculos ovalados. Um dos tricobótrios externo e o outro alinhado aos espiráculos. Espiráculos e tricobótrios sobre áreas calosas amarelas.

Genitália do macho: Pigóforo retangular, em vista dorsal (Fig. 13A). Bordo dorsal escuro, superfície áspera; levemente projetado posteriormente e levemente emarginado próximo aos ângulos póstero-laterais. Metade posterior da superfície ventral sulcada e com pontuação robusta, escura e densa. Bordo ventral com uma escavação mediana rasa, estreita na base, alargando-se em direção a duas projeções arredondadas, desenvolvidas e levemente intumescidas (Fig. 13B). Parâmero amplo, triangular, sulcado; formado por uma projeção grande e acuminada dirigida anteriormente e outra posterior pequena, triangular e levemente curvada lateralmente (Fig. 13C). Processo da taça genital posicionado junto ao bordo dorsal, intumescido, elíptico e sulcado medianamente. Segmento X com escavações laterais profundas e largas, causando uma constrição na face dorsal; pilosidade densa e longa (Fig. 13C); face posterior triangular, emarginada, declivente e plana.

Genitália da fêmea (Fig. 13D): Gonocoxitos 8 convexos; pontuação densa e homogênea; margem posterior convexa terminando ou não em um dente sobre os gonocoxitos 9. Gonapófises 8 visíveis. Gonocoxitos 9 convexos, com carena mediana presente e pontuado. Laterotergitos 8 convexos; com pontuação robusta; projeção posterior pouco desenvolvida, formando um pequeno dente. Laterotergitos 9 com pontuação fina e esparsa; fortemente escavado na base; ultrapassa pouco a banda que une dorsalmente os laterotergitos 8.

Comentários: *Aceratodes* sp nova 1 se assemelha bastante a *A. meditabundus*, por seu tamanho e padrão de coloração. No entanto é facilmente diferenciada desta por apresentar pontuações escuras e fortes por todo o corpo, inclusive nas pernas e antenas; antenas com parte dos três últimos artículos escuros; bordo ventral do pigóforo com

escavação mais ampla e profunda; ângulos póstero-laterais do sétimo segmento nas fêmeas e laterotergitos 8 escurecidos dorsalmente na espécie nova.

Distribuição (Fig. 25): **BRASIL**: Minas Gerais, Paraná, Santa Catarina, Rio Grande do Sul.

Aceratodes piperitius (Westwood, 1837)

(Figs. 3A, 14, 26)

Edessa piperitia Westwood, 1837: 29; Stål, 1872: 59; Bergroth, 1891: 234; Lethierry & Severin, 1893: 193; Bergroth, 1905: 8; Breddin, 1907: 343; Kirkaldy, 1909: 162.

Aceratodes piperitius; Dallas, 1851: 336; Walker, 1868: 454.

Edessa nigropunctata Berg, 1884: 32; 1892: 48; Lethierry & Severin, 1893: 192; Kirkaldy, 1909: 161; Silva et al., 2006: 350.

Material: BRASIL; ♂(MLPA); ♀(comparada com o tipo) (UFRG) ♀ 72176, 18'587 (MZUSP). **Pernambuco**: ♂ XII-2005, 5PZ. (UFRG). **Rio de Janeiro**: ♂♀ Nova Friburgo, Mury, XII-1980, Gred & Guimarães cols.(MZUSP). **São Paulo**: ♀ Itú, Fazenda, Fazenda Pau d'alho, 27-XII-1959, U. Martins col. (MZUSP). **Rio Grande do Sul**. ♂ Cambará do Sul, Fundo do Canyon, 29-XII-1983-03-I-1984, S. L. Bonatto col. (UFRG). ARGENTINA. **Entre Rios**: ♀ Pronunciamento, XII-1964, F. H. Walz col. (RMNH).

Medidas (n= 7): Comprimento total: 14,2 - 16,8 ; Largura abdominal: 9,4 - 11,3; Comprimento total da cabeça: 2,3 - 2,5; Largura da cabeça: 2,3 - 2,5 ; Comprimento dos antenômeros: I: 0,7 - 0,8; II: 1,0 - 1,1; III: 1,2 - 1,6; IV: 2,0 - 2,4; V: 2,8 - 3,1; Comprimento do pronoto: 3,3 - 4,0; Largura do pronoto: 8,5 - 10,0; Comprimento do escutelo: 6,2 - 7,5; Largura do escutelo: 5,0 - 6,4.

Diagnose: Superfície dorsal castanha esverdeada. Superfície ventral mais clara que a dorsal. Embólio com coloração mais clara e pontuação mais esparsa que no restante do cório. Antenas amareladas. Pernas de mesma cor que o corpo. Pontuação negra cercada por pequena mancha também negra, recobrimdo o corpo incluindo o evaporatório, processo metasternal e pernas. Conexivo com duas manchas escuras por

segmento, formadas pela justaposição da pontuação, sendo o restante da superfície não pontuada. Processo metasternal com braços da bifurcação curtas e divergente, escavação atingindo no máximo a linha anterior das mesocoxas. Pigóforo subcilíndrico; bordo dorsal do pigóforo intumescido próximo aos ângulos póstero-laterais.

Cabeça: Placas mandibulares com pontuação densa, sulcadas transversalmente, levemente curvadas ventralmente no ápice. Antenas não pontuadas; antenômeros em ordem crescente de comprimento do primeiro ao quinto, quarto antenômero não chega ao dobro do comprimento do terceiro. Búculas pontuadas. Rostro alcança a bifurcação anterior do processo metasternal, o qual acomoda parcialmente o quarto segmento; primeiro segmento do rostro pouco mais longo que as búculas, segundo menor que o terceiro e quarto juntos.

Tórax: Pronoto com Margem anterolateral emarginada, levemente dobrada dorsalmente e sulcada; ângulo anterolateral com um dente muito pequeno. Propleura com pontuação esparsa. Cório com pontuação densa, de mesmo tamanho ou menor que no resto do dorso torácico. Clavo com pontuação igual a do cório. Veias de mesma coloração que o cório; membrana do hemiélitro castanho. Processo metasternal com braços da bifurcação curtos, atingindo apenas $\frac{1}{4}$ do mesosterno (Fig. 14E). Peritrema ocupa pouco mais do que a metade da distância entre a abertura da glândula e a margem do corpo.

Abdome: Conexivo com ângulos póstero-laterais pouco desenvolvidos; uma mancha anterior e outra mediana sem pontuação e clara. Face dorsal negra. Face ventral com pontuação densa. Espiráculos circulares. Tricobótrios alinhados aos espiráculos.

Genitália do macho: Pigóforo retangular, em vista dorsal (Fig. 14A). Bordo dorsal escuro e áspero, com uma pequena constrição logo após uma leve projeção arredondada (Fig. 14A). Face ventral fortemente convexa; pontuação negra e esparsa no terço posterior. Bordo ventral com uma escavação mediana profunda, alargando-se em direção a um par de projeções intumescidas e acuminadas que passam o nível dos ângulos póstero-laterais em vista ventral (Fig. 14B). Parâmero túmido, sulcado e bifurcando-se no ápice, com projeções semelhantes, curtas e com ápice arredondado, sendo uma dirigida anteriormente e a outra lateralmente (Fig. 14C). Processo da taça genital, pequeno, achatado, bífido, com projeções falciformes, sendo a dorsal mais curta que a ventral; encoberto pelo parâmetro. Segmento X com escavações laterais estreitas

e rasas recobertas por pubescência esparsa e curta; face posterior ogival, com sulcos suaves e levemente inclinada (Fig. 14C).

Genitalia da fêmea (Fig. 14D): Gonocoxitos 8 com superfície irregular, levemente côncava lateralmente; fortemente sulcado; pontuação densa e negra; margem distal arqueada, formando um pequeno dente mediano sobre os gonocoxitos 9; escavação do bordo sutural pequena, não deixando visível as gonapófises 8. Gonocoxitos 9 convexos com carena mediana presente e pontuado. Laterotergitos 8 com pontuação esparsa e negra; projeção posterior pouco desenvolvida e com um dente inconspícuo. Laterotergitos 9 com pontuação densa; levemente escavado na base; ultrapassa pouco a banda que une dorsalmente os laterotergitos 8.

Comentários: *Edessa nigropunctata* foi considerado como espécie válida no catálogo de Kirkaldy (1909), apesar de Breddin (1907) já ter sinonimizado esta a *Edessa piperitia*. O arranjo taxonômico de Kirkaldy foi seguido por Silva et al. (2006). *A. piperitius* se diferencia de *A. meditabundus*, *A. sternalis*, *A. mexicanus* e *Aceratodes* sp. nova 1 principalmente pelo tamanho do corpo maior que as demais, escavação do processo metasternal muito curta, não alcançando as mesocoxas, se restringido as proximidades do corte da bifurcação; parâmero com duas projeções subiguais; forma da face posterior do segmento X do macho ogival e não triangular.

Distribuição (Fig. 26): **BRASIL:** Pernambuco, Minas Gerais, São Paulo, Rio de Janeiro, Rio Grande do Sul; **ARGENTINA:** Corrientes, Córdoba Entre Rios; **URUGUAI:** Montevideú.

Aceratodes fulvicornis (Fabricius, 1803)

(Figs. 3B, 15, 25)

Edessa fulvicornis Fabricius, 1803: 152; Stål 1868: 37; 1872: 57; Lethierry & Severin, 1893: 190; Kirkaldy, 1909:157.

Aceratodes fulvicornis; Dallas, 1851: 335; Walker, 1868: 453.

Edessa virididorsata Silva et al., 2006: 356. **SINÔNIMO NOVO.**

Material: VENEZUELA. **Aragua:** ♂ 28-VII-1949, F. Y. Fernandez & P. Ferjves cols. (MIZA); ♂♀800m, 17- IX- 1951, F. Y. Fernandez col.(MIZA); ♀ (MIZA); ♂ 19-IV-1949, S. L. col. (MIZA). BRASIL. **Mato Grosso:** ♂12°50" S 51° 45' W, XI- 1968, B. E. Freeman col., roy. Soc., Roy. Gerorg. Soc. Xavantina, Cachimbo Expedition, 1967-1969, B.M. 1970-192 (BMNH); ♂ Campo Grande, 15-II-08-III-1968, B. E. Freeman col. (BMNH); ♂ Cuiabá, 65min W, 02-II-1980, D. B. Thomas col. (DBT); ♂♀ Utiariti, Rio Papagaio, 22-31-X-1966, Lenko & Pereira cols. (MZUSP). **Goiás:** ♂ Corumbá de Goiás, 04-02-1962, J. & B. Bechyné cols.(MPEG). **Distrito Federal:** Brasília, 06-IX-1979, C. Marconi cols. (Holótipo de *E. virididorsata*) (MCNZ). **Espirito Santo:** ♂ Itapina, 13-XII-1967, C.T. Elias cols.(DZUP); ♂ Linhares, I-1962, Claudionor Elias col. (DZUP). **Minas Gerais:** 2♂♀ Poços de Caldas, 23-XI-1962, Claudionor Elias col. (DZUP). **São Paulo:** ♂ CPAC, 18-VI-1986, Miguel (UFRG); ♂ Campinas, XI-1937, O. B. col., 2235 (UFRG); ♂ São Carlos, Fazenda Canchim, 23-10-1993, N. W. Periotto col., Cerrado (MZUSP). PARAGUAI. **Corumbé:** ♀ 01- II- 08-III-1996, R. Golbach col. (IMLA).

Medidas (n= 18): Comprimento total: 14,7 - 17,3; Largura abdominal: 9,3 - 11,5; Comprimento total da cabeça: 2,1 - 2,4; Largura da cabeça: 2,8 - 3,2; Comprimento dos antenômeros: I: 0,6 - 0,8; II: 0,8 - 1,6; III: 1,3 - 2,4; IV: 2,1 - 3,5; V: 3,2 - 4,0; Comprimento do pronoto: 3,5 - 4,4; Largura do pronoto: 8,6 - 10,3; Comprimento do escutelo: 6,4 - 8,4; Largura do escutelo: 5,5 - 6,6.

Diagnose: Superfície dorsal do corpo verde, exceto o conexivo que é verde claro. Embólio pouco mais claro que o cório e com pontuação negra formando linhas transversais profundas. Superfície ventral do corpo amarelo-esverdeada; tórax com faixas e linhas escuras transversais; regiões intersegmentares e cicatrizes escurecidas. Antenas e pernas amarelas. Processo metasternal com bifurcação estreita, escavação atingindo o final das mesocoxas. Processo da taça genital muito pequeno, formado apenas por uma aba do tegumento. Parâmero atarracado com uma aba lateral.

Cabeça: Placas mandíbulares com sulcos transversais presentes, pontuação densa e concolor; ápice curvado ventralmente. Antenas não pontuadas; antenômeros em ordem crescente de comprimento do primeiro ao quinto, com o quarto antenômero pouco maior que o terceiro. Búculas com pontuação esparsa e concolor. Rostro alcança a bifurcação do processo metasternal, o qual acomoda o quarto e parcialmente o terceiro

segmento; primeiro segmento do rostro mais longo que as búculas, atingindo o final da cabeça, segundo subigual ao terceiro e quarto juntos.

Tórax: Pronoto com a margem anterolateral emarginada e reta; ângulo anterolateral com um dente inconspícuo. Propleura com pontuação fina concentrada na metade posterior. Clavo com pontuação mais fina que o resto do cório. Embólio com pontuação menor ou igual ao cório; superfície levemente rugosa; margem da veia pode ter uma linha densa de pontos. Veias de mesma coloração que o cório. Membrana do hemiélitro castanho escuro. Processo metasternal com braços da bifurcação curtos, divergentes ou subparalelos, atingindo cerca de 1/3 do mesosterno (Fig. 15E). E evaporatóri rugos e não pontuado, de mesma coloração que a superfície ventral, com três faixas escuras longitudinais. Peritrema ocupa cerca de 4/5 da distância entre a abertura da glândula e a margem do corpo. Pernas não pontuadas.

Abdome: Conexivo com pontuação fina, concolor e densa, ângulos pósterolaterais não desenvolvidos. Face dorsal negra. Face ventral com pontuação muito fina, clara e restrita a lateral do abdome. Espiráculos elípticos. Um dos tricobótrios externo e o outro alinhado aos espiráculos.

Genitália do macho: Pigóforo retangular, em vista dorsal (Fig. 15A). Bordo dorsal escuro, levemente rugoso, com um recorte logo acima do segmento X (Fig. 15A). Face ventral esparsamente pontuada e sulcada no terço posterior. Bordo ventral com uma escavação mediana profunda e ampla, delimitada por duas projeções arredondadas bem desenvolvidas e acuminadas, levemente intumescidas e que não atingem o nível dos ângulos pósterolaterais (Fig. 15B). Taça genital densamente sulcada. Parâmero densamente sulcado, de formato irregular, com duas pequenas projeções no ápice, uma mais anteriormente voltada para o décimo segmento e outra mediana voltada para a parede (Fig. 15C). Processo da taça genital afastado do bordo dorsal e encoberto pela pubescência e pelo parâmero. Segmento X com escavações laterais estreitas, pouco profundas e recobertas por pilosidade densa e longa; face posterior ogival, levemente intumescida, declivente, sulcada e com uma pequena carena mediana (Fig. 15C).

Genitália da fêmea (Fig. 15D): Gonocoxitos 8 intumescidos no disco; pontuação densa; margem distal sinuosa e formando um dente ou ângulo reto na junção com o bordo sutural sobre os gonocoxitos 9; escavação do bordo sutural pequena. Gonapófises 8 pouco visíveis. Gonocoxitos 9 levemente convexos, com carena

mediana presente, pontuados ou não. Laterotergitos 8 não pontuados, projeção posterior pouco desenvolvida. Laterotergitos 9 com alguns pontos; escavado na base; ultrapassa ou não a banda que une dorsalmente os laterotergitos 8.

Comentários: *A. fulvicornis* se assemelha a *A. rufodorsatus* e algumas formas de *A. rufomarginatus* devido ao seu padrão de coloração geral do corpo. *A. fulvicornis* e *A. rufomarginatus* apresentam o primeiro segmento do rostró maior que as búculas, enquanto *A. rufodorsatus* possui o primeiro segmento subigual as búculas. Outra diferença está nas regiões intersegmentares e cicatrizes abdominais escuras em *A. fulvicornis*, *A. rufomarginatus*, *A. meditabundus*, *A. sp nova* 1 e *A. mexicanus* e ausentes em *A. rufodorsatus*. Tanto *A. rufomarginatus* quanto *A. rufodorsatus* possuem o parâmero com projeções afiladas e processo da taça genital bifido, enquanto em *A. fulvicornis* o parâmero não possui projeções afiladas. *A. fulvicornis*, *A. rufomarginatus* e *A. rufodorsatus* apresentam a margem posterior dos gonocoxitos 8 arqueada, porém sinuosa em *A. fulvicornis*.

Distribuição (Fig 25): VENEZUELA: Aragua; **GUIANA. SURINAME. GUIANA FRANCESA. BRASIL:** Distrito Federal, Espírito Santo, Mato Grosso, Minas Gerais, São Paulo. **PARAGUAI:** Corumbé. **ARGENTINA.**

Aceratodes rufomarginatus (De Geer, 1773) **COMB. NOVA**

(Figs. 4, 16)

Cimex rufomarginatus De Geer, 1773: 330.

Cimex cruentus Fabricius, 1775: 713; 1794: 115.

Edessa cruenta; Fabricius, 1803: 153; Burmeister, 1835: 355; Erichson, 1848: 61.

Pentatoma furcata Palisot Debeauvois, 1805: 46; Amyot & Serville, 1843: 160.

Aceratodes cruentus; Amyot & Serville, 1843: 160; Dallas, 1851: 334; Walker, 1868: 451; Stål, 1872: 57.

Aceratodes flavomarginatus Stål, 1855: 183; 1856: 62; 1872: 57.

Aceratodes flavovirens Stål, 1855: 183; 1856: 62; 1872: 57.

Edessa rufomarginata; Stål, 1856: 62; 1872: 57; Berg, 1879: 61; Distant, 1880: 65; 1887: 144; Sharp, 1890: 410; Lethierry & Severin, 1893: 194; Kirkaldy, 1909: 164; Blanchard, 1940: 144; Pirán, 1948: 11; Rizzo & Saini, 1987: 51; Fortes & Grazia, 1990: 191; Froeschner, 1981: 66; Silva et al., 2004: 262; 2006: 346.

Material: MÉXICO. **Mérida:** ♂♀, Campeche, Km 54, 28-IV-1982, V. Meléndez col. (UFRG). VENEZUELA. **Tachira:** 2♂ Pregonero, 1200m, 21-IX-1966 (MIZA). **Bolivar:** 4♂ Caruachi Dam, 16-XI-1966, J. Bechyne, B. Bechyne & E. Osuna cols. (MIZA). **Distrito Federal, El Juquito:** 2♀♂ Petaquire, 12-VI-1964, E. Osuna col. (MIZA). GUIANA FRANCESA. **Oyack:** ♂ Roura, Montagne Fourgassie, próximo ao rio Oyak, 19-28-I-1995, D. Vlasta col. (UFRG). BRASIL. **Amazonas:** ♂ Manaus, Rio Tapajós, (comparado com o tipo de *E. rufomarginata* (De Geer, 1773)), IX – 1960. (UFRG); **Pará:** ♀ Belém, 12-II-1981, J. Grazia col. (RMNH); ♂ Melgaço, Marinaú, 20-IV-2005, Maschio, G. col. (UFRG); ♂ Monte Alegre, 2966 (CMNH). **Maranhão:** ♀ São Luís, III-1975 (UFRG); ♂ 25- V -1975 (UFRG); ♀26-IV-1976 (UFRG); ♂ 04 -I-1974, E. Chagas; 20-II-1975 (UFRG); ♂ 04-I-1974 (UFRG); ♀ 09-IX-1976, Gualhardo col. (UFRG). **Mato Grosso:** ♂♀ Chapada dos Guimarães, Agosto, 2966 (CMNH); ♂ 19-I-1961, J. & B. Bechyné cols. (MPEG); ♂ 21-I-1961, J. & B. Bechyné cols. (MPEG); 3 ♀♂ Chapada dos Guimarães, Casa de pedra, 16- II- 2000, Grazia, J. col. (UFRG);♀ Barra do Tapirapé, 14-XII-1964, B. Malkin col. (MZUSP); ♂ Cuiabá, 16-X-1988, N. D. Fortes "Joa" col. (UFRG); ♂ 24-I-1988 (UFRG); ♀ 30-10-1988 N. Fortes "Joa" col. (UFRG); ♀ Três Lagoas, Fazenda Dr. José Mendes, 14-24-X-1964, Expedição do Departamento de Zoologia (MZUSP); ♂ Utiariti, Rio papagaio, 22-31-X-1966, Lenko & Pereira cols. (MZUSP); ♀ 825m 07- VIII-1961, K. Lenko col. (MZUSP). **Pernambuco:** ♀ João Alfredo, 05-IV-2001, Lopes, M.J.S. col. (UFRG). **Goiás:** ♂2♀ Alvorada do Norte, 14-VII-2005, G. A. Ferreira col., folha pequi; ♀ 18-VIII-2005 (UFRG). ♂ Araguapaz, 17- IX-2004, G. A. Ferreira col., ramos pequi (UFRG); ♂♀ Corumbá de Goiás, 04-II-1962, J. & B. Bechyné cols. (MPEG); ♀ Formoso 02- IX- 2004, G. A. Ferreira col., ramos pequi (UFRG); ♂♀ Jataí, Fazenda Nova Orlandina, I-1964, Martins, Morgante & Silva cols. (MZUSP); ♀ Fazenda Cachoerinha, VIII-1962 (MZUSP); ♀ Luziânia, 07-VI-1986, Wagner col. (UFRG). **Distrito Federal:** ♀ Planaltina, 15° 35" S 47° 42" W, 28-III-1978, V. O. Becker col., 6852, Coleção Embrapa (UFRG). **Minas Gerais:** ♂♀ Japonvar, 20-VIII-2000, planta

hospedeira: pequiheiro *Caryocar brasiliensis*. (UFRG); ♀ (comparado com o tipo de *Edessa flavovirens* Stål, 1855), Lagoa Santa, 09-10-1955, J. Becker col., 763 (UFRG); ♂ 09-X-1956, J. Becker col., 783 (RMNH); ♀ Uberlândia, XIII-1962, Expedição do Departamento de Zoologia (MZUSP). **Rio de Janeiro:** ♂♀ Conceição de Macabú, 09-XI-1998, Alburque col., Lâmpada Mercúrio, Instituto pró-Natura. (UFRG); ♂ Rio de Janeiro, I-1977, M. Alvarenga col. (RMNH). **São Paulo:** ♀ (NMCR); ♂ Ipero, Estação George Oeter, 15-XI-1961, Wener (MZUSP); 2♀♂ Itirapina, 20-XI-1984, P.S. Oliveira col., Cerrado, Sugando frutos de *Caryocar brasiliensis* (UFRG); 3♂♀ Mogi Guaçu, Fazenda Campininha, 17-19-XI-1967, H. Reichardt col. (MZUSP); ♂ Pirassununga, 24-08-1976, L.R. Fontes col., Cerrado (MZUSP); ♀ Santo André, Vila Bastos, III-1962, L. Stowbuenko col. (MZUSP). **Rio Grande do Sul:** ♂ Estação ecológica Taim, 23-III-04-IV-1981, J. Grazia col. (UFRJ); ♂ Canhadão do Faxinal, 22-X-1988, Fernandes, J.A.M. col. (UFRG). EQUADOR. **Ambato:** ♂♀ Pr. Orient, 25-05-1905, Zeleny col. (UFRG). BOLIVIA. **Santa Cruz:** ♀ Sara Nueva Moka, A. Martinez col. (MZUSP). ARGENTINA. **Salta:** ♀ Himar, I- 1949, A. Pierotti col. (IMLA). **Tucuman:** ♀, R. A. Tucuman, Reserva Florestal entre Saladillo y Tapia Ruta, 09-I-1948, Golbach col. (IMLA). **Entre Rios:** ♀ Colón, II- 1990, D. A. Rider Collection (DAR).

Medidas (n= 62): Comprimento total: 15,1 - 19,4; Largura abdominal: 9,0 - 12,8; Comprimento total da cabeça: 2,1 - 3,1; Largura da cabeça: 2,6 - 3,7; Comprimento dos antenômeros: I: 0,6 - 1,0; II: 1,0 - 2,5; III: 1,3 - 2,5; IV: 2,2 - 4,5; V: 2,5 - 4,8; Comprimento do pronoto: 3,5 - 5,1; Largura do pronoto: 8,5 - 12,7; Comprimento do escutelo: 6,6 - 10,1; Largura do escutelo: 5,4 - 7,7.

Diagnose: Coloração dorsal variando do verde ao negro e ventral do amarelo pálido ao negro. Cor do conexivo contrastando fortemente com a coloração dorsal ou pelo menos mais clara que a dorsal. Pernas e antenas variando do amarelo ao castanho, mas sempre mais claras que o corpo e não pontuadas. Rostro com o primeiro segmento mais longo que as búculas. Abdome com áreas intersegmentares e cicatrizes geralmente escuras, quando não ocorre a pontuação abdominal é escura. Pigóforo com o processo da taça genital retangular, plano, bífido e com as duas partes paralelas. Cabeça do parâmero com duas projeções, uma dirigida anteriormente, alongada, com ápice arredondado e uma posterior, retangular. Gonocoxitos 8 pouco convexos e com escavação do bordo sutural pequena. Laterotergitos 8 pouco convexos e não pontuados.

Cabeça: Superfície dorsal verde, castanha ou negra. Placas mandibulares levemente curvadas ventralmente no ápice; com sulcos transversais e não pontuadas; margens amareladas a avermelhadas. Face ventral da cabeça amarela, alaranjada ou negra. Antenas amareladas ou alaranjadas, não pontuadas; antenômeros em ordem crescente de comprimento do primeiro ao quinto, com o segundo e terceiro antenômeros subiguais em algumas formas. Búculas com pontuação concolor. Rostro alcança a bifurcação anterior do processo metasternal, o qual acomoda o quarto, parcialmente o terceiro segmento, e em alguns casos parcialmente o segundo; primeiro segmento do rostro mais longo que as búculas, segundo subigual ao terceiro e quarto reunidos.

Tórax: Pronoto verde, castanho ou negro; pontuação concolor e densa; margem anterolateral emarginada, reta e de coloração amarelo pálido a avermelhado; ângulo anterolateral formando um dente inconspícuo. Face ventral com ou sem linhas negras em todos os segmentos. Propleura com pontuação fina, clara ou escura. Escutelo brilhante, com a mesma coloração do pronoto; pontuado anteriormente igual ao pronoto e posteriormente com pontuação mais fina e densamente distribuída; podendo apresentar sulcos transversais. Cório de mesma coloração que o resto do dorso torácico, com pontuação mais densa e menor nos segmentos anteriores. Clavo com pontuação mais fina que no resto do cório. Embólio amarelo pálido a avermelhado na parte anterior; rugoso devido a pontuação mais profunda e agrupada. Veias de mesma coloração que o cório; membrana do hemiélitro brilhante; verde, castanha ou negra. Processo metasternal não pontuado; sulcado ou não; bifurcação anterior do processo com braços longos, atingindo cerca da metade do mesosterno; escavação alcançando as mesocoxas ou atravessando completamente o processo (Fig. 16E). Evaporatório não pontuado. Peritrema tipicamente atinge 2/3 da distância entre a abertura da glândula odorífera e a margem do corpo.

Abdome: Conexivo de coloração verde, amarelo, alaranjado ou vermelho; pontuação fina, concolor e densa; ângulos póstero-laterais pouco desenvolvidos. Face dorsal castanha ou negra. Face ventral amarela, com pontuação escura ou clara e restrita à margem do abdome; faixas escuras nas regiões intersegmentares e cicatrizes presentes ou não. Espiráculos elípticos. Um tricobótrio alinhado e o outro externo a linha dos espiráculos.

Genitália do macho: Pigóforo retangular, em vista dorsal (Fig. 16A). Bordo dorsal escuro, levemente sulcado e pontuado. Superfície ventral densamente pontuada na parte posterior, sulcada ou não. Bordo ventral com uma escavação mediana rasa, delimitada por duas projeções acuminadas, desenvolvidas e intumescidas (Fig. 16B). Parâmero triangular e sulcado; parte distal formada por duas projeções sendo a anterior longa e afilada, e a posterior curta e truncada (Fig. 16C). Processo da taça genital posicionado lateralmente e longe do bordo dorsal, achatado, retangular, fendido medianamente com as partes paralelas. Segmento X com escavações laterais estreitas e fundas recobertas por uma pubescência densa e longa; face posterior declivente e ogival (Fig. 16C).

Genitália da fêmea (Fig. 16D): Gonocoxitos 8 convexos, levemente côncavos ou planos lateralmente; pontuada na região mediana e sulcado; margem posterior arqueada, escavação do bordo sutural pequena, deixando pouco visíveis as gonapófises 8. Gonocoxitos 9 convexos, sem carena mediana e não pontuados. Laterotergitos 8 quase planos e não pontuados; projeção posterior pouco desenvolvida, formando um dente inconspícuo. Laterotergitos 9 não pontuado; pouco escavados na base; alcançam ou ultrapassam pouco a banda que une dorsalmente os laterotergitos 8.

Comentários: Esta espécie é bastante abundante e bem distribuída na região Neotropical, pois se adapta bem a áreas antropizadas, por isso não foi incluída nos mapas de distribuição. Certamente é a espécie de Edessinae mais comum em coleções. Apresenta variação intraespecífica, sendo dividida em sete formas diferentes segundo Silva et al. (2004). Nesse trabalho Silva e colaboradores descreveram em detalhes as variações e apresentaram uma chave de identificação. Assim, o presente estudo não se estendeu na descrição das variações, incluindo apenas fotos do “*facies*” destas formas. A espécie possui muita variação, mas a genitália de ambos é bastante constante. Talvez uma análise mais detalhada dessas variações, incluindo dados moleculares, mostre espécies crípticas e mude os limites atuais da espécie. Na discussão de outras espécies de *Aceratodes* é possível ver a diferença entre essas e as diferentes formas de *A. rufomarginatus*.

Distribuição: **MÉXICO:** Mérida. **VENEZUELA:** Tachira; Bolivar, Distrito Federal, El Junquito. **GUIANA FRANCESA:** Oyack. **BRASIL:** Amazonas, Pará, Maranhão, Mato Grosso, Pernambuco, Goiás, Distrito Federal, Minas Gerais, São

Paulo; Rio de Janeiro, Rio Grande do Sul. **EQUADOR:** Ambato. **BOLIVIA:** Santa Cruz. **ARGENTINA:** Salta, Tucuman, Entre Rios.

Aceratodes brasiliensis (Silva, Fernandes & Grazia, 2006) COMB. NOVA

(Figs. 3C, 17, 26)

Edessa brasiliensis Silva et al., 2006: 351.

Material-tipo examinado: Holótipo ♂, BRASIL. **Distrito Federal:** Brasília, XII-1961, H.S. Lopes col., 3729. (MCNZ). Parátipos, BRASIL. **Pará:** ♀ Benevides, PA 408, Km 06, 10-XI-1980, R. B. Neto col. (MPEG). **Mato Grosso:** ♂♀ Chapada dos Guimarães col., VIII, 2966, chapada campo (CMNH); ♀ Poconé, Estrada Cuiabá km21, 15-II-1985, Marcio Zanuto col. (MPEG). **Goiás:** ♀ Fazenda Paraíso, 08-II-1962, J. & B. Bechyné cols. (MPEG); ♀ Fazenda Paraíso, 09-02-1962 (MPEG). **Distrito Federal:** ♂ Brasília, VII-1960, H. S. Lopes col., 03738; 2♀, IX-1960, A. B. Guimarães col., 3728 (UFRG); ♀ I-1961, H. S. Lopes col., 3728 (RMNH); ♀ XII -1961, H. S. Lopes col., 3731(UFRG).

Medidas (n= 12): Comprimento total: 12,1 - 15,1; Largura abdominal: 6,5 - 9,2; Comprimento total da cabeça: 1,8 - 2,3; Largura da cabeça: 2,6 - 3,0; Comprimento dos antenômeros: I: 0,6 - 0,8; II: 0,5 - 1,3; III: 1,6 - 2,2; IV: 2,4 - 3,4; V: 2,8; Comprimento do pronoto: 2,8 - 3,7; Largura do pronoto: 7,1 - 8,6; Comprimento do escutelo: 5,3 - 6,5; Largura do escutelo: 4,7 - 6,2.

Diagnose: Superfície dorsal da cabeça, pronoto e escutelo verde claro, cório castanho; margem das placas mandibulares e do pronoto amarela. Embólio amarelo-pálido, caloso, com pontuação grande, profunda e escura. Conexivo e superfície ventral amarelo-pálido esverdeado. Pronoto e parte anterior do escutelo rugosos. Antenas e pernas amarelas. Segundo antenômero curto, sendo menor que o terceiro. Processo metasternal com escavação curta atingindo as mesocoxas, braços curtos e pouco achatados. Processo da taça genital pequeno e digitiforme. Parâmero com a projeção dirigida posterolateralmente maior que a dirigida anteriormente. Margem distal dos laterotergitos 8 não projetada posteriormente.

Cabeça: Placas mandibulares com pontuação esparsa e concolor, sulcos transversais presentes, e com ápice levemente curvado ventralmente. Face ventral da cabeça amarela esverdeada. Antenas não pontuadas, primeiro antenômero subigual ao segundo, do terceiro ao quinto em ordem crescente de comprimento. Búculas com pontuação concolor. Rostro alcança a bifurcação do processo metasternal, o qual acomoda o quarto segmento; primeiro segmento mais longo que as búculas, segundo segmento menor que o terceiro e quarto reunidos.

Tórax: Pronoto com pontuação concolor ou castanho-clara e densa; margem anterolateral, emarginada e reta, ângulo anterolateral com um dente muito pequeno. Propleura com pontuação da mesma coloração da dorsal e presente somente na metade posterior. Escutelo densamente pontuado. Cório com pontuação escura, densa e menor que no resto do dorso torácico, inclusive no clavo. Veias de mesma coloração que o cório; membrana do hemiélitro castanha. Processo metasternal não pontuado; atinge menos da metade do mesosterno, bifurcação estreita e curta com braços pequenos (Fig. 17B). Evaporatório pouco rugoso e não pontuado. Peritrema ocupa até 3/5 da distância entre a abertura da glândula e a margem do corpo. Pernas não pontuadas.

Abdome: Conexivo com pontuação fina, concolor e densa; ângulos pósterolaterais pouco desenvolvidos. Face dorsal castanha escura. Face ventral amarelo-esverdeada; pontuação concolor, fina e esparsa. Espiráculos elípticos. Um tricobótrio na linha e o outro externo ao espiráculo.

Genitália do macho: Pigóforo sub-retangular, em vista dorsal (Fig. 17A). Superfície ventral pontuada na região central e junto ao bordo. Bordo ventral com uma escavação mediana profunda, estreita na base, e larga no ápice, delimitada por um par de grandes projeções acuminadas e não intumescidas, praticamente de mesma altura que os ângulos pósterolaterais em vista ventral (Fig. 17B). Parâmero com uma projeção arredondada e achatada dirigida anteriormente e outra longa, estreita, curvada lateralmente e afilada no ápice (Fig. 17C). Processo da taça genital pequeno e digitiforme, posicionado anterolateralmente e escondido pelo parâmero em vista posterior (Fig. 17C). Segmento X com escavações laterais muito rasas e amplas recobertas por pubescência esparsa e curta; superfície dorsal com sulcos fracamente impressos; face posterior trapezoidal, levemente túmida e sulcada (Fig. 17C).

Genitália da fêmea (Figura 17D): Gonocoxitos 8 levemente curvados na metade distal, pontuado em quase toda sua extensão; margem posterior em arco levemente sinuoso; escavação do bordo sutural incospícua. Gonocoxitos 9 com ou sem carena mediana. Laterotergitos 8 não pontuados; margem distal não projetada, mas com um pequeno dente negro. Laterotergitos 9 não pontuados, com a base pouco escavada, ápice arredondado ou agudo e negro, atingindo ou ultrapassando pouco a banda que une dorsalmente os laterotergitos 8.

Comentários: Esta espécie pode ser confundida com *A. meditabundus* e a *A. sp. nova 1* devido ao padrão de coloração e tamanho, mas a forma do processo metasternal e as características da genitália masculina e feminina são suficientes para separá-las. Outra confusão possível é com *A. luteovenulatus*, pois ambas são espécies pequenas e possuem um padrão de coloração parecido, mas esta última possui áreas calosas claras sobre as asas e *A. brasiliensis* possui o cório uniformemente escuro.

Distribuição (Fig. 26): **BRASIL:** Pará, Mato Grosso, Goiás, Distrito Federal.

Aceratodes carnosus (Westwood, 1837)

(Figs. 3D, 18, 26)

Edessa carnosa Westwood, 1837: 29; Stål 1872: 60; Berg, 1894:19; Lethierry & Severin, 1893: 189; Berg 1894: 19; Distant, 1900: 229; Kirkady, 1909: 155.

Aceratodes carnosa; Dallas, 1851: 335.

Aceratodes carnosus; Walker, 1868: 453.

Aceratodes costalis Stål, 1859: 231; Walker, 1868: 454; Distant, 1801: 87; Kirkady, 1909: 155.

Aceratodes fulvipes Dallas, 1851: 335; Walker, 1868: 454.

Edessa senilis Walker, 1868: 450; Distant, 1900: 229; Lethierry & Severin, 1893: 194; Kirkady, 1909: 155.

Edessa fulvipes; Stål, 1872: 58; Berg, 1879: 62; Lethierry & Severin, 1898: 190; Kirkaldy, 1909: 155.

Edessa corallipes Erichson, 1848: 611; Walker, 1868: 428; Stål, 1872: 60; Lethierry & Severin, 1893: 189; Kirkaldy, 1909: 156; Van Duzee, 1901: 346; Silva et al., 2006: 347.

SINÔNIMO NOVO

Material: VENEZUELA. **Bolivar:** ♂♀ Auyatepui, 1100m, 14-IV-1956, F. Fernandez & C.J. Rosales cols. (MIZA). **Monagas:** ♀ Caripe, 19-X-1965, Fernandez & C.J. Rosales cols. (UFRG). SURINAME. ♂, 13-X-1948, Lynkin col., 15.9.3° kamps, savanne, exp. 1948-1949 (comparado com o Homotipo de *Edessa corallipes* Erichson, 1848) (RMNH); ♂, 14-X-1948, 594, exp. 1948-1950 (comparado com os tipos de *E. carnosa* Westwood, 1837; *E. corallipes* Erichson, 1848; *E. fulvipes* Dallas, 1851; *E. costalis* Stål, 1859 e *E. senilis* Walker, 1868) (UFRG). ♀ Republiek, 08-XII- 1963, D. C. Geiskes col. (RMNH). BRASIL. **Amapá:** ♂ Porto Platon, 18-V-1983, J. I. Lacerda col.; (UFRG). **Pará:** ♂♀ Parque Nacional Montanhas do Tumucumaque, 28-I-1981, E. L. Oliveira col.(UFRG).

Medidas (n= 9): Comprimento total: 13,5 - 16,6; Largura abdominal: 8,5 - 10,1; Comprimento total da cabeça: 2,2 - 2,5; Largura da cabeça: 3,0 - 3,3; Comprimento dos antenômeros: I: 0,6 - 0,7; II: 1,0 - 1,2; III: 1,5 - 2,1; IV: 2,8 - 4,2; V: 3,4 - 3,8; Comprimento do pronoto: 3,2 - 4,1; Largura do pronoto: 8,1 - 9,8; Comprimento do escutelo: 6,0 - 7,2; Largura do escutelo: 4,1 - 6,1.

Diagnose: Superfície dorsal e ventral castanha escura a negra e densamente pontuada. Embólio rugoso, concolor ao cório e com pontuação muito grosseira. Pernas e antenas amarelas. Pigóforo com grande quantidade de sulcos na metade posterior da superfície ventral. Bordo dorsal com um par de projeções acuminadas e intumescidas próximo aos ângulos póstero-laterais. Parâmero com projeções anterior e posterior igualmente desenvolvidas, Gonocoxitos 8 com ápice agudo e bordo sutural divergente, formando um “V”, desde o terço basal.

Cabeça: Placas mandíbulares com sulcos transversais e ápice não curvado. Antenas não pontuadas, antenômero em ordem crescente de comprimento do primeiro ao quinto, sendo quarto quase o dobro do terceiro antenômero. Búculas com pontuação concolor. Rostro alcança a bifurcação do processo metasternal, o qual acomoda o quarto

e parcialmente o terceiro segmento; primeiro segmento do rostro mais longo que as búculas, atingindo praticamente o final da cabeça, segundo subigual ao terceiro e quarto reunidos.

Tórax: Pronoto com a margem anterolateral emarginada, reta, com o ângulo anterolateral formando um dente pequeno. Propleura totalmente pontuada. Escutelo pontuado igual ao pronoto. Cório com pontuação menor que no pronoto e escutelo. Clavo pontuado igual ao cório. Veias de mesma coloração que o cório; membrana do hemiélitro castanha a negra. Processo metasternal não pontuado; atinge a metade do mesosterno, com escavação ultrapassando pouco as mesocoxas (Fig. 18E). Evaporatório não pontuado. Peritrema ocupa cerca de 3/4 da distância entre a abertura da glândula e a margem do corpo.

Abdome: Conexivo com pontuação fina, concolor e densa, ângulos pósterolaterais não desenvolvidos. Face dorsal negra. Face ventral com pontuação concolor, fina e densa, exceto na linha média longitudinal. Espiráculos elípticos. Um dos tricobótrios externo e o outro alinhado aos espiráculos.

Genitália do macho: Pigóforo retangular em vista dorsal (Fig. 18A). Superfície ventral com pontuações e sulcos na metade posterior; pontuação castanha e densa. Bordo ventral com uma escavação mediana profunda e delimitada pelas projeções do bordo que são achatadas, curvadas dorsalmente e ultrapassam o nível dos ângulos pósterolaterais em vista ventral (Fig. 18B). Parâmero sulcado, triangular, túmido, projeções distais acuminadas (Fig. 18C). Processo da taça genital posicionado junto ao bordo dorsal, intumescido, pedunculado e côncavo (Fig. 18C). Segmento X com escavação lateral densamente pilosa, profunda e estreita; face posterior triangular, plana e sulcada posteriormente (Fig. 18C).

Genitália da fêmea (Fig. 18D): Gonocoxitos 8 levemente curvados na metade posterior, com pontuação densa e sulcado; margem posterior fortemente acuminada, podendo terminar em um pequeno espinho; escavação do bordo sutural ampla e profunda, margens curvadas e divergentes. Gonapófises 8 parcialmente visíveis e amarelas. Gonocoxitos 9 com carena mediana presente ou não e finamente pontuados. Laterotergitos 8 com pontuação densa; projeção posterior pouco desenvolvida, formando um dente pequeno. Laterotergitos 9 pontuados e sulcados; ápice afilado, com um pequeno dente; ultrapassam pouco a banda que une dorsalmente os laterotergitos 8.

Comentários: Escavação do processo metasternal sulcada transversalmente na parte que fica sob o rostro, característica presente em *A. aulacosternus*, forma II e III de *A. rufomarginatus* e algumas vezes em *A. ovalis*. Essa espécie por ser muito escura poderia ser confundida com a forma IV de *A. rufomarginatus*, *A. castaneolineatus*, *A. albomarginatus* e *A. marginalis*. No entanto, *A. rufomarginatus* possui o conexivo alaranjado e as demais possuem a margem do cório amarela.

Distribuição (Fig. 26): **COLÔMBIA:** Antioquia, Bogotá, Meta; **VENEZUELA:** Monagas, Bolivar; **GUIANA; SURINAME:** Republiek, Paramaribo, Para; **GUIANA FRANCESA: Caiena; BRASIL:** Amapá, Pará, Mato Grosso, Minas Gerais, São Paulo; **BOLÍVIA:** Santa Cruz; **PARAGUAI; ARGENTINA:** Misiones.

Aceratodes albomarginatus Stål, 1855

(Figs. 3E, 19, 27)

Aceratodes albomarginatus Stål, 1855: 183; Walker, 1868: 453.

Edessa albomarginata; Stål, 1872: 57; Silva et al., 2004: 265; 2006: 346.

Material-tipo: Holótipo ♀, BRASIL, Minas Gerais: holótipo, (NHRM).

Material examinado: ARGENTINA. **Buenos Aires:** ♂ (UFRG); **Chaco:** ♂ 7789, 198 (IMLA); **Entre Rios:** 2♂ Federal, 10-VIII-1966, A. A. Piran col., em el monte (MACN); ♀ (UFRG); ♂♀ Inst. Pat. Vegetal. I.N.T.A. (MLPA); ♂ Concordia, 01-VI-1979, Viana col. (UFRG). **Jujuy:** 5♀ 1♂ 7271 (MACN); ♂Cacharita 7844 (MACN). **Salta:** ♀Cerro S. Bernadino, I-1945, F. Monros (UFRG); 6♀8♂ 4287 (MACN). **Santa Fé:** ♂ Villa Ana, 01-18-II-1946 (RMNH). **Tucumán:** ♀ (MACN).

Medidas (n= 34): Comprimento total: 15,0 - 18,8; Largura abdominal: 9,3 - 12,44; Comprimento total da cabeça: 2,1 - 2,7; Largura da cabeça: 3,1 - 3,7; Comprimento dos antenômeros: I: 0,6 - 0,8; II: 1,0 - 1,6; III: 1,1 - 1,7; IV: 2,0 - 2,7; V: 2,5 - 3,2; Comprimento do pronoto: 3,6 - 4,7; Largura do pronoto: 9,1 - 11,3; Comprimento do escutelo: 6,6 - 8,6; Largura do escutelo: 5,6 - 7,5.

Diagnose: Superfície do corpo castanho-esverdeado; margens das placas mandibulares, do pronoto e do cório amareladas; conexivo castanho claro. Superfície

ventral castanha. Embólio com pontuação mais profunda, dando um aspecto granuloso. Pronoto e parte anterior do escutelo rugosos. Processo metasternal com escavação atingindo o final das mesocoxas; braços levemente divergentes. Pernas e antenas castanhas. Bordo dorsal do pigóforo com um par de projeções laterais ao segmento X que recobrem os processos da taça genital em vista dorsal. Parâmero longo, tocando as projeções laterais do segmento X.

Cabeça: Placas mandibulares com o ápice levemente curvado ventralmente, com sulcos transversais presentes e não pontuadas. Antenas não pontuadas, segundo antenômero maior que o primeiro e de comprimento semelhante ao terceiro, quarto pouco mais longo que o terceiro e menor que o quinto antenômero. Búculas podem apresentar ou não pontuações e sulcos. Rostro alcança a bifurcação do processo metasternal, o qual acomoda parcialmente o quarto segmento; primeiro segmento do rostro tão longo ou um pouco mais longo que as búculas, segundo de comprimento um pouco menor que o terceiro e quarto reunidos.

Tórax: Pronoto densamente pontuado, sulcado próximo à margem. Margem anterolateral emarginada e reta. Propleura totalmente pontuada, com pontuação fina e concolor na parte anterior e maior e escura na parte posterior. Escutelo rugoso, túmido na parte anterior; pontuação homogênea e densamente distribuída. Cório com pontuação densa e escura. Clavo com pontuação igual a do cório. Embólio pouco mais claro que o restante e com pontuação pequena e densa. Veias concolores; membrana do hemiélitro castanho escura. Processo metasternal não pontuado; bifurcação anterior do processo com braços curtos, atingindo cerca da metade do mesosterno (Fig. 19E). Evaporatório não pontuado. Peritrema ocupa cerca de 4/5 da distância entre a abertura da glândula e a margem do corpo. Pernas não pontuadas.

Abdome: Conexivo com pontuação fina, concolor e densa; ângulos pósterolaterais não desenvolvidos. Face dorsal castanha. Face ventral castanha esverdeada; pontuação fina, concolor e densa. Espiráculos elípticos. Um tricobótrio alinhado e outro externo ao espiráculo.

Genitália do macho: Pigóforo retangular, em vista dorsal (Fig. 19A). Bordo dorsal levemente sulcado, com um par de projeções laterais, formadas pelo prolongamento do tegumento e projetadas lateralmente ao segmento X, deixando este segmento visível e encobrindo o processo da taça genital (Fig. 19A). Bordo ventral com

a escavação mediana pouco profunda, estreita, alargando-se em direção ao ápice e delimitada por duas projeções intumescidas que estão quase no mesmo nível dos ângulos póstero-laterais, em vista ventral (Fig. 19B); superfície ventral densamente pontuada no terço posterior, pontuações mais escuras junto a escavação mediana. Parâmero triangular, longo, estreito, curvado anteriormente, tocando as projeções laterais do bordo dorsal, sulcado longitudinalmente; com uma projeção basal afilada e dirigida lateralmente (Fig. 19C). Processo da taça genital, retangular e pequeno, posicionado anterolateralmente, por trás do parâmero (Fig. 19C). Segmento X com escavações laterais estreitas e fundas recoberta por pilosidade densa e longa; face posterior triangular, sulcada na base (Fig. 19C).

Genitália da fêmea (Fig. 19D): Gonocoxitos 8 levemente convexos, com uma escavação na lateral, e densamente pontuado; margem posterior arqueada e sinuosa; escavação do bordo sutural pequena, não deixando visível as gonapófises 8. Gonocoxitos 9 não pontuados e com carena mediana presente. Laterotergitos 8 com pontuação fina, densa e concolor; margem posterior não projetada e sem um dente distal. Laterotergitos 9 com pontuação fina, esparsa e concolor; alcança ou ultrapassa a banda que une dorsalmente os laterotergitos 8 e atinge o nível destes.

Comentários: Esta espécie é muito parecida com a forma II de *A. rufomarginatus* pelo seu padrão de coloração e de pontuação, porém existem diferenças marcantes entre essas, tais como: segundo e terceiro antenômeros de comprimento subigual em *A. albomarginatus*, enquanto em *A. rufomarginatus* o terceiro antenômero é maior que o segundo; primeiro segmento do rostró tão longo quanto as búculas, enquanto em *A. rufomarginatus* o primeiro segmento do rostró é maior que as búculas. Regiões intersegmentares sem faixas escuras em *A. albomarginatus* e escuras em *A. rufomarginatus*. Na genitália masculina de *A. albomarginatus* o bordo dorsal do pigóforo apresenta um par de projeções ausente em *A. rufomarginatus*. De forma geral o parâmero de *A. albomarginatus* é mais longo e estreito do que em *A. rufomarginatus*. Compartilha com as formas III, IV e VI de *A. rufomarginatus* taça genital com pilosidade grossa e densa.

Distribuição (Fig. 27): **BRASIL:** Minas Gerais; **ARGENTINA:** Jujuy, Chaco, Tucumán, Santa Fé, Entre Rios, Buenos Aires.

Aceratodes castaneolineatus (Silva, Fernandes & Grazia, 2006)

(Figs. 3F, 20, 26)

Edessa castaneolineata Silva et al., 2006: 353.

Material-tipo examinado: Holótipo ♂, BRASIL. **Mato Grosso:** Chapada dos Guimarães, III-1979, O. Rappa & A. Domingos col., 720 (MCNZ). Parátipos, BRASIL. **Pará:** ♂ Óbidos, IV-1978, Domingos, A. C. col., 979 (MNRJ). **Mato Grosso:** ♂ Buriti, 08-II-1961, J. & B. Bechyné cols., 7-03 (MPEG); ♀ Chapada dos Guimarães, III-1979, O. Rappa & A. Domingos cols., 719 (MCNZ); ♀ 05-IX-1978, J. Becker col., 709 (MCNZ); ♀, 710; 09-IX-1978, 716 (MCNZ). **Goiás:** ♂ Corumbá de Goiás, 01-II-1962, J. & B. Bechyné cols. (MPEG); ♀ 04-II-1962 (MPEG).

Medidas (n= 9): Comprimento total: 15,3 - 16,1; Largura abdominal: 9,5 - 10,0; Comprimento total da cabeça: 1,8 - 2,2; Largura da cabeça: 2,8 - 3,0; Comprimento dos antenômeros: I: 0,6 - 0,8; II: 1,3 - 2,0; III: 1,4 - 2,0; IV: 2,8 - 3,4; V: 3,5 - 3,7; Comprimento do pronoto: 3,4 - 3,7; Largura do pronoto: 8,0 - 9,4; Comprimento do escutelo: 5,8 - 7,0; Largura do escutelo: 4,4 - 6,0.

Diagnose: Corpo castanho, sendo a superfície ventral mais clara. Margem do corpo amarelo-clara incluindo o embólio e grande parte do conexivo. Margem do cório e conexivo com uma linha vertical de cor castanha formada pela concentração de pontos. Pronoto, escutelo e cório com pontuação castanha e densa. Pernas e antenas concolores com a superfície ventral do corpo. Processo metasternal pouco desenvolvido, anteriormente evanescente e terminando logo a frente das mesocoxas, bifurcação muito pequena, com braços curtos e escavação rasa que atravessa o processo inteiramente.

Cabeça: Placas mandíbulas com o ápice reto ou levemente curvado ventralmente; sulcadas transversalmente; pontuação escura, densa e homogênea. Antena não pontuada; primeiro antenômero mais curto que os demais, segundo e terceiro subiguais, quarto com cerca do dobro do comprimento do terceiro e mais curto que o quinto. Búculas pontuadas. Rostro alcança a bifurcação do processo metasternal, o qual acomoda o quarto segmento; primeiro segmento do rostro tão longo quanto as búculas, segundo menor que terceiro e quarto reunidos.

Tórax: Pronoto com a margem anterolateral emarginada e crenulada. Propleura pontuada. Clavo pontuado como o cório. Embólio com pontuação maior que no restante do cório, castanha e mais esparsa. Veias de mesma coloração que o cório; membrana do hemiélitro castanho escuro. Processo metasternal não pontuado, com os braços da bifurcação curtos, atingindo cerca de 1/3 do mesosterno (Fig. 20E). Evaporatório não pontuado e fortemente rugoso. Peritrema ocupa cerca de 2/3 da distância entre a abertura da glândula e a margem do corpo. Pernas não pontuadas.

Abdome: Conexivo com pontuação fina e concolor; linha longitudinal formada por pontos maiores e escuros; ângulos póstero-laterais não desenvolvidos. Face dorsal castanho escuro. Face ventral com pontuação castanha escura, fina e densa. Espiráculos elípticos. Um dos tricobótrios alinhado aos espiráculos, e outro externo a esses.

Genitália do macho: Pigóforo retangular em vista dorsal (Fig. 20A). Bordo dorsal levemente sinuoso; ângulo posterolateral túmido (Fig. 20A). Face ventral densamente pontuado no terço posterior, com pontuação robusta e castanha; sulcada medianamente. Bordo ventral com uma escavação mediana rasa, estreita, alargando-se em direção ao ápice, delimitada por duas projeções intumescidas que se unem aos ângulos póstero-laterais (Fig. 20B). Parâmero sulcado, triangular, com duas projeções afiladas no ápice, uma longa dirigida anteriormente, e outra posterior curta (Fig. 20C). Processo da taça genital posicionado lateralmente ao segmento X, bífido, comprimido lateralmente, sendo a parte ventral triangular e a dorsal digitiforme (Fig. 20C). Segmento X com escavações laterais inconspícuas e sem pilosidade; face posterior com superfície irregular e pilosa, trapezoidal, intumescida e projetada lateralmente na metade superior e sulcada na inferior (Fig. 20C).

Genitália da fêmea (Fig. 20D): Gonocoxitos 8 convexos, lateral escavado; pontuação densa e homogênea; margem posterior arqueada, escavação do bordo sutural pequena, curta e estreita. Gonocoxitos 9 com carena presente e pontuados. Laterotergitos 8 com pontuação densa e castanha; projeção posterior não desenvolvida, dente distal inconspícuo. Laterotergitos 9 pontuados; não ultrapassando a banda que une dorsalmente os laterotergitos 8.

Comentários: Esta espécie a primeira vista pode ser confundida com *A. marginalis* devido a coloração castanho da superfície dorsal e ventral, contrastando com a cor amarelo-pálido do embólio e conexivo. *A. albomarginatus* também é castanho-

escura com a margem do cório amarela, no entanto, seu conexivo é castanho escuro ou claro, mas nunca amarelo. *A. castaneolineatus* pode ser facilmente diferenciada de *A. marginalis* pela presença de uma linha longitudinal castanha no embólio e no conexivo e por apresentar a escavação do processo metasternal atingindo a bifurcação posterior. Compartilha com *A. rufodorsatus* e *A. rufomarginatus* a posição lateral e forma bífida do processo da taça genital.

Distribuição (Fig. 26): **BRASIL**: Pará, Mato Grosso, Goiás.

Aceratodes marginalis **Dallas, 1851**

(Figs. 3G, 21, 27)

Aceratodes marginalis Dallas, 1851:335; Walker, 1868:453; Stål, 1872:57.

Edessa marginalis; Silva et al. 2004: 266; 2006: 345.

Material: BRASIL. **Mato Grosso:** ♀ Utiriti, 22-31- XII – 1966, Lenko & Pereira cols.. (MZUSP). **Distrito Federal:** ♂ Brasília, Lago Sul, Fazenda UNB, 10-XII-1970, Carlos, A. col.(UFRG). **Minas Gerais:** ♀ Lagoa Santa, 13-VIII-1953, Becker, J. col., 705, 13-VIII-1953 (comparado com o tipo) (UFRG); ♂, 05-VII-1965, 699 (RMNH).

Medidas (n= 3): Comprimento total: 14,2 - 16,6; Largura abdominal: 9,2 - 10,6; Comprimento total da cabeça: 2,3 - 2,4; Largura da cabeça: 3,0 - 3,1; Comprimento dos antenômeros: I: 0,6 - 1,1; II: 1,2 - 1,5; III: 1,7 - 2,1; IV: 2,7 - 3,3; V: 3,1 - 3,6; Comprimento do pronoto: 3,2 - 4,1; Largura do pronoto: 8,5 - 10,1; Comprimento do escutelo: 6,6 - 7,8; Largura do escutelo: 5,6 - 6,6.

Diagnose: Superfície dorsal e ventral do corpo, pernas e antenas castanho-escuras, contrastando com a coloração amarelada da margem anterolateral do pronoto, parte do embólio, conexivo e margem ventral do abdome. Processo metasternal estreito no início da bifurcação, com os braços tão largos quanto o rostro; escavação do processo alcançando o meio das mesocoxas. Pigóforo com a lateral intumescida até os ângulos póstero-laterais.

Cabeça: Placas mandibulares com pontuação esparsa e concolor, com sulcos transversais e ápice curvado ventralmente. Antenas não pontuadas, antenômeros em ordem crescente de comprimento do primeiro ao quinto, sendo o quarto duas vezes maior que o terceiro. Búculas pontuadas. Rostro alcança a bifurcação do processo metasternal, o qual acomoda parcialmente o quarto segmento; primeiro segmento do rostro tão longo quanto às búculas, segundo menor que a soma do terceiro e quarto.

Tórax: Pronoto e grande parte do escutelo com textura enrugada, pontuação densa e escura alternada com áreas calosas concolores. Margem anterolateral emarginada, reta e crenulada devido a pequenos sulcos transversais; ângulo anterolateral formando um dente inconspícuo. Propleura com pontuação escura, metade posterior com pontuação intercalada com áreas calosas concolores. Embólio mais claro que o restante do cório e com pontuação grande e densa. Clavo pontuado igual ao cório. Veias de mesma coloração que o cório. Membrana do hemiélitro castanho escuro. Processo metasternal não pontuado; atingindo o terço posterior do mesosterno; bifurcação estreita com os braços pouco divergentes (Fig. 21E). Evaporatório não pontuado. Peritrema ocupa cerca de 2/3 da distância entre a abertura da glândula e a margem do corpo. Pernas não pontuadas.

Abdome: Conexivo com pontuação fina, concolor e densa, ângulos pósterolaterais não desenvolvidos. Face dorsal castanho escuro. Face ventral do abdome com pontuação concolor e densa, particularmente junto a margem lateral; parte com áreas calosas concolores entre os pontos. Espiráculos elípticos. Um dos tricobótrios alinhados e outro externo aos espiráculos.

Genitália do macho: Pigóforo retangular, em vista dorsal (Fig. 21A). Bordo dorsal escuro e com superfície áspera; área intumescida lateral com uma constrição mediana (Fig. 21A). Face ventral pontuada no terço posterior, com pontuação grande, escura e densa, ocorrem ainda sulcos profundos na região mediana. Bordo ventral com uma escavação mediana ampla e profunda, delimitada por duas projeções acuminadas, grandes e fortemente intumescidas que quase atingem o níveis dos ângulos pósterolaterais, em vista ventral (Fig. 21B). Parâmero curto e com dois processos no ápice, um curto e falciforme e o outro digitiforme, longo e com ápice rombo quase tocando a base do segmento X (Fig. 21C). Processo da taça genital piriforme, posicionado lateralmente na taça genital, parte mais larga escavada (Fig. 21C). Segmento X com escavações

laterais estreitas e pouco profundas com pilosidade curta e esparsa; face posterior ogival, declivente, com a parte superior, laterais intumescidas e a inferior plana e sulcada; carena mediana presente (Fig. 21C).

Genitália da fêmea (Fig. 21D): Gonocoxitos 8 convexos e lateralmente côncavo; densamente pontuado e sulcado na metade interna; margem distal suavemente arqueada; escavação mediana do bordo sutural curta e pequena. Gonapófises 8 não visíveis. Gonocoxitos 9 convexos transversalmente, esparsamente pontuado e com carena mediana presente. Laterotergitos 8 fortemente curvado junto aos laterotergitos 9; pontuação densa e escura; projeção posterior pouco desenvolvida, formando um dente inconspícuo. Laterotergitos 9 com pontuação densa e sulcado; escavado na base; alcançando a banda que une dorsalmente os laterotergitos 8.

Comentários: Padrão de coloração parecido com o de *A. castaneolineatus*, porém sem a presença da linha castanha no cório e no conexivo como ocorre nesta espécie. Outra espécie escura é *A. albomarginatus*, porém essa possui o conexivo castanho.

Distribuição (Fig. 27): **BRASIL:** Mato Grosso, Minas Gerais, Goiás e Distrito Federal.

Aceratodes rufodorsatus (Silva, Fernandes e Grazia, 2006) **COMB. NOVA**

(Figs. 3H, 22, 27)

Edessa rufodorsata Silva et al., 2006: 356.

Material-tipo examinado: Holótipo ♂, ARGENTINA, Tucumán: Los Nogales (Dpto. Capital), 28-I-1947, Ares col. (MCNZ), Parátipos, BRASIL. **Mato Grosso:** ♂14-XII-12-1964, B. Malkin col. (MZUSP); ♂ Cuiabá, C. Heller V. col., 200engt-meillen v. (ZMHB). **São Paulo:** ♀ Limeira, 01-XII-1953 (MCNZ). ARGENTINA. **Salta:** ♀ Rio Bermejo, V-1914 (CMNH). **Tucuman:** ♂♀ 887, ♂ Los Nogales, Dpt. Capital, 28-I-1947, Ares col. (MACN). PARAGUAI. **San Bernardino:** ♂ III-1978, K. Fiebrig S. V. col., 720 (ZMHB).

Medidas (n= 7): Comprimento total: 14,2 - 16,3; Largura abdominal: 9,5 - 11,0; Comprimento total da cabeça: 2,0 - 2,3; Largura da cabeça: 2,6 - 3,1; Comprimento dos

antênômeros: I: 0,6 - 0,7; II: 1,1 - 1,5; III: 1,2 - 2,1; IV: 2,3 - 3,0; V: perdido; Comprimento do pronoto: 3,5 - 4,2; Largura do pronoto: 9,0 - 10,2; Comprimento do escutelo: 6,7 - 7,8; Largura do escutelo: 5,5 - 6,6.

Diagnose: Superfície dorsal do corpo verde contrastando com a coloração vermelha do conexivo e amarelo pálido da margem do cório no terço superior. Face ventral alaranjada. Face ventral do abdome não pontuada. Antenas amarelas e pernas alaranjadas. Embólio distinto do cório apenas em sua parte anterior que é clara. Processo metasternal com braços os da bifurcação curtos e pouco desenvolvidos, escavação atingindo no máximo a margem anterior das mesocoxas.

Cabeça: Placas mandibulares com sulcos transversais, pontuação densa e concolor; ápice curvado ventralmente. Antenas não pontuadas; antênômeros em ordem crescente de comprimento do primeiro ao quinto. Búculas pontuadas. Rostro pode ou não alcançar a bifurcação do processo metasternal, quando alcança o quarto segmento é acomodado parcialmente por esta bifurcação; primeiro segmento do rostro tão longo quanto as búculas, segundo segmento menor que terceiro e quarto reunidos.

Tórax: Pronoto, escutelo e cório com pontuação castanha e densa. Margem anterolateral emarginada e reta, lisa ou levemente crenulada; ângulo anterolateral formando um dente muito pequeno. Propleura pontuada densamente na metade posterior. Cório pontuado uniformemente, com pontuação mais densa que no escutelo. Veias de mesma coloração que o cório; membrana do hemiélitro castanha. Processo metasternal não pontuado; bifurcação anterior do processo com braços curtos, atingindo o terço posterior do mesosterno (Fig. 22E). Evaporatório não pontuado. Peritrema ocupa cerca de 3/5 da distância entre a abertura da glândula e a margem do corpo. Pernas não pontuadas.

Abdome: Conexivo com pontuação fina, concolor e densa; ângulos pósterolaterais não desenvolvidos. Superfície dorsal do abdome vermelha. Regiões intersegmentares e cicatrizes pouco mais escuras que o restante do abdome. Espiráculos elípticos. Um dos tricobótrios externo e o outro alinhado aos espiráculos.

Genitália do macho: Pigóforo retangular em vista dorsal (Fig. 22A). Bordo dorsal levemente áspero na região mediana; intumescido junto aos ângulos pósterolaterais (Fig. 22A). Superfície ventral esparsamente pontuada no terço posterior, sulcada

e com uma gibosidade central (Fig. 22B). Bordo ventral com a escavação mediana rasa e ampla, delimitada por duas projeções arredondadas e intumescidas que não atingem ao nível dos ângulos póstero-laterais (Fig. 22B). Parâmero túmido, triangular, com duas projeções apicais achatadas, uma curta, com o ápice agudo e dirigido dorsalmente, a posterior é mais curta, truncada e dirigida lateralmente (Fig. 22C). Processo da taça genital achatado, quadrangular, sulcado medianamente, com as partes semelhantes em forma e tamanho. Segmento X com escavações laterais estreitas e profundas recobertas por uma pubescência densa e longa; face posterior arredondada, plana, sulcada e perpendicular ao eixo frontal; lateral emarginada (Fig. 22C).

Genitalia da fêmea (Fig. 22D): Gonocoxitos 8 convexos e com pontuação densa; lateral côncavos; margem posterior arqueada, com escavação do bordo sutural inconspícua. Gonapófises 8 não visíveis. Gonocoxitos 9 convexos e não pontuados. Laterotergitos 8 não pontuados; projeção posterior pouco desenvolvida e com dente inconspícuo. Laterotergitos 9 não pontuados; escavados na base; ultrapassam a banda que une dorsalmente os laterotergitos 8.

Comentários: Esta espécie é muito semelhante a *A. rufomarginatus*, diferenciando-se desta principalmente pelo primeiro segmento do rostro que apresenta o mesmo comprimento das búculas, face dorsal do abdome avermelhada. Compartilha com *A. castaneolinetus* e *E. rufomarginatus* o processo da taça genital, achatado, quadrangular, fendido medianamente.

Distribuição (Fig. 27): **BRASIL:** Mato Grosso, São Paulo; **ARGENTINA:** Salta, Tucuman; **PARAGUAI:** San Bernardino.

Aceratodes abdominalis (Erichson, 1848) **COMB. NOVA**

(Figs. 31, 23, 27)

Edessa abdominalis Erichson, 1848:611; Walker, 1868: 428; Stål, 1872: 60; Distant, 1881: 99; Lethierry & Severin, 1893: 188; Breddin, 1907:345; Kirkaldy, 1909: 154; Silva et al., 2004: 267; 2006: 347.

Aceratodes discolor Dallas, 1851: 334; Walker, 1868: 453; Stål, 1872: 57.

Material: lectótipo, ♂ BRITISH GUYANA, R. Schomburg col. (ZMHB).

Material adicional: VENEZUELA. **Bolivar:** ♀ Água fria, 28-X-1966, J. & B. Bechyne cols. (MIZA); 2♀ Rio Chirima, 12-X-1966, J. Bechyne, B. , & Osuna cols. (MIZA); 2♀ 190m; ♀ São Francisco, 26-X-1966 (MIZA). **Guarico:** ♀♂ El Sombrero, 11-12-X- 1951, H.B. & R. B. cols. (MIZA). SURINAME. ♀ P.H.v. Doesburg Jr. Col. (RMNH); ♀ (UFRG); ♂ Pbi Brownsberg, Km 54, 19-VII-1975, L. H. Rolston col. (DAR); ♂ Zanderij, P2204, 09-V-1963, P.H. v. Doesburg Jr.col. 133 (RMNH). BRASIL. **Goiás:** ♀ Jataí, XII-1963, M. Alvarenga col. (MNRJ); ♂ Fazenda Cachoerinha, X-1962, Exp. Dep. Zool. (MZUSP). **Mato Grosso do Sul:** ♂ Miranda, Pousada Caiman, 22-I-1992, N. V. de Sousa col. (UFRG).

Medidas (n= 15): Comprimento total: 13,4 - 15,5; Largura abdominal: 8,0 - 10,0; Comprimento total da cabeça: 1,8 - 2,6; Largura da cabeça: 2,6 - 3,1; Comprimento dos antenômeros: I: 0,5 - 0,7; II: 1,0 - 1,4; III: 1,4 - 2,0; IV: 2,3 - 3,0; V: 2,5 - 3,1; Comprimento do pronoto: 3,0 - 3,6; Largura do pronoto: 7,7 - 9,2; Comprimento do escutelo: 5,7 - 7,4; Largura do escutelo: 4,8 - 5,8.

Diagnose: Coloração dorsal da cabeça e tórax verde, contrastando com a cor vermelha do conexivo, amarelo-pálido do bordo anterolateral do pronoto e porção proximal da margem do cório. Superfície ventral do corpo amarela ou alaranjada. Antenas amarelas e pernas alaranjadas. Superfície dorsal com pontuação concolor; pronoto e parte proximal do escutelo com textura enrugada devido as áreas calosas que se elevam por entre a pontuação. Embólio com pontuação concolor, maior e mais profunda que no restante do cório. Processo metasternal com escavação atingindo o final das mesocoxas; braços da bifurcação levemente divergentes exceto no ápice onde são levemente divergentes.

Cabeça: Placas mandíbulares levemente inclinadas, com o ápice pouco curvado ventralmente, sulcadas transversalmente e não pontuadas. Antenas não pontuadas, antenômeros em ordem crescente de comprimento do primeiro ao quarto, quarto pouco maior que o terceiro e subigual ao quinto. Búculas sulcadas e não pontuadas. Rostro alcança a bifurcação do processo metasternal, o qual acomoda o quarto e parcialmente o terceiro segmento; primeiro segmento do rostro mais longo que as búculas, segundo subigual ao terceiro e quarto reunidos.

Tórax: Pronoto com margem anterolateral emarginada, reta, ângulo anterolateral com um dente inconspícuo. Propleura com pontuação concolor, fina e

restrita a porção posterior. Cório com pontuação densa e concolor. Clavo pontuado igual ao restante do cório. Veias concolores. Membrana do hemiélitro castanha. Bifurcação anterior do processo metasternal com braços curtos atingindo o terço posterior do mesosterno (Fig. 23E). Evaporatório não pontuado. Peritrema ocupa mais da metade da distância entre a abertura da glândula e a margem do corpo. Pernas não pontuadas.

Abdome: Conexivo com pontuação fina, concolor e densa; ângulos pósterolaterais desenvolvidos. Face dorsal negra. Face ventral com pontuação concolor, pequena e densa, exceto na região mediana. Espiráculos elípticos. Tricobótrios externos a linha dos espiráculos.

Genitália do macho: Pigóforo retangular em vista dorsal (Fig. 23A). Bordo dorsal com sulcos rasos (Fig. 23A). Face ventral densamente pontuada no terço posterior. Bordo ventral com uma escavação mediana profunda, delimitada por duas projeções levemente intumescidas de mesmo nível que os ângulos pósterolaterais do pigóforo (Fig. 23B). Parâmero subcilíndrico com duas projeções no ápice, uma longa e digitiforme dirigida anteriormente e outra pequena e arredondada dirigida posteriormente, ligando as duas uma borda negra (Figs. 23C). Processo da taça genital posicionado anterolateralmente, intumescido, sub-retangular, com ápice escavado (Fig. 22C). Segmento X com as escavações laterais rasas e estreitas, com pouca pilosidade; face posterior trapezoidal e com carena mediana baixa e larga (Fig. 23C).

Genitália da fêmea (Fig. 23D): Gonocoxitos 8 convexos e com pontuação densa; levemente côncava lateralmente; margem posterior arqueada ou levemente acuminada; escavação do bordo sutural inconspícua. Gonapófises 8 pouco visíveis. Gonocoxitos 9 com carena mediana presente ou não, e não pontuado. Laterotergitos 8 com pontuação concolor; margem posterior projetada. Laterotergitos 9 não pontuado; ultrapassando pouco a banda que une dorsalmente os laterotergitos 8.

Comentários: Uma característica marcante desta espécie é a coloração avermelha do conexivo, compartilhada apenas com *A. rufodorsatus* e algumas formas de *A. rufomarginatus*. Mas podem ser separadas destas pela forma do processo da taça genital e forma do parâmero. Compartilha com *A. carnosus* e *A. marginalis* a forma do processo da taça genital, porém este é deslocado mais para a lateral em *A. marginalis* e é

maior e mais próximo do bordo dorsal em *A. carnosus*; além disso essas duas espécies são mais escuras do que *A. abdominalis*.

Distribuição (Fig. 27): **VENEZUELA**: Guarico, Bolivar; **SURINAME**: Paramaribo; **BRASIL**: Mato Grosso do Sul, Goiás.

5. REFERÊNCIAS BIBLIOGRÁFICAS

- AMYOT, C. J. B. & SERVILLE, A. 1843. **Histoire naturelle des insectes. Hémiptères. Cuvrage accompagné de planches.** Paris, Librairie encyclopédique de Roret, lxxvi+675.
- ARCGIS® 10.0 Esri. 2010. **GIS Environmental Systems Research Institute, Inc.,** California.
- BARCELLOS, A. & GRAZIA, J. 2003. Cladistics analysis and biogeography of *Brachystetus* Laporte (Heteroptera, Pentatomidae, Edessinae). **Zootaxa.** 256: 1-14.
- BERG, C. 1879. **Hemiptera Argentina. Enumeravit Speciesque Novas.** Bonaria & Hamburg, 316.
- BERG, C. 1884. Addenda et emendanda ad Hemiptera Argentina. **Anales de la Sociedad Científica Argentina.** 15: 193-217.
- BERG, C. 1892. Nova Hemiptera faunarum argentinae et uruguayensis. **Anales de la Sociedad Científica Argentina.** 33: 43-50.
- BERG, C. 1894. Hemipteros-Heteropteros nuevos o poco conocidos. **Anales del Museo Nacional de Montevideo.** 1: 13-27.
- BERGROTH, E. 1891. Contributions a l'étude des pentatomides. **Revue d'Entomologie.** 10: 200-235.
- BERGROTH, E. 1905. Rhynchota neotropica. **I. Revue d'Entomologie.** 24: 104-112.
- BLANCHARD, E. 1840. **Histoire naturelle des Insectes.** III. P. Dúmenil. Paris. 143-144.
- BREDDIN, G. 1903. Neue Arten der Gattung Edessa Fab. **Societas Entomologica.** 18: 131-132.

- BREDDIN, G. 1904. Beiträge zur Systematik der Rhynchoten. **Sitzungs- Berichte. Naturforsch. Freunde zu Berlin.** 6: 135-153.
- BREDDIN, G. 1907. Beiträge zur systematik der Pentatomiden Südamerikas. **Sitzungs Berichte der Gesellschaft Naturforschender Freunde zu Berlin.** 327-348.
- BURMEISTER, H. 1835. **Handbuch der Entomologie.** II. Berlin. T. C. F. Enslin, 353-356.
- CALLAN, E. McC. 1948. The Pentatomidae, Cydnidae and Scutelleridae of Trinidad, B.W.I. **Proceedings of the Royal Entomological Society of London. Taxonomy.** 17: 115-124.
- COQUEBERT, A. J. 1801. **Illustratio iconographica insectorum que in Musaeis parisinis observavit et in lucem edidit Joh. Christ. Fabricius, praemissis ejusdem descriptionibus.** Paris. 2: 45-88.
- DALLAS, W. S. 1851. **List of the specimens of hemipterous insects in the collection of the British Museum.** Parte 1. Londres, 390, 15 pls.
- DE GEER, J. C., 1773. **Mémoires pour servir à l'histoire des insectes.** Stockholm, 330, 34 pls.
- DISTANT, W. L. 1880-1893. **Biologia Centrali-America. Insecta. Rhynchota. Hemiptera-Heteropte.** 1: 458.
- DISTANT, W. L. 1887. Enumeration of the Van Volxem collection of Rhynchota contained in the Brussels' Museum. Part I. **Comptes rendus des séances Annales de la Société Entomologique de Belgique.** 3: 88: LXIII.
- DISTANT, W. L. 1900. Rhynchotal notes IV. Heteroptera: Pentatominae (part). **Annals and Magazine of Natural History.** 5: 420 - 435.
- ERICHSON, W. F. 1848. Insecten. In Schomburgk, R., **Reisen in Britisch Guiana.** Leipzig, 3: 610.
- FABRICIUS, J. C. 1775. Systema Entomologiae, sistens insectorvm, classes, ordines, genera, species, adiectis synonymis, locis, descriptionibus, observationibus. **Flensbvroi et Lipsiae in Officina Libraria Kortii.** 701.
- FABRICIUS, J. C. 1794. Entomologia systematica emendata et aucta. Secundum classes, ordines, genera, species, adjectis synonymis, locis observationibus, descriptionibus. **Hafniae.** Copenhagen. Proft and Storch. 2: 519.
- FABRICIUS, J. C. 1798. Supplementum entomologiae systematicae. **Hafniae.** Copenhagen. Proft and Storch. 572.

- FABRICIUS, J. C. 1803. Systema rhyngotorum secundum ordines, genera, species, adjectis, synonymis, locis, observationibus, descriptionibus. **Brunsvigae**. 335.
- FERNANDES, J. A. M. & van DOESBURG. 2000a. The *E. dolichocera*-group of *Edessa* Fabricius, J. C. 1803 (Heteroptera: Pentatomidae: Edessinae). **Zoologische Mededelingen Leiden**. 73: 305-315.
- FERNANDES, J. A. M. & van Doesburg, P. H. 2000b The *E. beckeri*-group of *Edessa* Fabricius, 1803 (Heteroptera: Pentatomidae: Edessinae). **Zoologische Mededelingen Leiden**. 74: 143-150.
- FERNANDES, J. A. M. & van DOESBURG, P. H. 2000c The *E. cervus*-group of *Edessa* Fabricius, 1803 (Heteroptera: Pentatomidae: Edessinae). **Zoologische Mededelingen Leiden**. 74: 151-165.
- FERNANDES, J. A. M., van DOESBURG, P. H. & GREVE, C. (2001). The *E. collaris*-group of *Edessa* Fabricius, 1803 (Heteroptera: Pentatomidae: Edessinae). **Zoologische Mededelingen Leiden**. 75: 239-250.
- FERNANDES, J. A. M. 2010. A new genus and species of Edessinae from Amazon Region (Hemiptera: Heteroptera: Pentatomidae). **Zootaxa**. 2662: 53-65.
- FERNANDES, J. A. M. & CAMPOS, L. D. 2011. A new group of species of *Edessa* Fabricius, 1803 (Hemiptera: Heteroptera: Pentatomidae). **Zootaxa**. 3019: 63-68.
- FORTES, N. D. F. & GRAZIA, J. 1990. Estudo dos estágios imaturos de *Edessa rufomarginata*(De Geer, 1773) (Heteroptera, Pentatomidae). **Anais da Sociedade Entomológica do Brasil**. Porto Alegre. 19(1): 191-200.
- FROESCHNER, R. C. 1981. Heteroptera or true bugs of Ecuador: A partial catalog. **Smithsonian contribution to Zoology**. 322: 65.
- GRAZIA, J.; R. T. SCHUH, & W. C. WHEELER. 2008. Phylogenetic relationships of family groups in Pentatomoidea based on morphology and DNA sequences (Insecta: Heteroptera). **Cladistics**. 24: 932-976.
- GRAZIA, J.; CAVICHIOLI, R. R.; WOLFF, V. R. S.; FERNANDES, J. A. M & TAKIYA, D. M. 2012. Hemiptera. In: **Insetos do Brasil. Diversidade e Taxonomia**. Ribeirão Preto, Holos Ed. 1: 347-406.
- GUÉRIN M. F. E. 1857 Ordre d'Hemipteres. In: **Sagra: Histoire physique, politique & Naturelle de l'Isle de Cuba. Animaux articulés a pieds articulés**. Paris, Arthus Bertrand. 868. 1-20.

- HERRICH – SCHÄFFER. 1838. Die wanzenartigen Insecten: getreu nach der Natur abgebildet und beschrieben. :In **der C.H. Zeh'schen Buchhandlung, 1831-1853.** 4: 19. CXV.
- HERRICH – SCHÄFFER. 1844. Die wanzenartigen Insecten: getreu nach der Natur abgebildet und beschrieben :In **der C.H. Zeh'schen Buchhandlung, 1831-1853.**
- KIRKALDY, G. W. 1909. **Catalogue of the Hemiptera (Heteroptera) with biological and anatomical references, lists of foodplants and parasites. Cimicidae.** Felix L. Dames. Berlin. 1: XL+392.
- LAPORTE, P. F. L. 1832. Classification Systématique de L'ordre Des Hémiptères (Hémiptères Hétéroptèresm Latr.). In: **Magasin de Zoologie.** Guérin, Par. F. E. Paris, Chez Lequien Fils. 61.
- LETHIERRY, L. & SEVERIN, G. 1893. **Catalogue général des Hémiptères. Tome I: Hétéroptères: Pentatomidae.** Musee royal d'histoire naturelle de Belgique Bruxelles.1: X+286.
- PALISOT de BEAUVOIS, A. M. F. J. 1808. **Recueillis en Afrique et en Amérique, dans les royaumes d'Oware et de Benin, à Saint-Domingue et dans les États-Unis, pendant les années 1786-1797.** Paris, Schoell et al. ed. 267. 90.
- PANIZZI, A. R.; McPHERSON, J. E.; JAMES, D. J.; JAVAHERY, M. & McPHERSON, M. 2000. Stink bugs (Pentatomidae). In: **Heteroptera of Economic Importance.** Schaefer, C. W. & Panizzi A. R. eds. United States of America. CRC Press, 421-474.
- PEREZ-GELABERT & THOMAS, 2005. Stink bugs (Heteroptera: Pentatomidae) of the island of Hispaniola, with seven new species from the Dominican Republic. **Boletín Sociedad Entomológica Aragonesa.** 37: 319-352.
- PIRÁN, A. A. 1948. La dispersion geografica de los hemipteros neotropicales. **Acta Zoologica Lilloana.** 5: 5–17.
- RIZZO, H. F. 1971.Aspectos morfológicos y biológicos de *Edessa meditabunda* (F.) (Hemiptera, Pentatomidae). **Revista Peruana de Entomologia.** 14: 272-281.
- RIZZO, H. F. & SAINI, E. D. 1987. Aspectos morfológicos y biológicos de *Edessa rufomarginata* (De Geer) (Hemiptera, Pentatomidae). **Revista de la Facultad de Agronomía.** Buenos Aires, 8 (1-2): 51-63.
- SAY, T. 1832. **New species of North American insects, found by Joseph Barabino, chiefly in Louisiana. Complete Writings.** I: 300-309.

- SCHUH, R. T. & SLATER, J. A. 1995. True bugs of the world (Hemiptera: Heteroptera). **Classification and Natural History**. Ithaca, Cornell University Press, 336.
- SHARP, D. 1890. XII. On the structure of the terminal segment in some male Hemiptera. **Transactions of the Royal Entomological Society of London**. 38: 399-427
- SILVA, A. G. D.'A.; GONÇALVES, C. R.; GALVÃO, D. M.; GONÇALVES, A. J. L.; GOMES, J.; SILVA, M. N. & SIMONI, L.. 1968. **Quarto Catálogo dos Insetos que Vivem nas Plantas do Brasil - Seus Parasitas e Predadores**. Parte II, I. Ministério da Agricultura, Rio de Janeiro, Brasil. 622.
- SILVA, E. J.; FERNANDES, J. A. M. & GRAZIA, J. 2004. Variações morfológicas em *E. rufomarginata* e revalidação de *E. albomarginata* e *E. marginalis* (Heteroptera, Pentatomidae, Edessinae). **Iheringia, série zoologia**. 94 (3): 261-268.
- SILVA, E. J.; FERNANDES, J. A. M. GRAZIA, J. 2006. Caracterização do grupo *E. rufomarginata* e descrição de sete novas espécies (Heteroptera, Pentatomidae, Edessinae). **Iheringia, série zoologia**. 96 (3): 345-362.
- SILVA, V. J. & FERNANDES, J. A. M. 2012. A new group of species of *Edessa* Fabricius, 1803 (Hemiptera: Heteroptera: Pentatomidae). **Zootaxa**. 3313: 12- 22.
- STÅL, C. 1855. Nya Hemiptera. **Öfversigt af Kongliga Vetenskaps-Akademiens Förhandlingar**. 12 (4): 181-192.
- STÅL, C. 1856. Hemipterologiska bidrag. **Öfversigt af Kongliga Vetenskaps Akademiens Förhandlingar**. 13 (3): 51-68.
- STÅL, C. 1859. Hemiptera. Species novas descripsit. Kongliga Svenska Fregatten Eugénies Resa Omkring Jorden. **Kongliga Svenska Vetenskap-Akademiens Handlingar. Zool.** 4: 219-298.
- STÅL, C. 1860. Bidrag till Rio Janeiro. Traktens Hemiptera fauna. **Kongliga Svenska-Vetenskap Akademien Handlingar**. 2 (7): 1-84.
- STÅL, C. 1862. Hemiptera Mexicana. Enumeravit speciesque news descripsit. **Stettiner entomologische Zeitung**. 23: 81-118.
- STÅL, C. 1868. Hemiptera Fabriciana. **Kongliga Svenska-Vetenskap Akademien Handlingar**. 7 (11): 1-148.
- STÅL, C. 1872. Enumeratio Hemipterorum II. **Kongliga Svenska Vetenskaps-Akademiens Handlingar**. 10 (4): 1-159.

- STOLL, C 1788. **Représentation exactement colorée d'après nature des Punaises, qui se trouvent dans les quatre parties du monde, l'Europe, l'Asie, l'Afrique et l'Amérique rassemblées et décrites.** Amsterdam, Jan Christiaan Sepp. 172.
- UHLER, P. R. 1894. On the Hemiptera-Heteroptera of the Island of Grenada, West Indies. **Proceedings of the Zoological Society of London.** 12: 167-224.
- VAN DUZEE, E. P. 1901. Notes on some Hemiptera from British Guiana. **Transactions of the American Entomological Society.** 27: 343-352.
- WALKER, F. 1868. **Catalogue of the specimens of Heteropterous-Hemiptera in the collection of the British Museum.** London, British Museum. Parts 1 - 3, 599.
- WESTWOOD, J. 1837. **A Catalogue of the Hemiptera in the collection of the Rev. Hope, M.A. With short Latin descriptions of the new species.** London, 46.

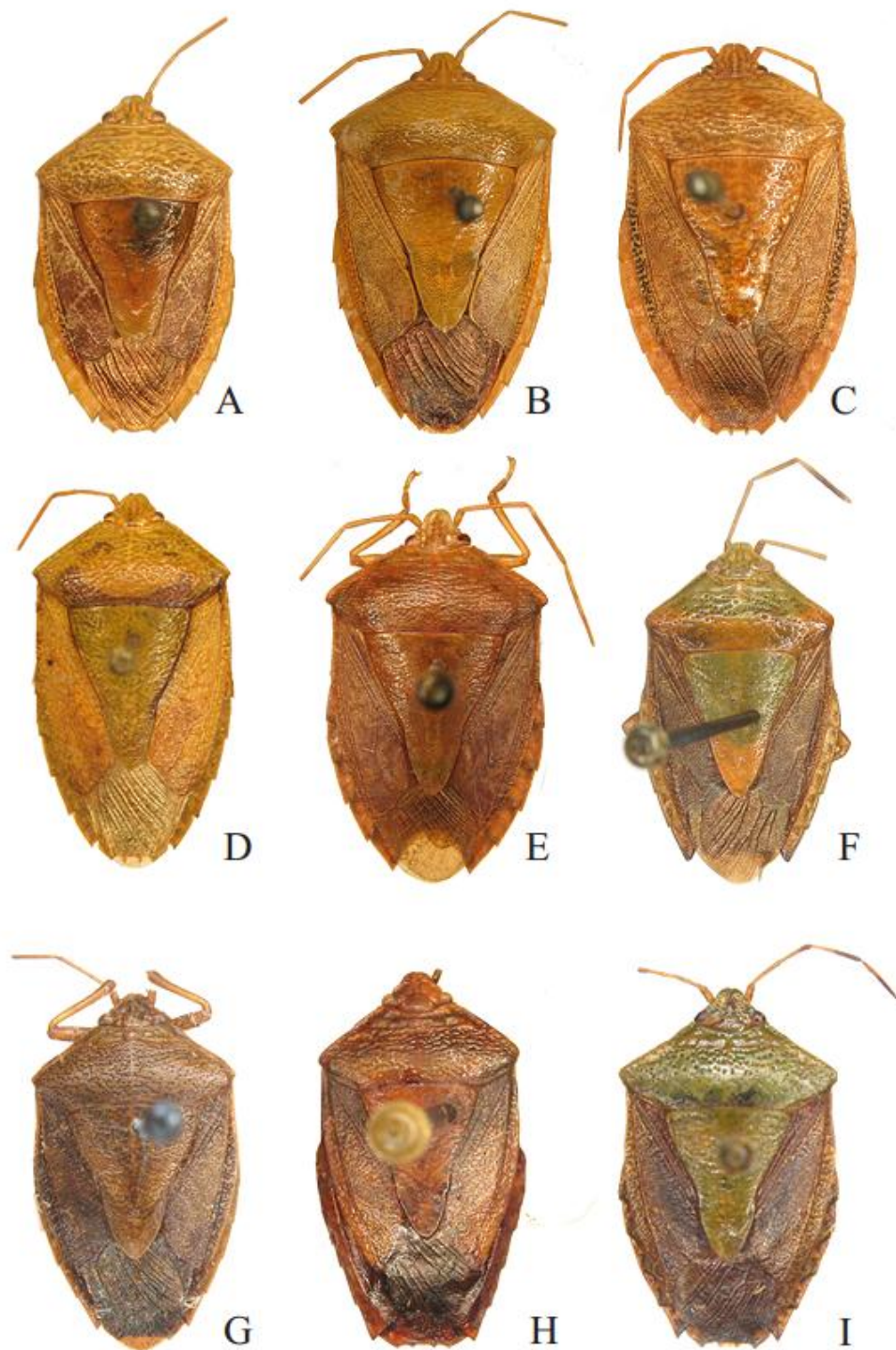


Figura 2: Superfície dorsal das espécies de *Aceratodes*. **A:** *A. luteovenulatus*. **B:** *A. aulacosternus*. **C:** *A. ovalis*. **D:** *A. cerradensis*. **E:** *A. chapadensis*. **F:** *A. meditabundus*. **G:** *A. sternalis*. **H:** *A. mexicanus*. **I:** *Aceratodes* sp nova 1.

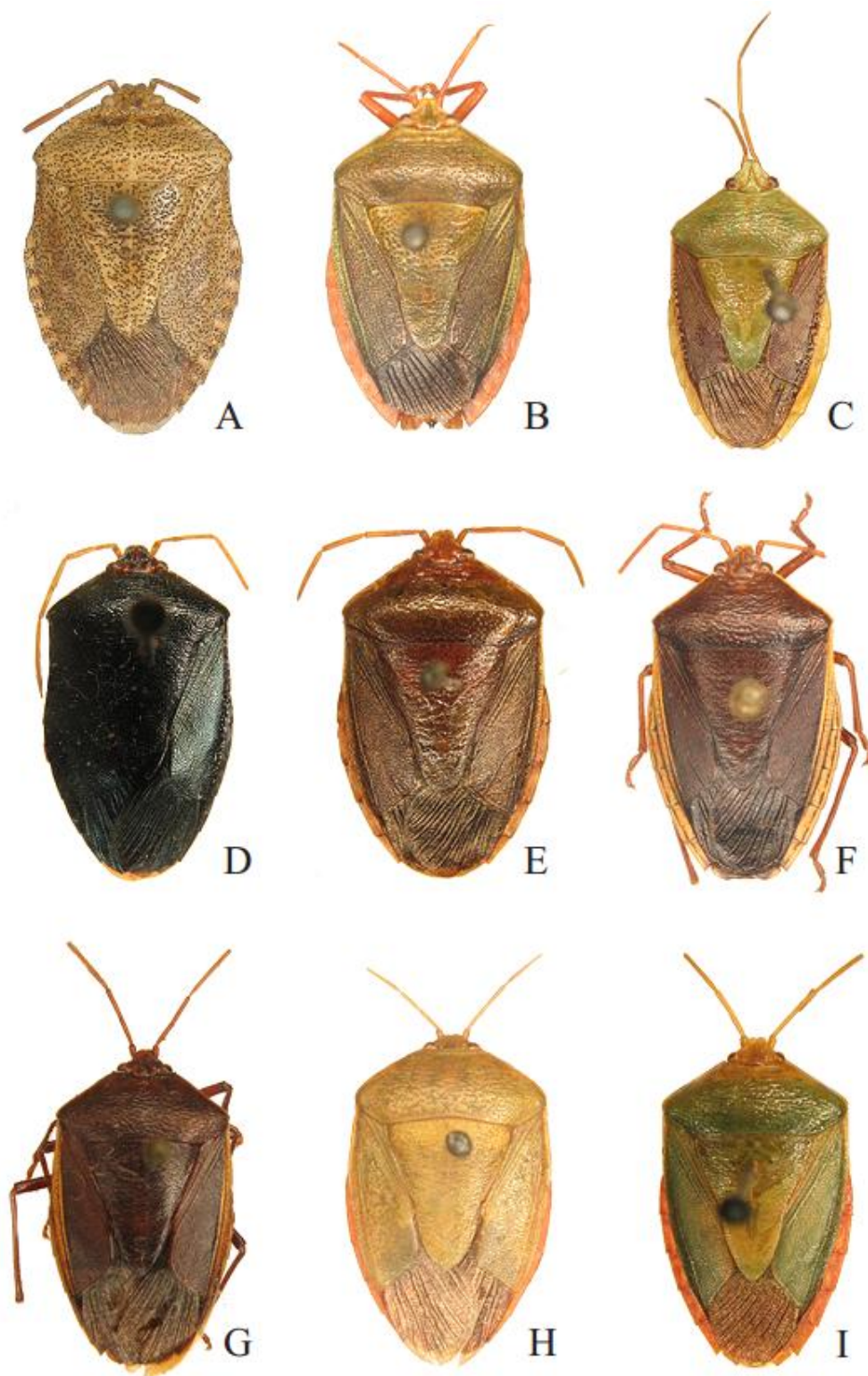


Figura 3: Superfície dorsal das espécies de *Aceratodes*. **A:** *A. piperitius*. **B:** *A. fulvicornis*. **C:** *A. brasiliensis*. **D:** *A. carnosus*. **E:** *A. albomarginatus*. **F:** *A. castaneolineatus*. **G:** *A. marginalis*. **H:** *A. rufodorsatus*. **I:** *A. abdominalis*.

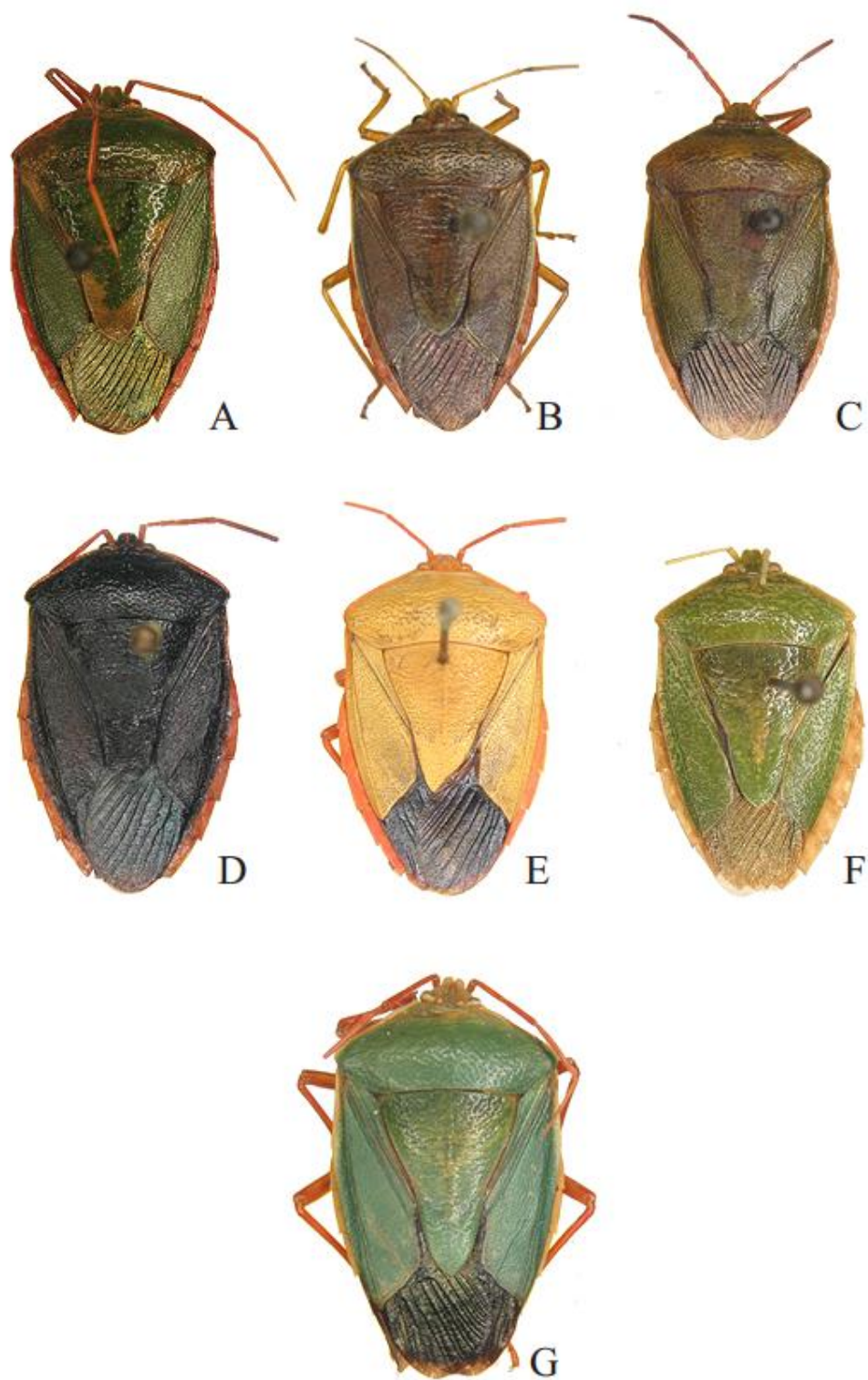


Figura 4: Superfície dorsal das formas de *A. rufomarginatus*. **A:** forma I. **B:** forma II. **C:** forma III. **D:** forma IV. **E:** forma V. **F:** forma VI. **G:** forma VII.

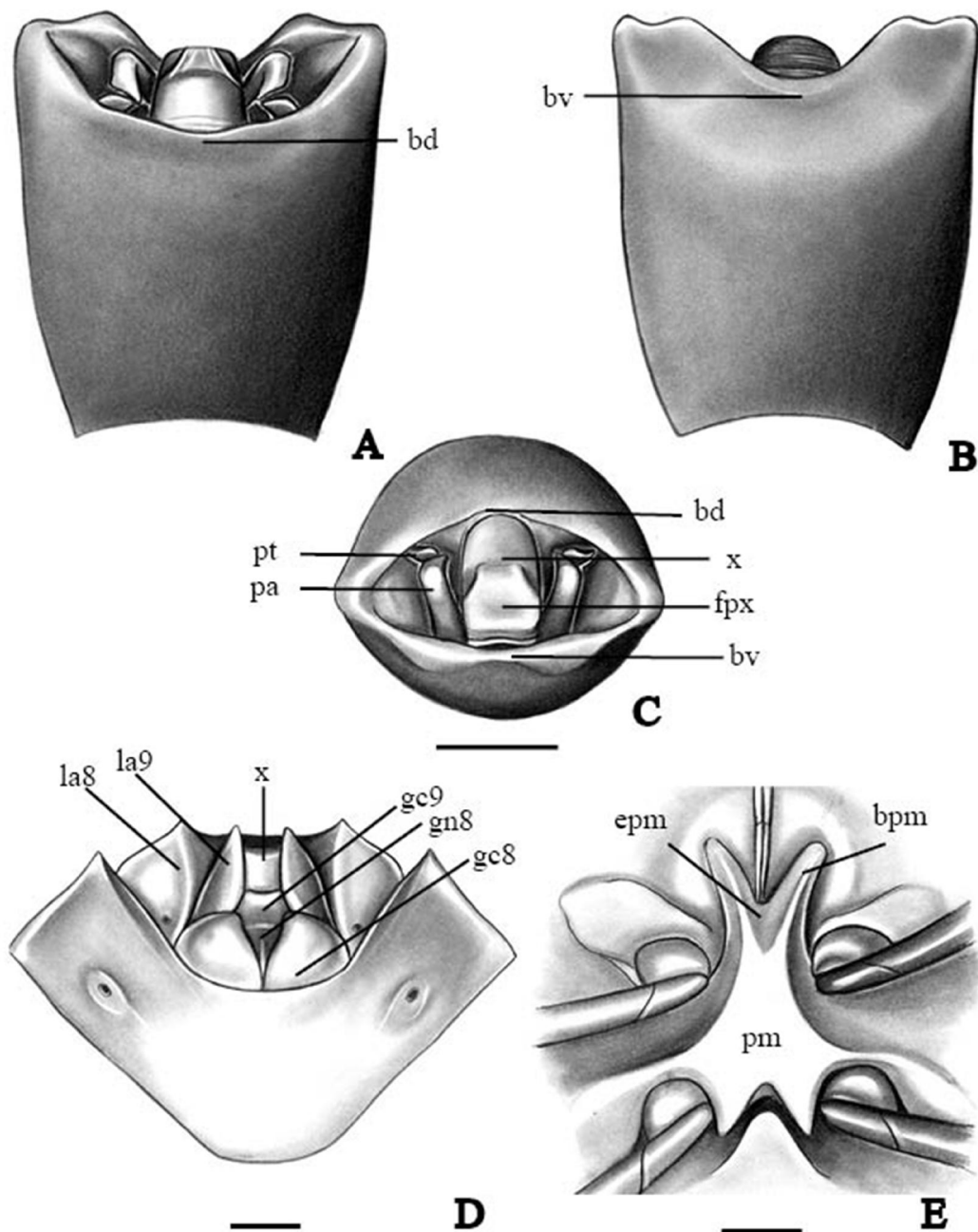


Figura 5: *A. luteovenulatus*. **A:** Pigóforo em vista dorsal; **B:** Pigóforo em vista ventral; **C:** Pigóforo em vista posterior; bd: bordo dorsal; bv: bordo ventral; pt: processo da taça genital; pa: parâmero; X: segmento X. **D:** Genitália feminina em vista ventral; gc8: gonocoxitos 8; gn8: gonapófises 8; gc9: gonocoxitos 9; la8: laterotergitos 8; la9: laterotergitos 9; X: segmento X; face posterior do segmento X. **E:** Processo metasternal (pm); epm: escavação do processo metasternal; bpm: braços da bifurcação do processo metasternal. Escala = 1mm.

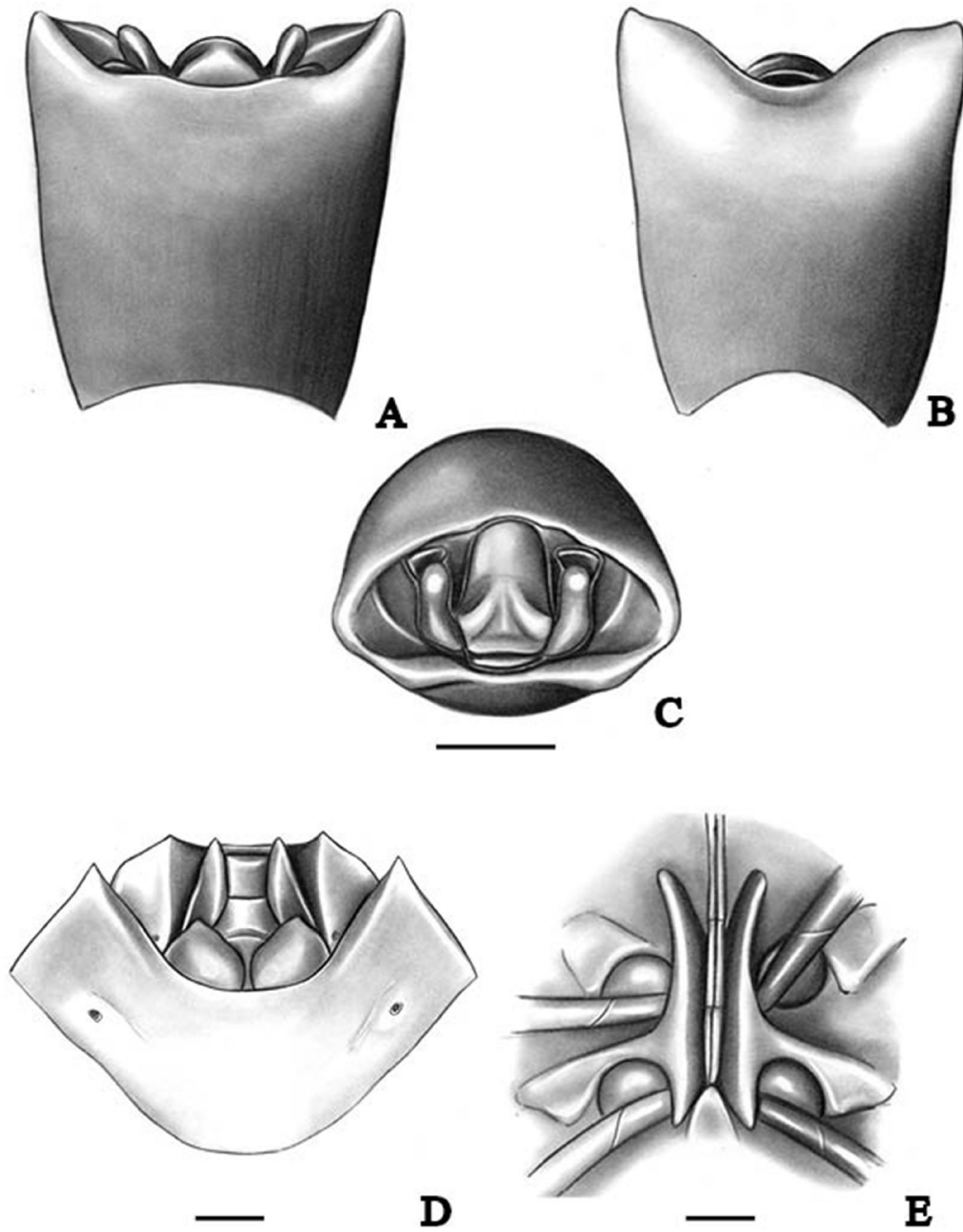


Figura 6: *A. aulacosternus*. **A:** Pigóforo em vista dorsal; **B:** Pigóforo em vista ventral; **C:** Pigóforo em vista posterior. **D:** Genitália feminina em vista ventral. **E:** Processo metasternal. Escala = 1mm.

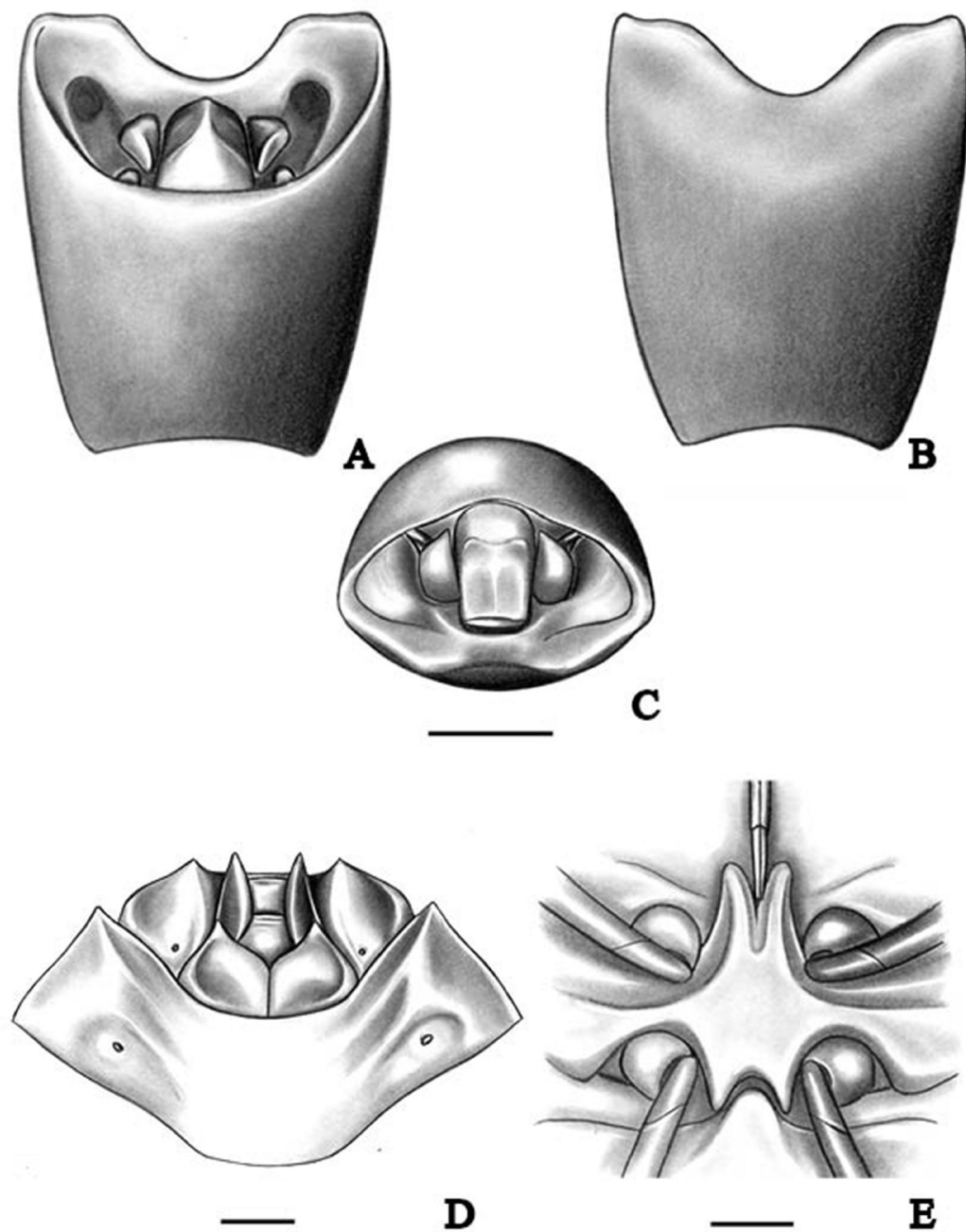


Figura 7: *A. ovalis*. **A:** Pigóforo em vista dorsal; **B:** Pigóforo em vista ventral; **C:** Pigóforo em vista posterior. **D:** Genitália feminina em vista ventral. **E:** Processo metasternal. Escala = 1mm.

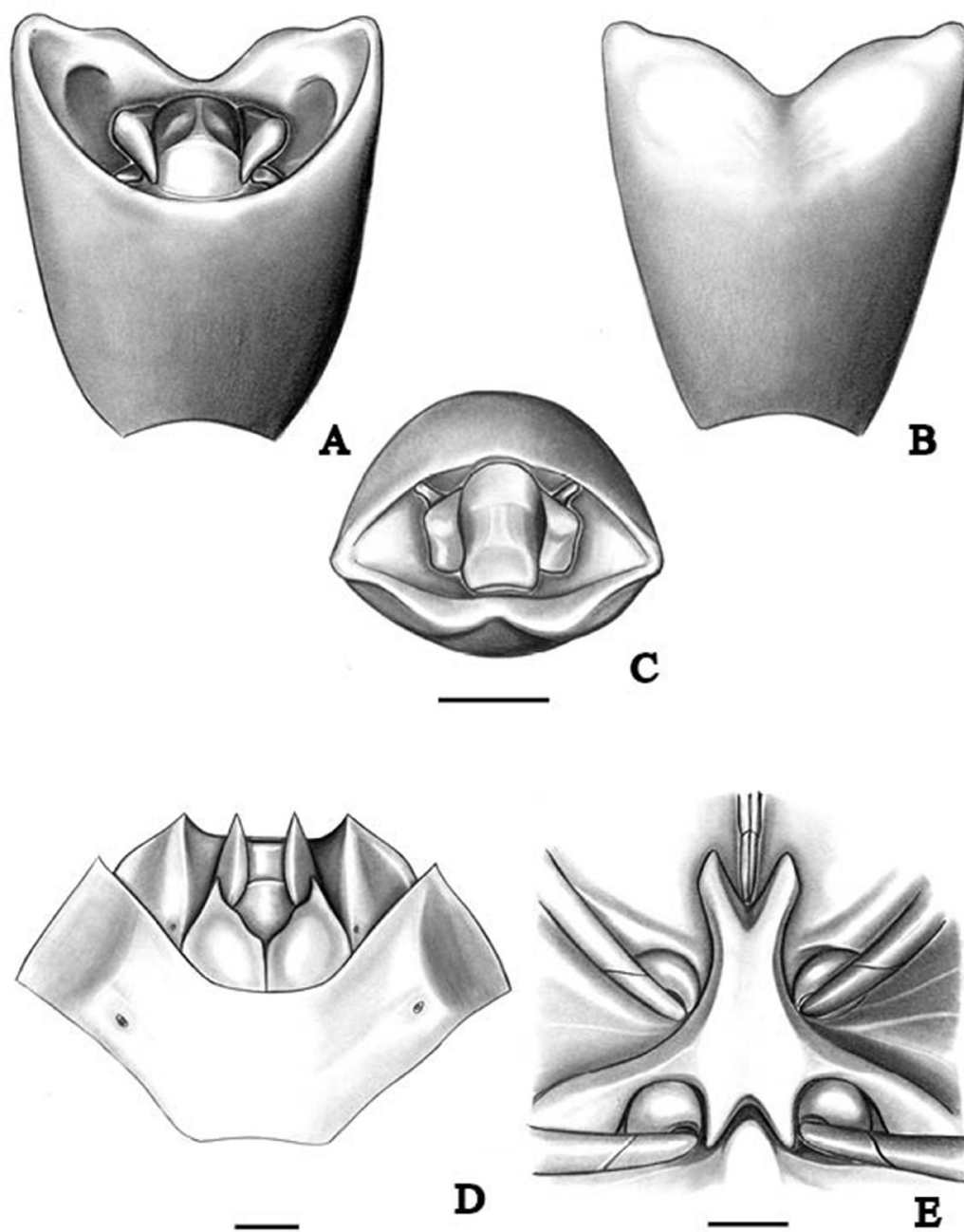


Figura 8: *A. cerradensis*. **A:** Pigóforo em vista dorsal; **B:** Pigóforo em vista ventral; **C:** Pigóforo em vista posterior. **D:** Genitália feminina em vista ventral. **E:** Processo metasternal. Escala = 1mm.

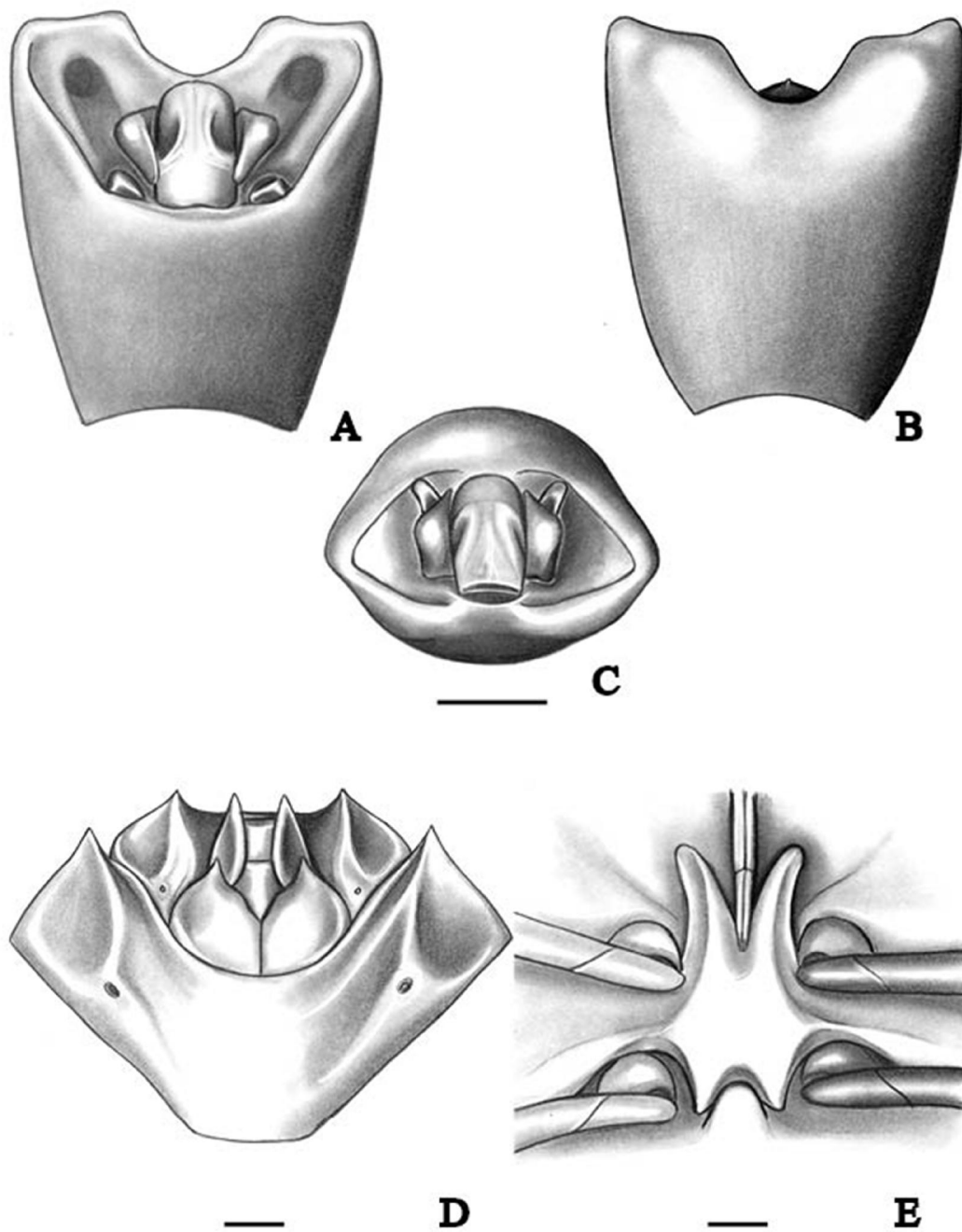


Figura 9: *A. chapadensis*. **A:** Pigóforo em vista dorsal; **B:** Pigóforo em vista ventral; **C:** Pigóforo em vista posterior. **D:** Genitália feminina em vista ventral. **E:** Processo metasternal. Escala = 1mm.

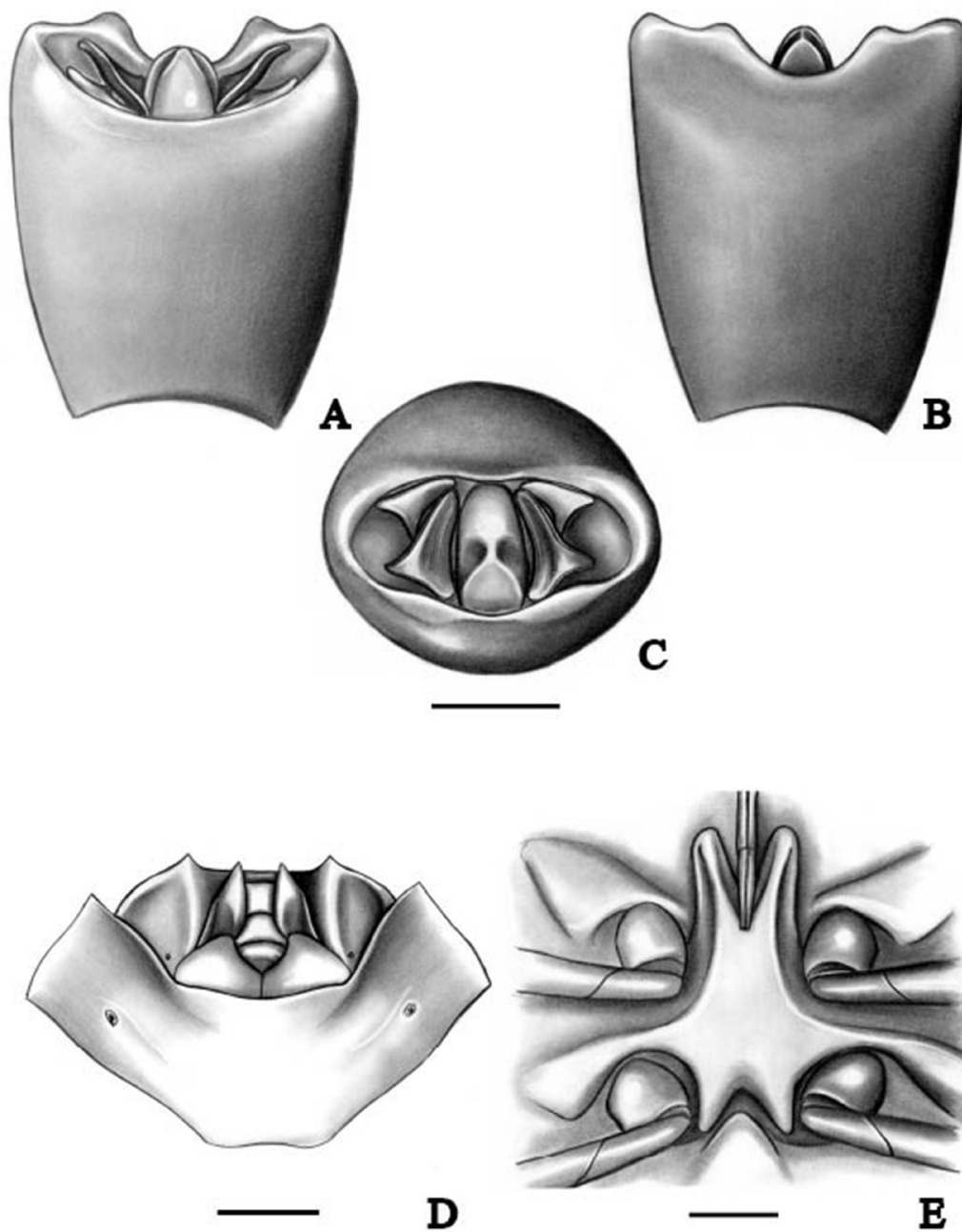


Figura 10: *A. meditabundus*. **A:** Pigóforo em vista dorsal; **B:** Pigóforo em vista ventral; **C:** Pigóforo em vista posterior. **D:** Genitália feminina em vista ventral. **E:** Processo metasternal. Escala = 1mm.

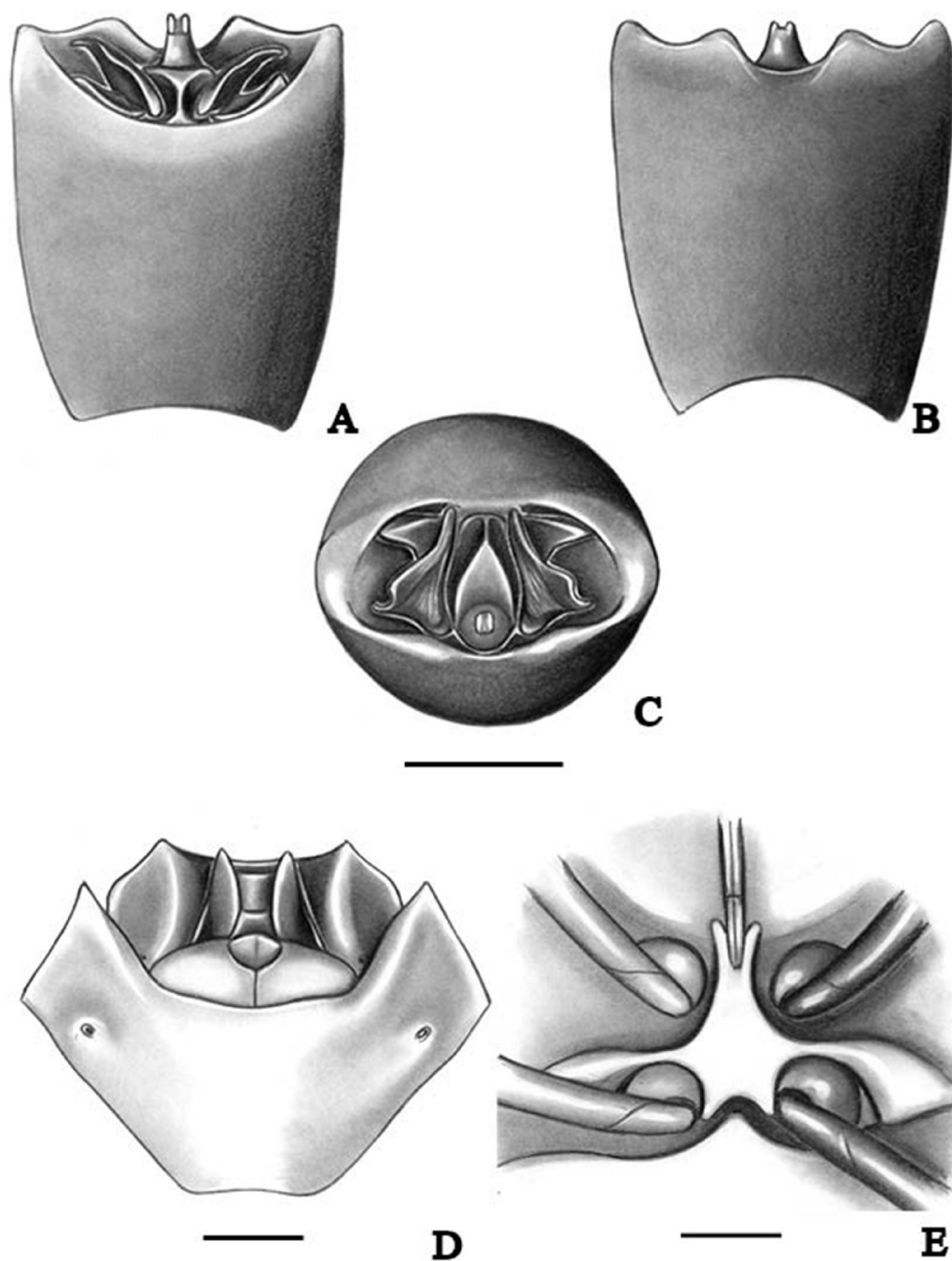


Figura 11: *A. sternalis*. **A:** Pigóforo em vista dorsal; **B:** Pigóforo em vista ventral; **C:** Pigóforo em vista posterior. **D:** Genitália feminina em vista ventral. **E:** Processo metasternal. Escala = 1mm.

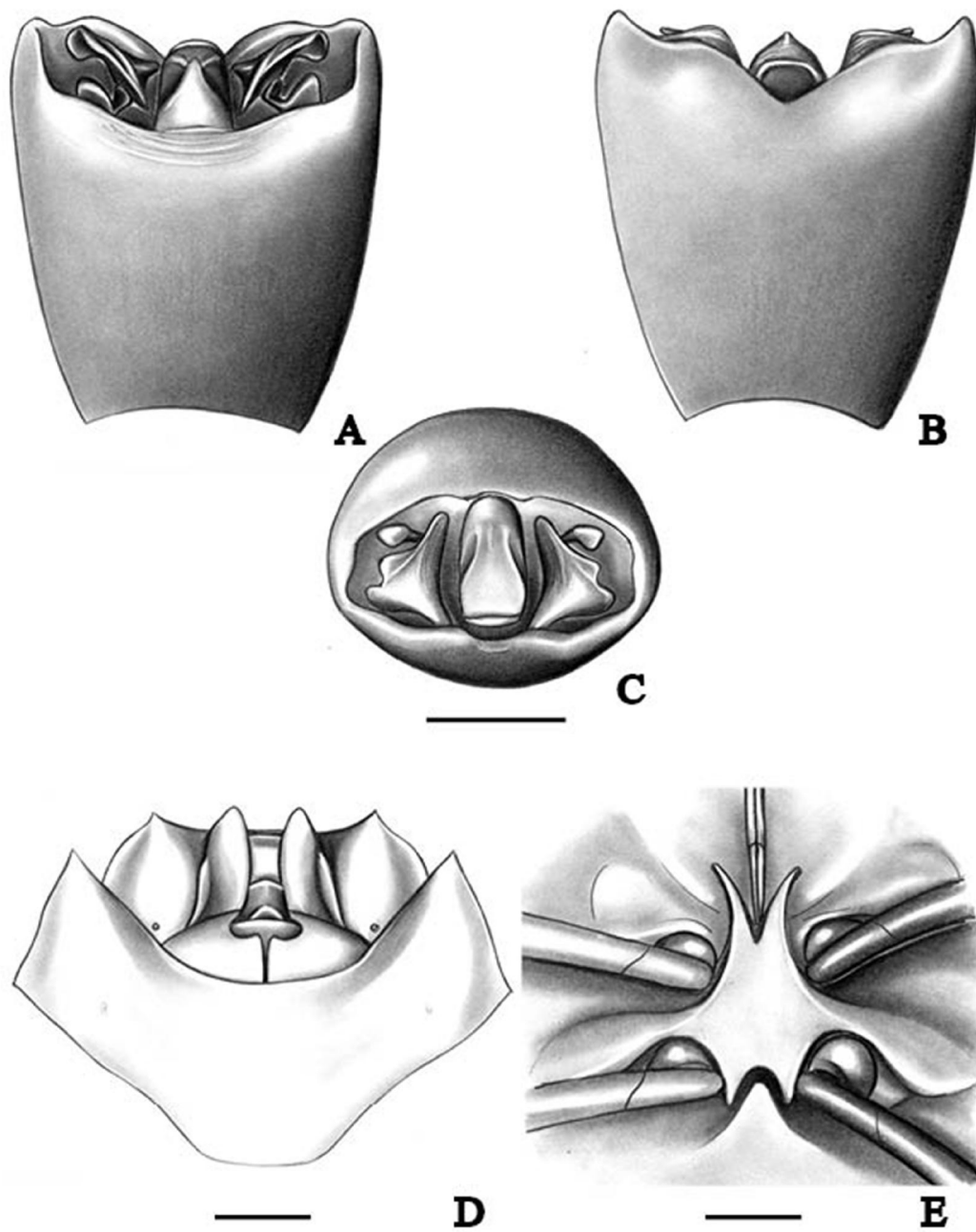


Figura 12: *A. mexicanus*. **A:** Pigóforo em vista dorsal; **B:** Pigóforo em vista ventral; **C:** Pigóforo em vista posterior. **D:** Genitália feminina em vista ventral. **E:** Processo metasternal. Escala = 1mm.

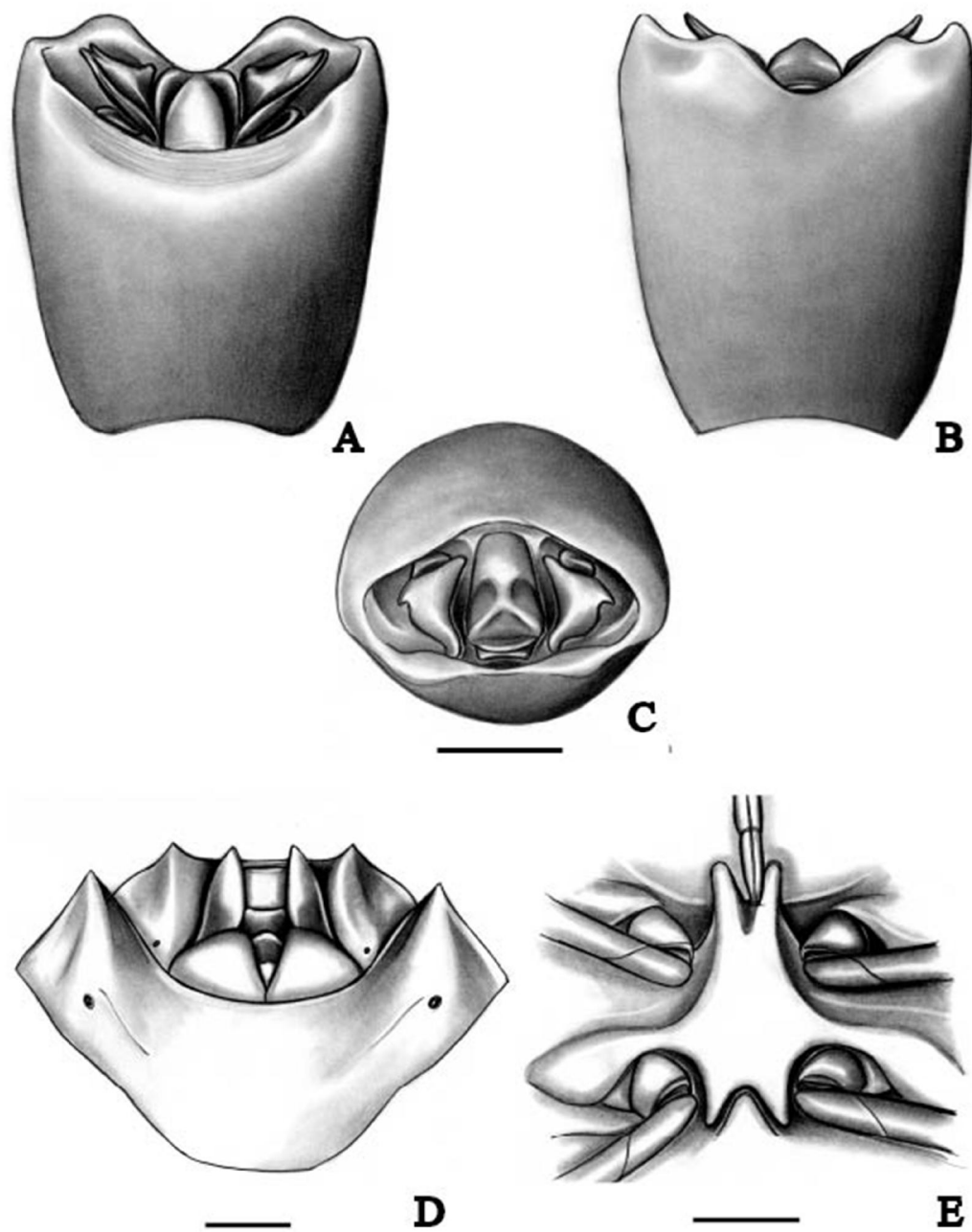


Figura 13: *Aceratodes* sp nova . **A:** Pigóforo em vista dorsal; **B:** Pigóforo em vista ventral; **C:** Pigóforo em vista posterior. **D:** Genitália feminina em vista ventral. **E:** Processo metasternal. Escala = 1mm.

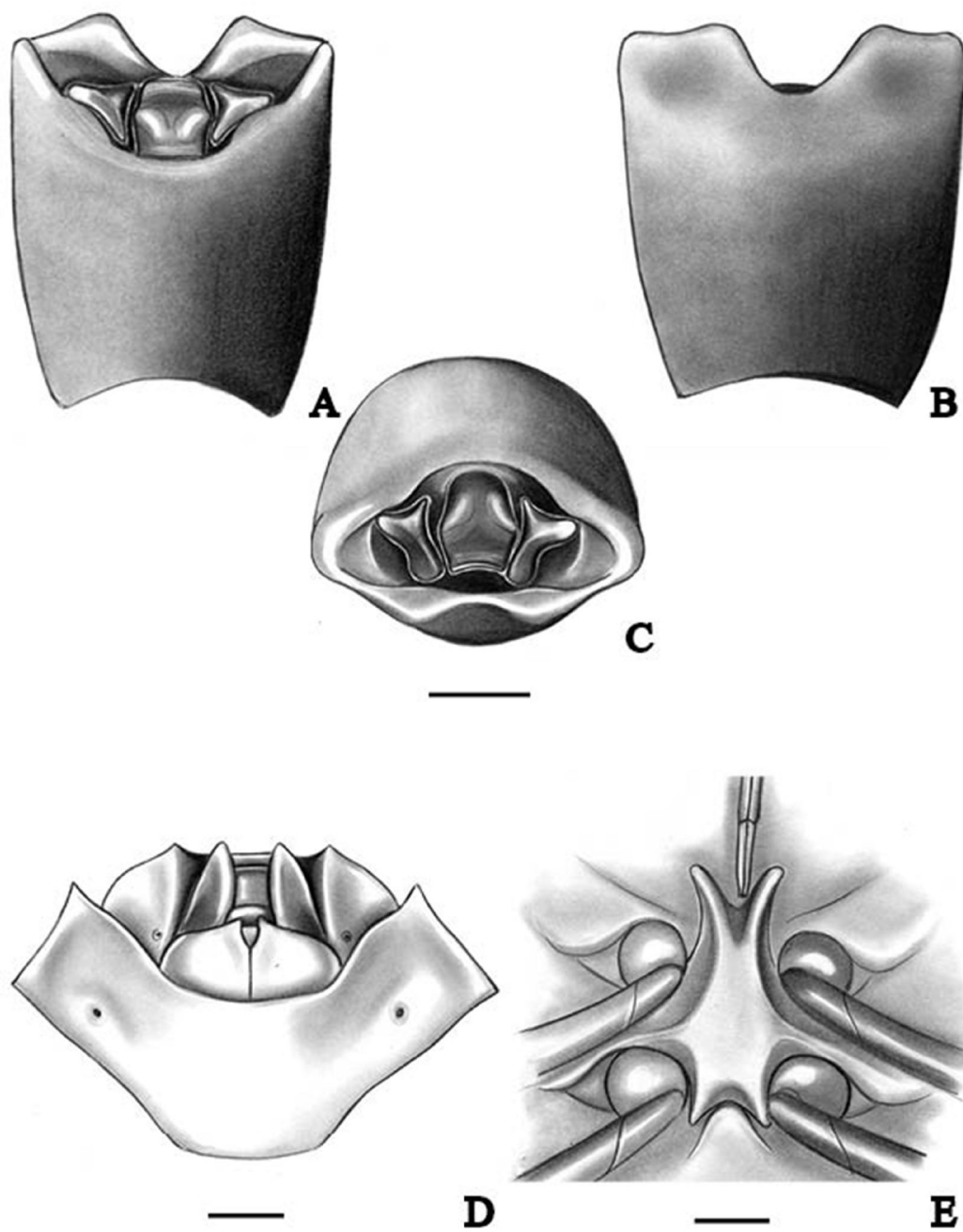


Figura 14: *A. piperitius*. **A:** Pigóforo em vista dorsal; **B:** Pigóforo em vista ventral; **C:** Pigóforo em vista posterior. **D:** Genitália feminina em vista ventral. **E:** Processo metasternal. Escala = 1mm.

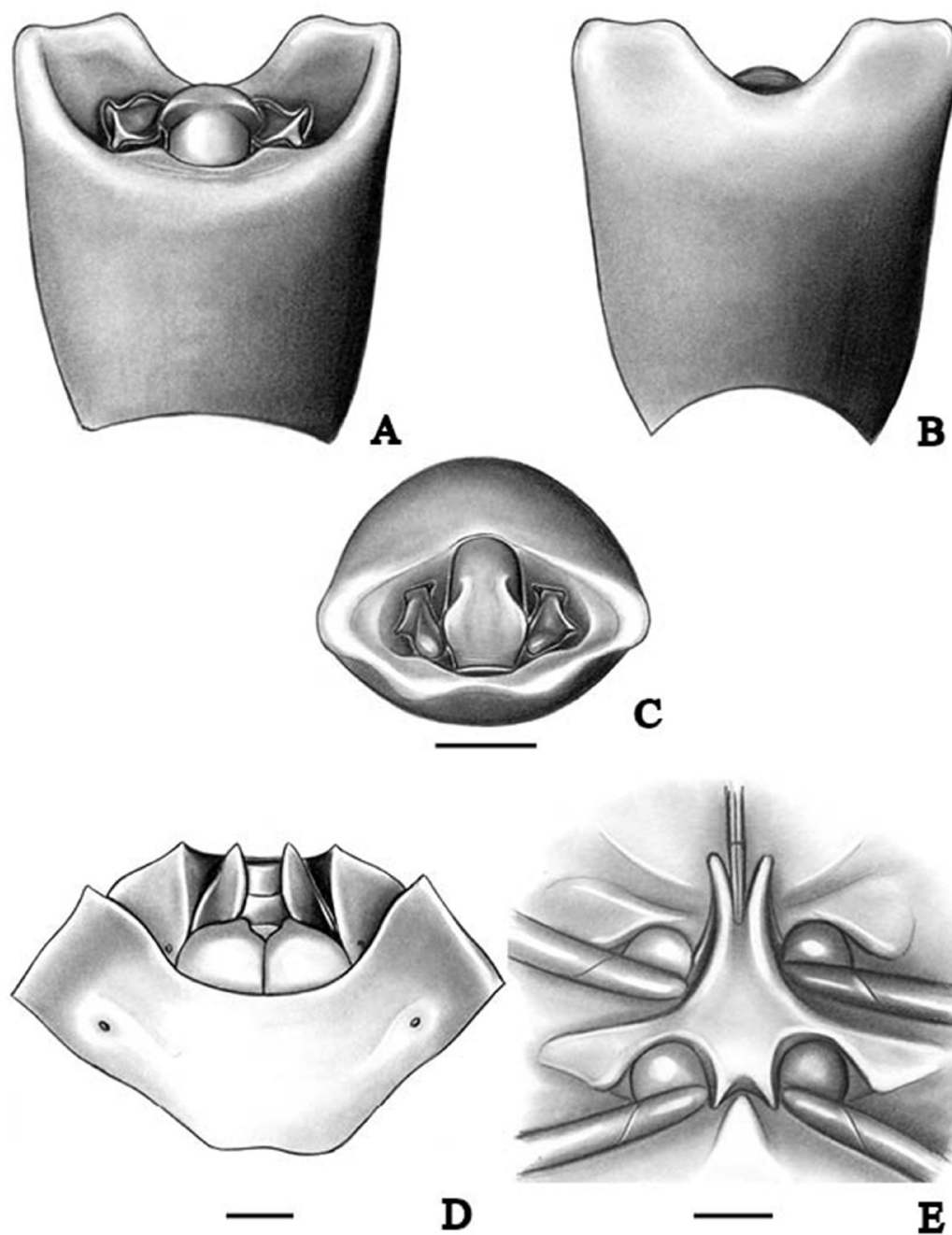


Figura 15: *A. fulvicornis*. **A:** Pigóforo em vista dorsal; **B:** Pigóforo em vista ventral; **C:** Pigóforo em vista posterior. **D:** Genitália feminina em vista ventral. **E:** Processo metasternal. Escala = 1mm.

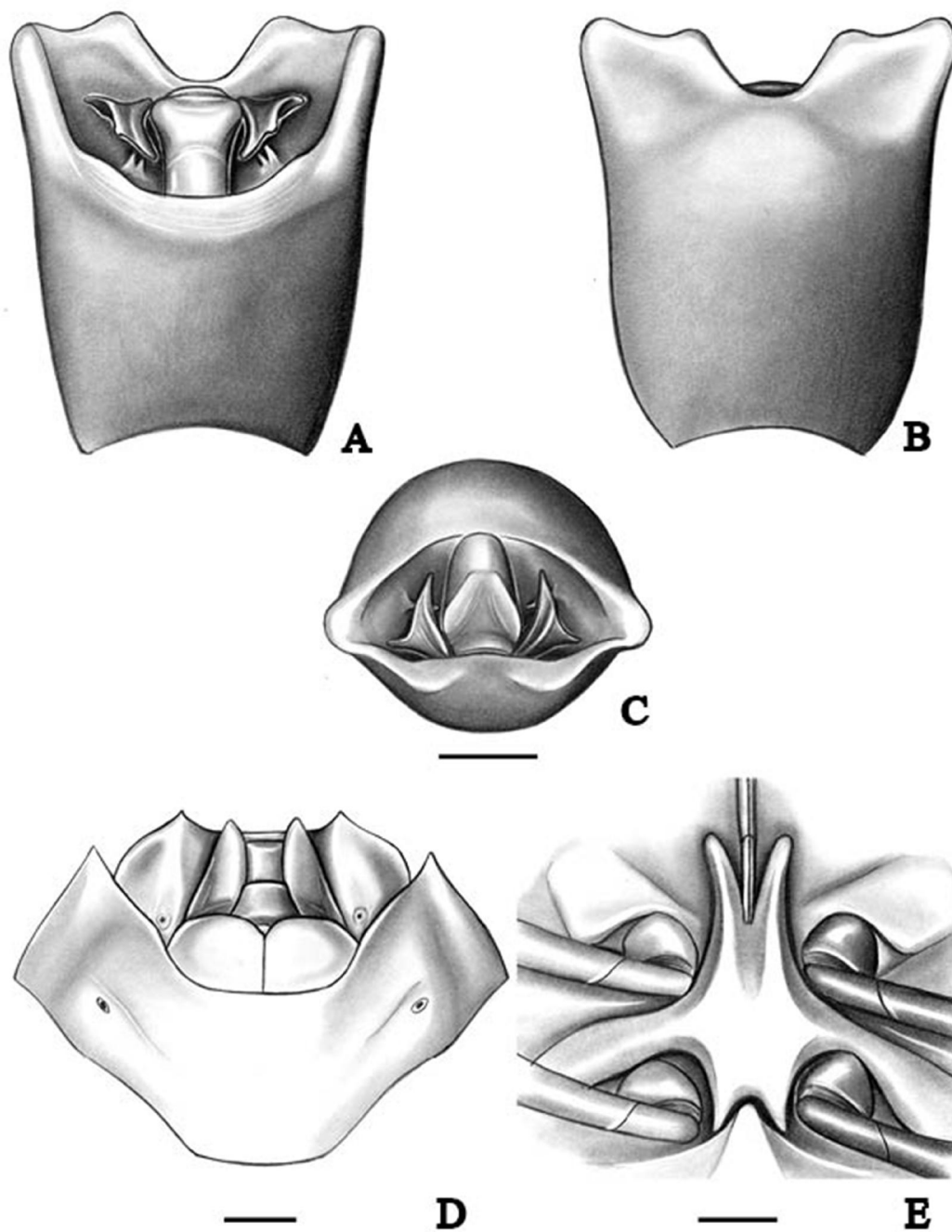


Figura 16: *A. rufomarginatus*. **A:** Pigóforo em vista dorsal; **B:** Pigóforo em vista ventral; **C:** Pigóforo em vista posterior. **D:** Genitália feminina em vista ventral. **E:** Processo metasternal. Escala = 1mm.

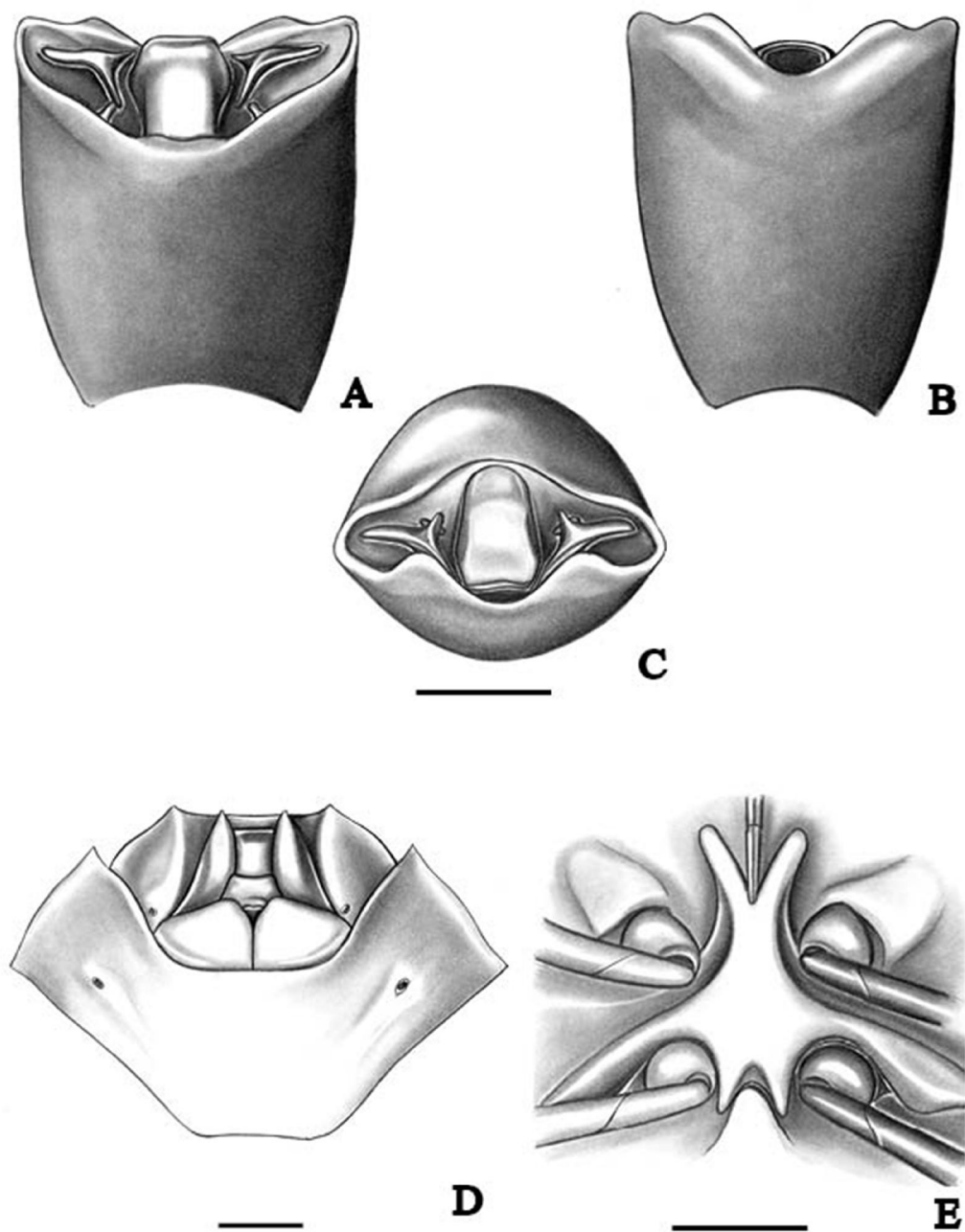


Figura 17: *A. brasiliensis*. **A:** Pigóforo em vista dorsal; **B:** Pigóforo em vista ventral; **C:** Pigóforo em vista posterior. **D:** Genitália feminina em vista ventral. **E:** Processo metasternal. Escala = 1mm.

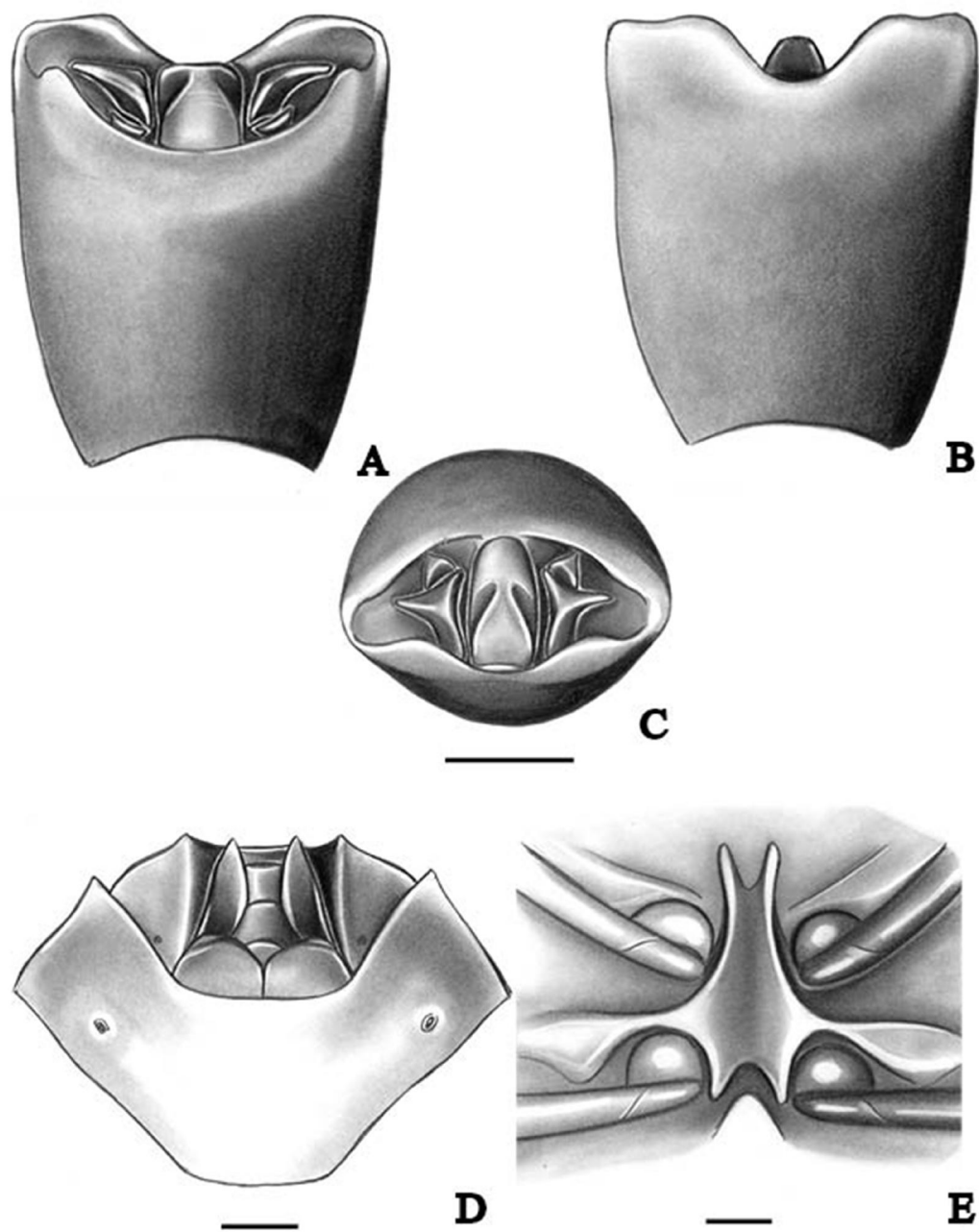


Figura 18: *A. carnosus*. **A:** Pigóforo em vista dorsal; **B:** Pigóforo em vista ventral; **C:** Pigóforo em vista posterior. **D:** Genitália feminina em vista ventral. **E:** Processo metasternal. Escala = 1mm.

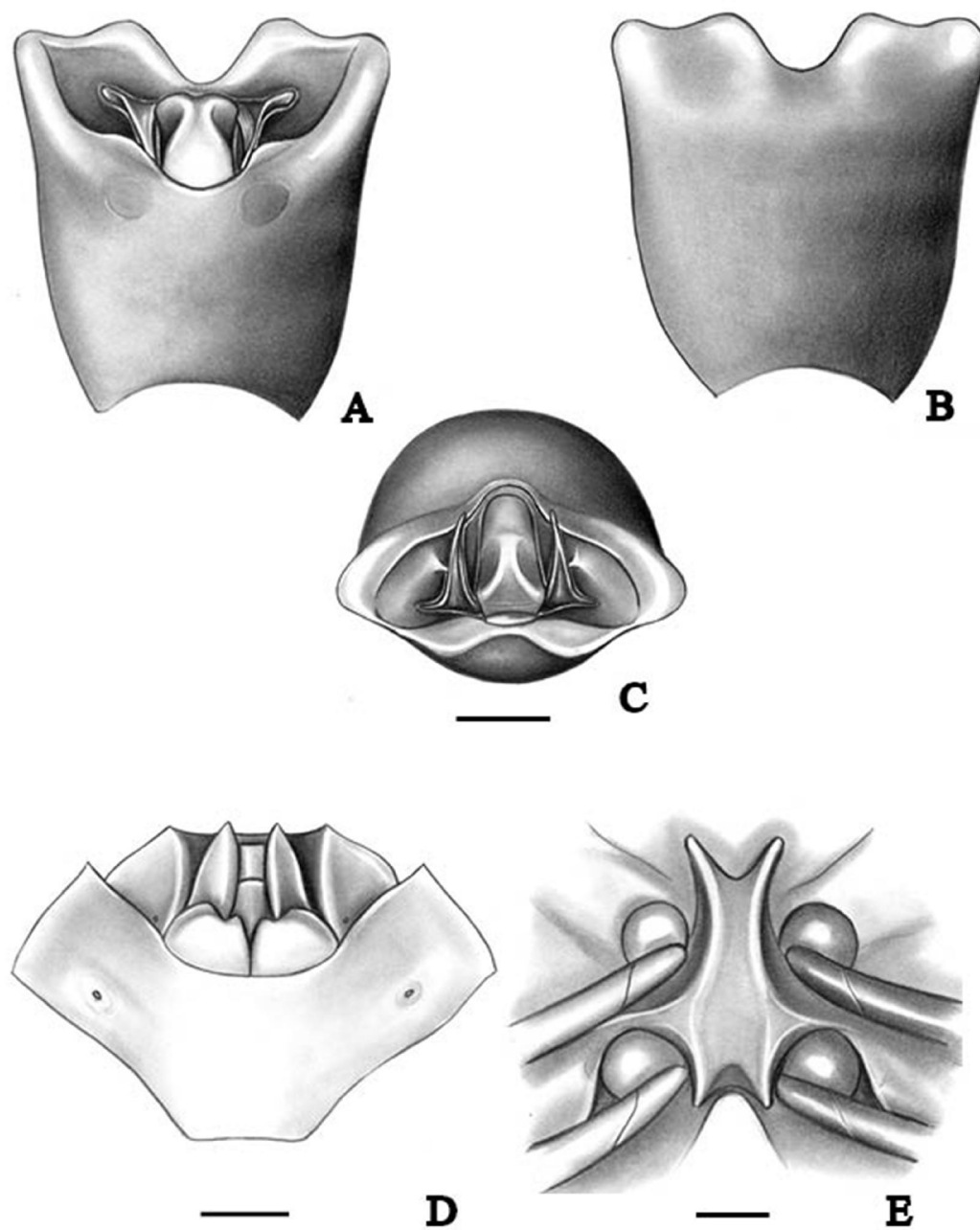


Figura 19: *A albomarginatus*. **A:** Pigóforo em vista dorsal; **B:** Pigóforo em vista ventral; **C:** Pigóforo em vista posterior. **D:** Genitália feminina em vista ventral. **E:** Processo metasternal. Escala = 1mm.

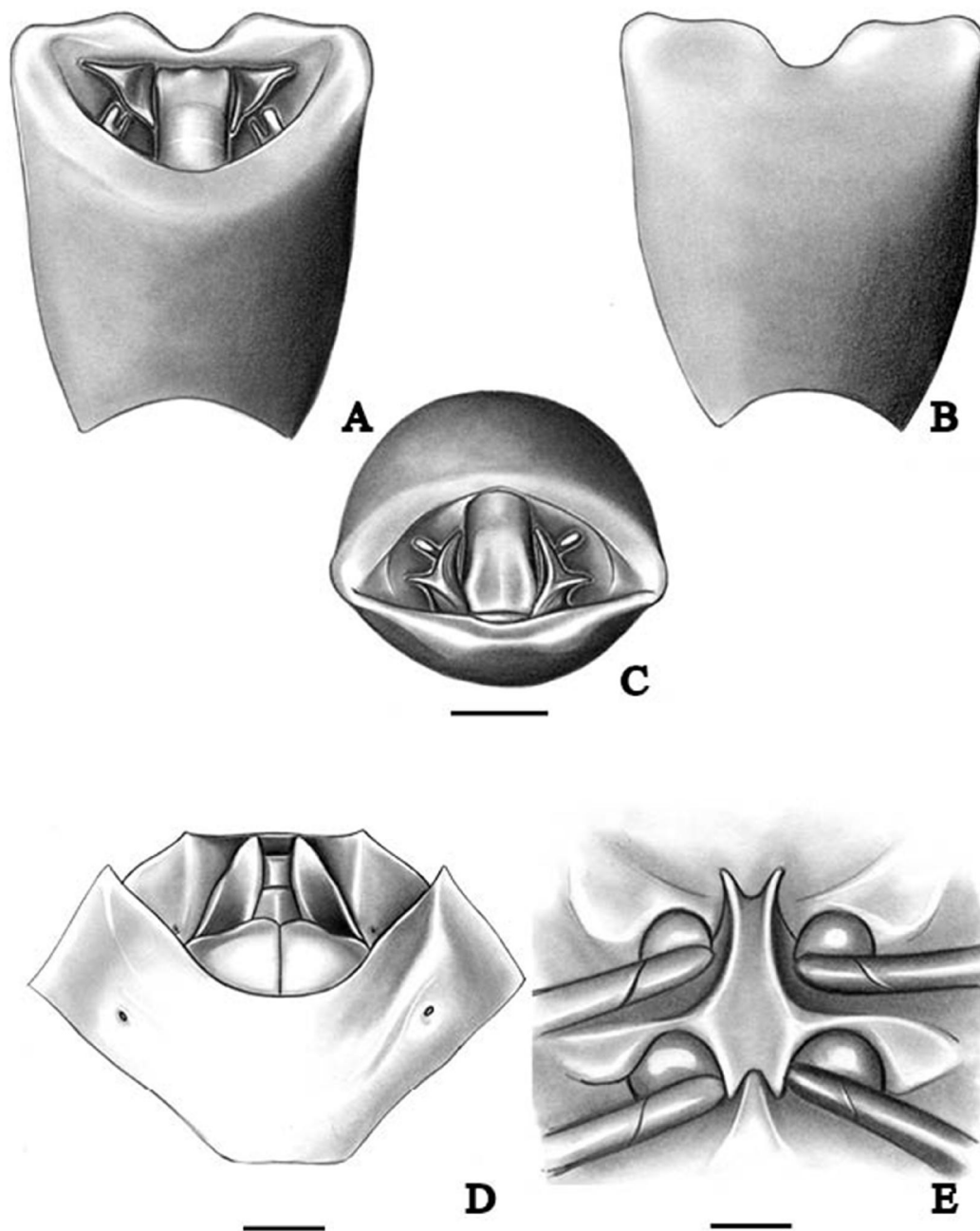


Figura 20: *A. castaneolineatus*. **A:** Pigóforo em vista dorsal; **B:** Pigóforo em vista ventral; **C:** Pigóforo em vista posterior. **D:** Genitália feminina em vista ventral. **E:** Processo metasternal. Escala = 1mm.

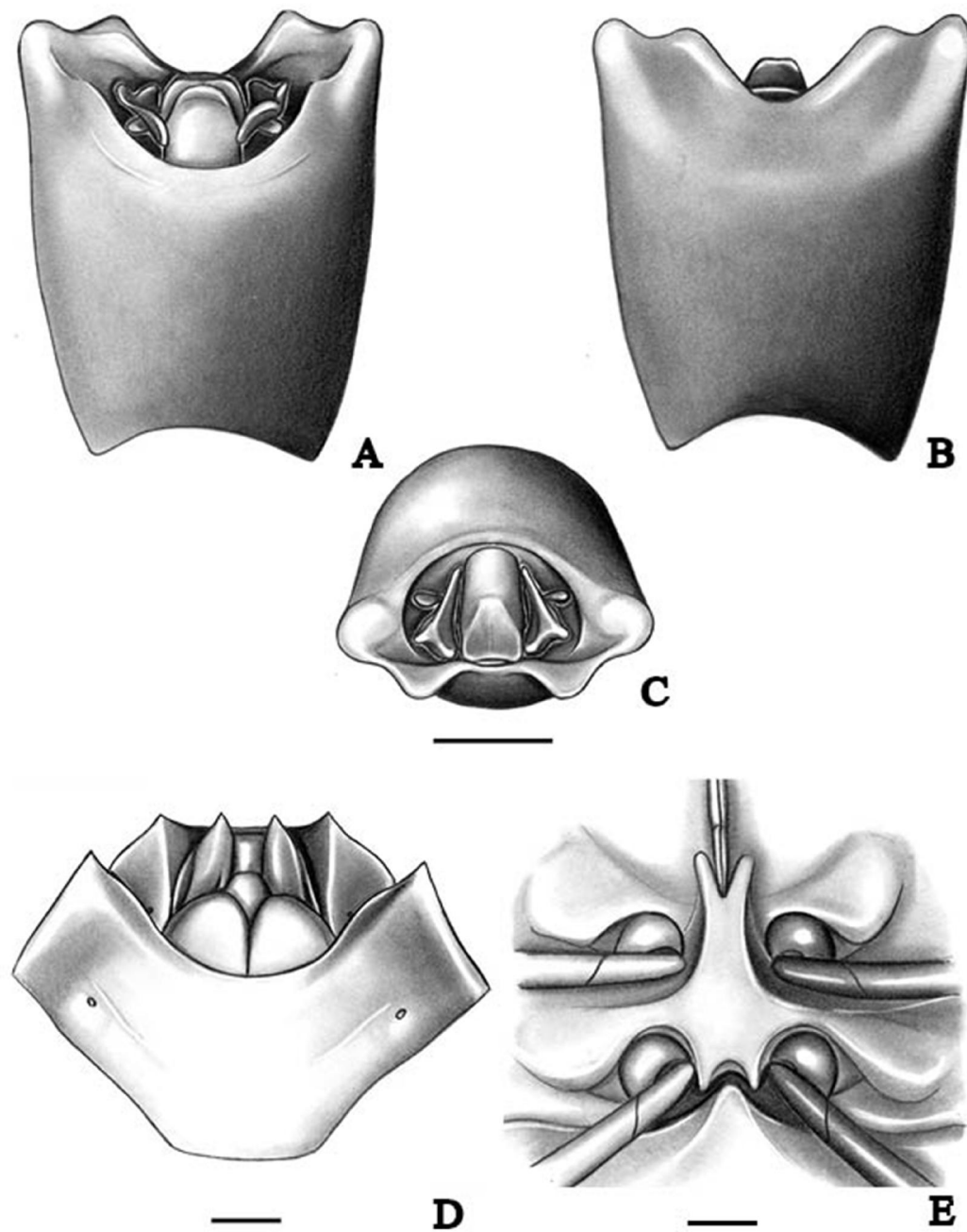


Figura 21: *A. marginalis*. **A:** Pigóforo em vista dorsal; **B:** Pigóforo em vista ventral; **C:** Pigóforo em vista posterior. **D:** Genitália feminina em vista ventral. **E:** Processo metasternal. Escala = 1mm.

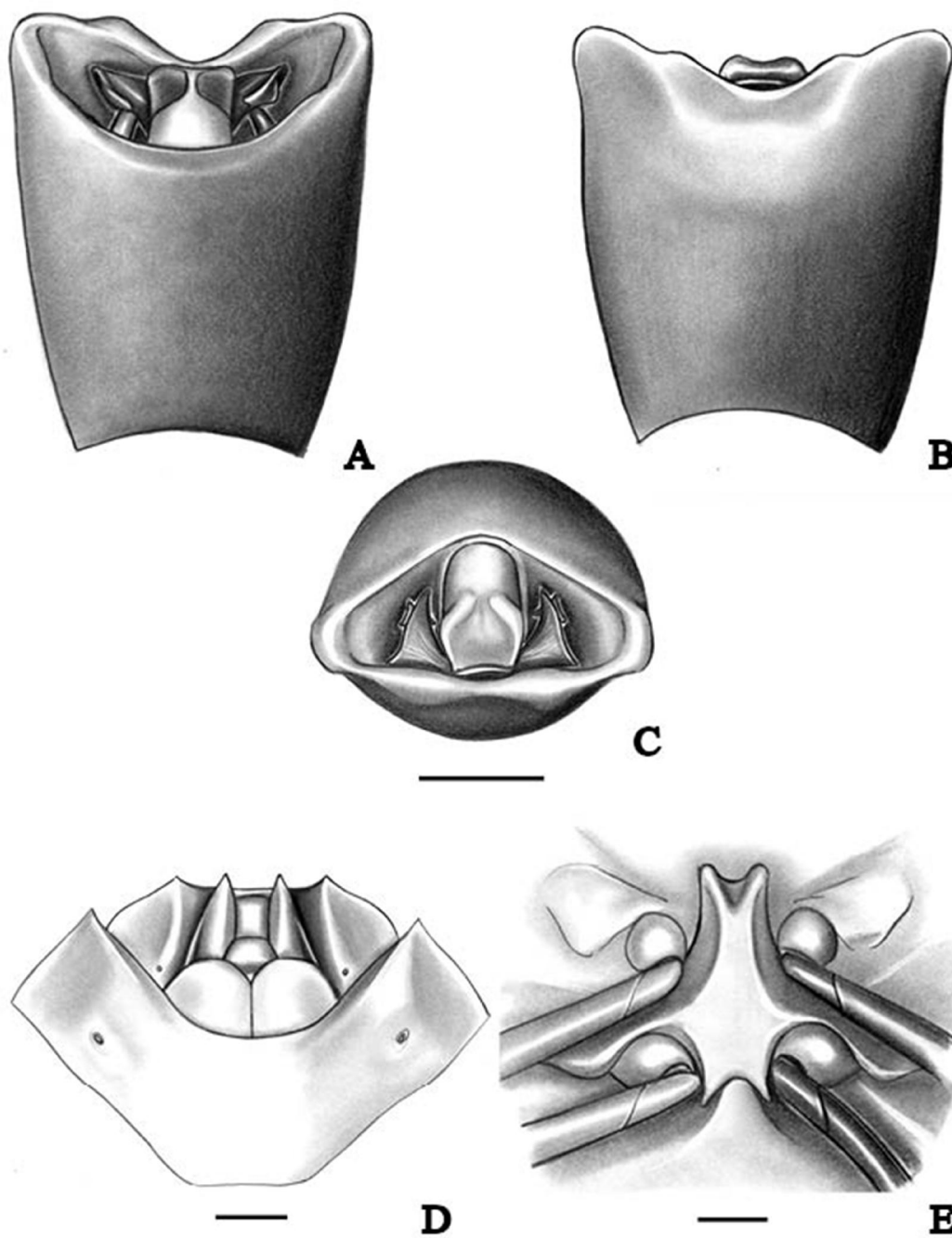


Figura 22: *A. rufodorsatus*. **A:** Pigóforo em vista dorsal; **B:** Pigóforo em vista ventral; **C:** Pigóforo em vista posterior. **D:** Genitália feminina em vista ventral. **E:** Processo metasternal. Escala = 1mm.

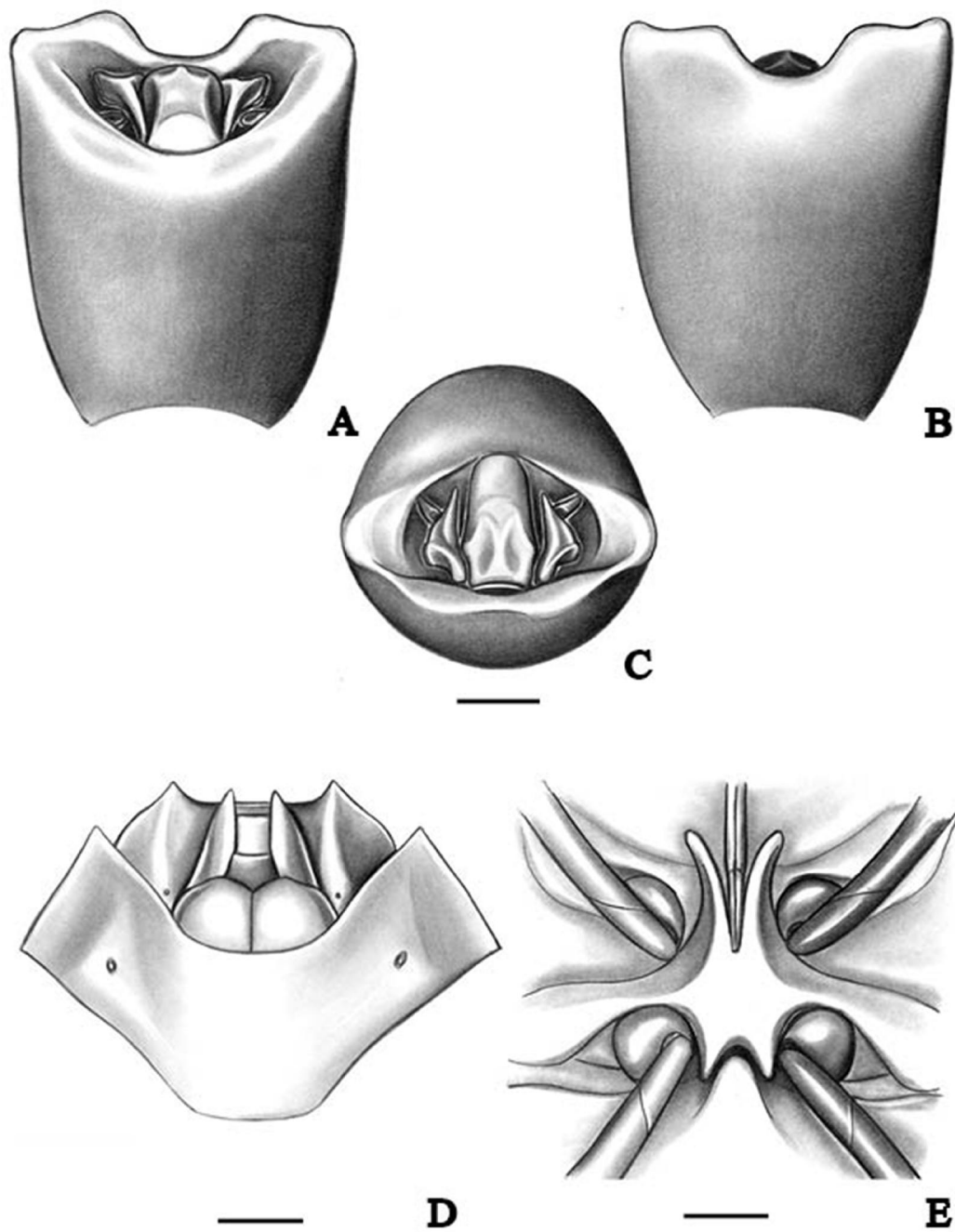


Figura 23: *A abdominalis*. **A:** Pigóforo em vista dorsal; **B:** Pigóforo em vista ventral; **C:** Pigóforo em vista posterior. **D:** Genitália feminina em vista ventral. **E:** Processo metasternal. Escala = 1mm.

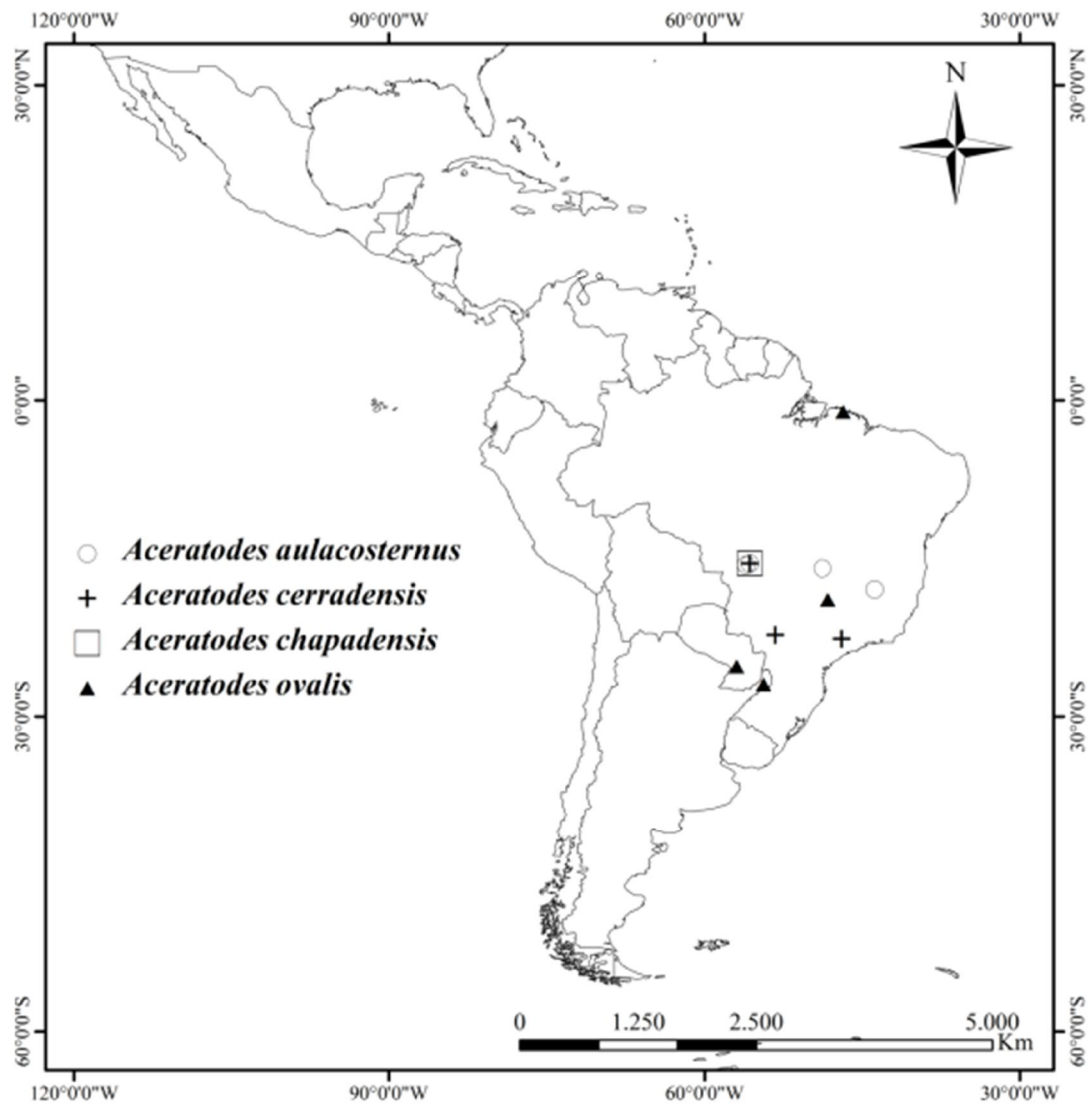


Figura 24: Distribuição geográfica das espécies *A. aulacosternus*, *A. cerradensis*, *A. chapadensis* e *A. ovalis*.

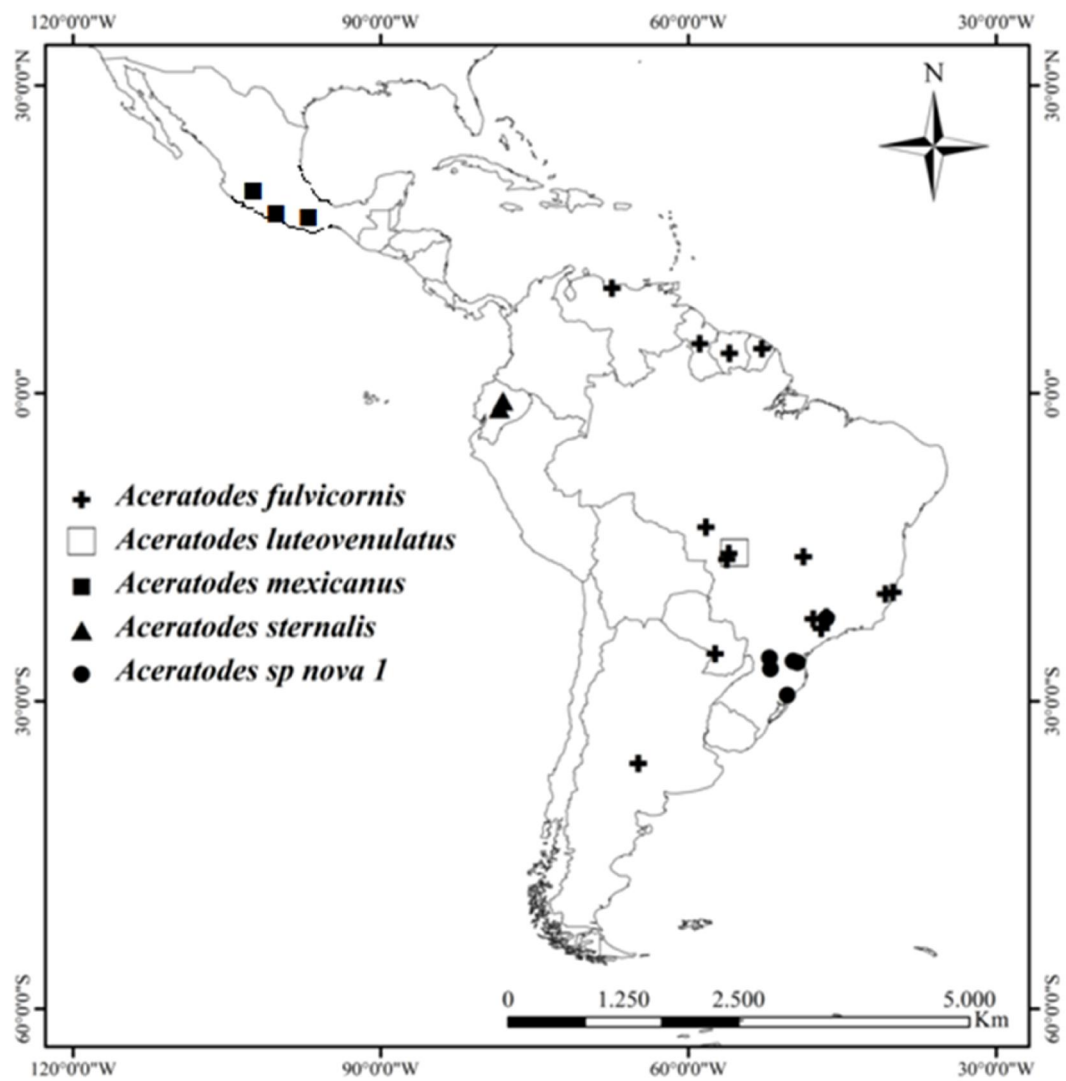


Figura 25: Distribuição geográfica das espécies *A. fulvicornis*, *A. luteovenulatus*, *A. mexicanus*, *A. sternalis* e *Aceratodes sp nova 1*.

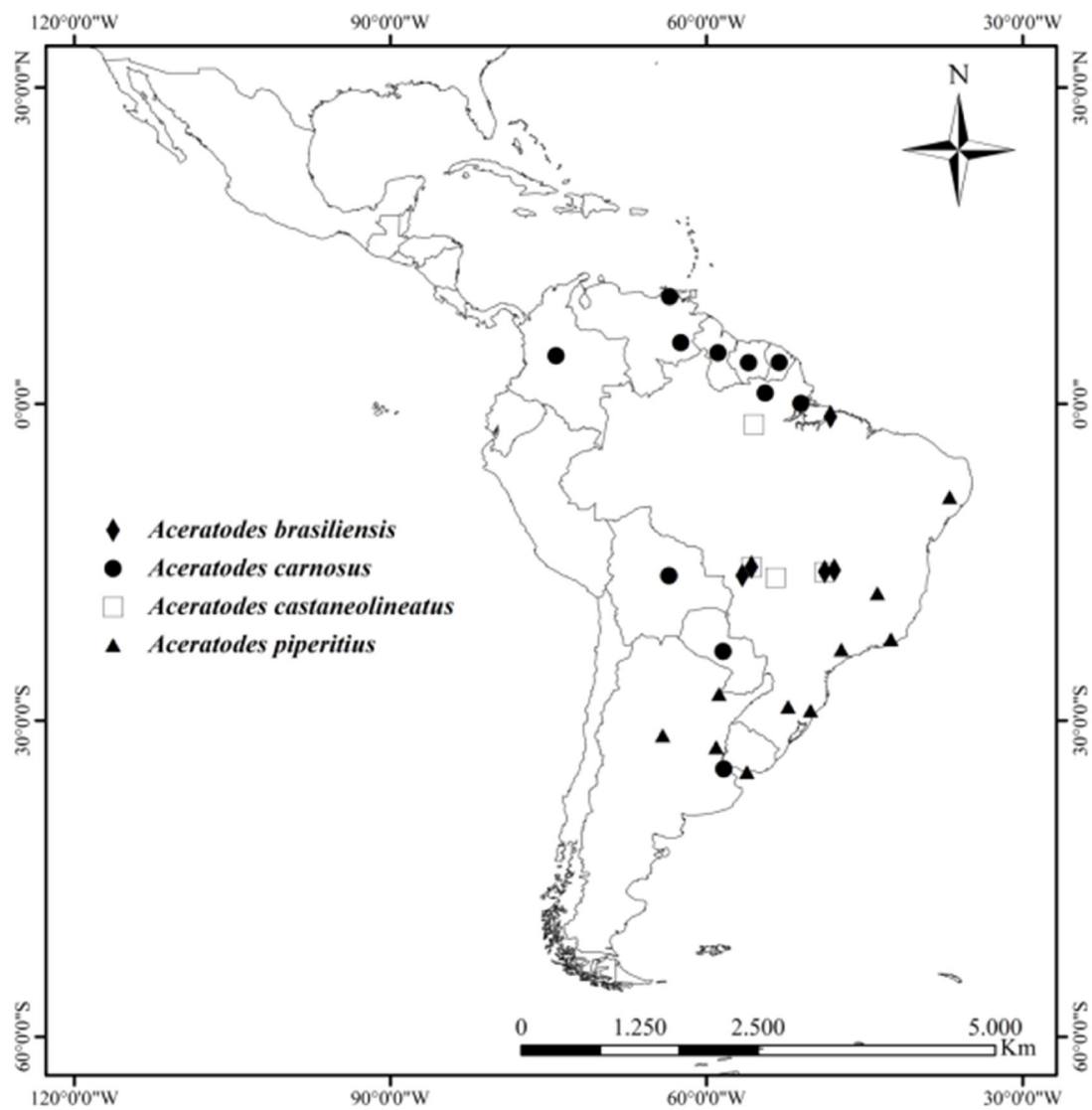


Figura 26: Distribuição geográfica das espécies *A. brasiliensis*, *A. carnosus*, *A. castaneolineatus*, e *A. piperitius*.

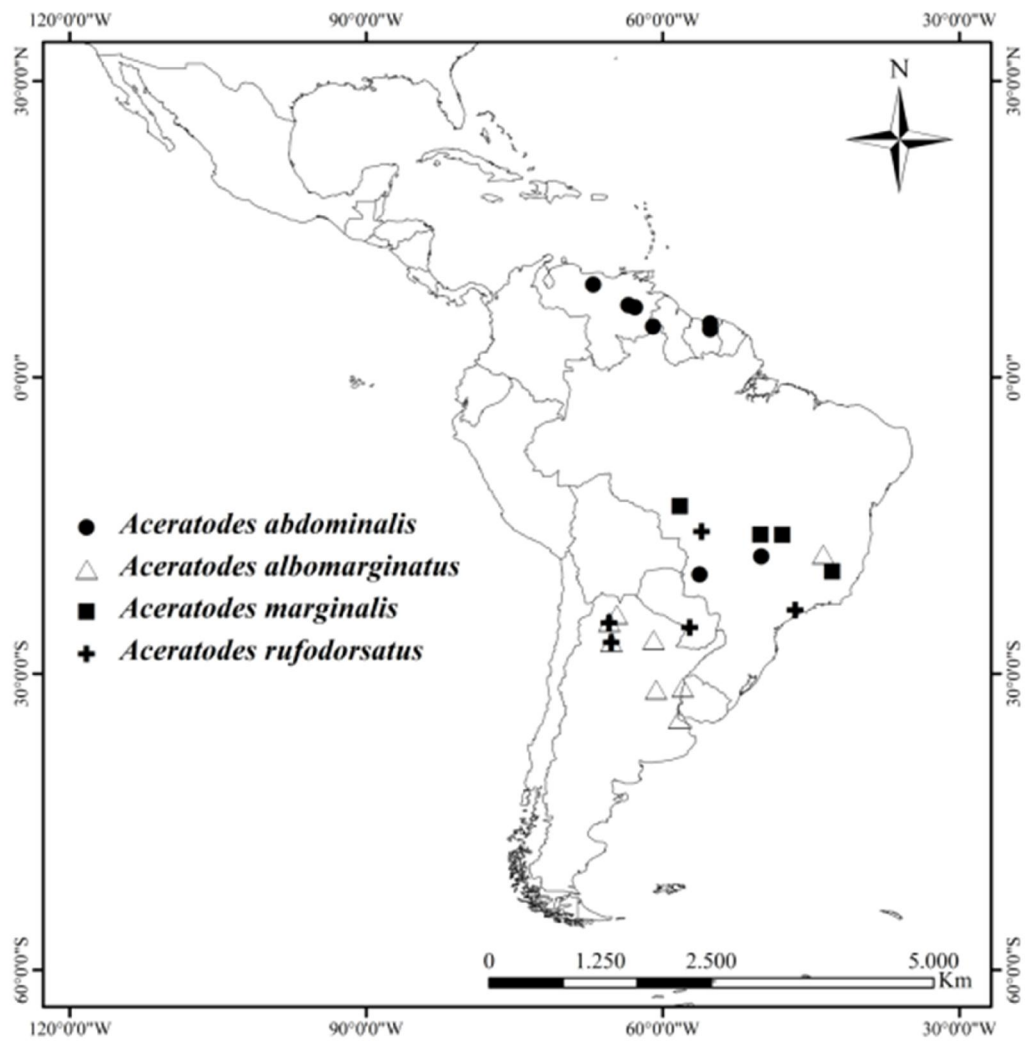


Figura 27: Distribuição geográfica das espécies *A. abdominalis*, *A. albomarginatus*, *A. marginalis* e *A. rufodorsatus*.